



**KAPITAŁ LUDZKI**  
NARODOWA STRATEGIA SPÓJNOŚCI

**UNIA EUROPEJSKA**  
EUROPEJSKI  
FUNDUSZ SPOŁECZNY



# Nowoczesne technologie stosowane w budownictwie

Materiały dydaktyczne dla uczestników warsztatów realizowanych w ramach projektu  
"Nauczyciel na praktykach. Program doskonalenia zawodowego w przedsiębiorstwach  
dla nauczycieli kształcenia zawodowego"

**dr inż. Janusz Vitalis Kozubal**

Copyright © by Dolnośląska Szkoła Wyższa, Wrocław 2011

**Projekt oraz niniejsze materiały zostały współfinansowane ze środków Unii Europejskiej w ramach Europejskiego Funduszu Społecznego**

**Publikacja dystrybuowana bezpłatnie.**

Cytowanie fragmentów wyłącznie z podaniem źródła oraz autorów

Dolnośląska Szkoła Wyższa

Biuro projektu

„Nauczyciel na praktykach. Program doskonalenia zawodowego w przedsiębiorstwach dla nauczycieli kształcenia zawodowego”

ul. Wagonowa 9, 53-609 Wrocław

tel. 71 358-27-24

fax. 71 358-27-68

e-mail: [nnp@dswe.pl](mailto:nnp@dswe.pl)

[www.nauczycielnapraktykach.pl](http://www.nauczycielnapraktykach.pl)

# Spis treści

<b>1</b>	<b>Plan zajęć</b>	<b>3</b>
1.1	Wykład . . . . .	3
1.2	Ćwiczenia . . . . .	3
<b>2</b>	<b>Nośność fundamentu bezpośredniego w EC7</b>	<b>4</b>
2.1	Wprowadzenie do zadania nośności fundamentu bezpośredniego .	4
2.2	Stany graniczne . . . . .	5
2.3	Zagadnienia projektowe i wykonawcze . . . . .	5
2.3.1	Głębokość posadowienia . . . . .	5
2.4	Sprawdzenie stanu granicznego nośności na skutek wypierania gruntu . . . . .	8
2.4.1	Warunki bez odpływu wody . . . . .	9
2.4.2	Warunki z możliwym odpływem . . . . .	10
2.4.3	Współczynniki nośności . . . . .	11
2.4.4	Współczynniki związane z nachyleniem obciążenia . . . . .	13
2.4.5	Współczynniki związane z kształtem fundamentu . . . . .	16
2.4.6	Woda gruntowa . . . . .	17
2.4.7	Podłoże uwarstwione . . . . .	19
2.4.8	Powierzchnia efektywna (netto) . . . . .	25
2.4.9	Wpływ nachylenia podstawy fundamentu . . . . .	27
2.4.10	Wpływ głębokości posadowienia . . . . .	29
2.5	Nośność na przesunięcie . . . . .	30
2.6	Współczynniki częściowe i korelacyjne do stanów granicznych no- śności . . . . .	30

---

<b>3 Ława szeregową</b>	<b>33</b>
3.1 Definicja zadania . . . . .	33
3.1.1 Wstępne przyjęcie wymiarów ławy, związane z ograniczeniami geometrycznymi, wymaganiami sztywności . . . . .	34
3.1.2 Wyznaczenie optymalnej długości wsporników na końcach ławy . . . . .	35
3.1.3 Obliczenie niezbędnej szerokości podstawy . . . . .	35
3.1.4 Wybór sposobu pracy podłoża . . . . .	35
3.1.5 Model Winklera . . . . .	39
3.1.6 Metoda Bleicha dla modelu Winklera . . . . .	41
3.1.7 Półprzestrzeń sprężysta . . . . .	48
<b>4 Przykład obliczeniowy 1</b>	<b>74</b>
<b>5 Przykład obliczeniowy 2</b>	<b>100</b>
<b>6 Przykład obliczeniowy 3</b>	<b>114</b>
<b>Spis rysunków</b>	<b>127</b>
<b>Bibliografia</b>	<b>129</b>

# Rozdział 1

## Plan zajęć

### 1.1 Wykład

Wykłady podzielono na odrębne tematy, każdy z nich realizowany będzie w czasie około 4 spotkań po 45 minut:

1. Posadowienie bezpośrednie - EC7.
2. Ława szeregowa na podłożu podatnym - rozwiązania numeryczne.

### 1.2 Ćwiczenia

Ćwiczenia będą uzupełnieniem treści wykładów, słuchacze podejmą się rozwiązania przedstawionych problemów w formie projektów. Ćwiczenia zostaną uzupełnione w treści związane z zapobieganiem awarii o podłożu geotechnicznym.

1. Posadowienie bezpośrednie - EC7.
2. Ława szeregowa na podłożu podatnym - rozwiązania numeryczne.
3. Problemy wzmocnienia podłoża - warsztaty problemowe.

## Rozdział 2

# Nośność fundamentu bezpośredniego w EC7

### 2.1 Wprowadzenie do zadania nośności fundamentu bezpośredniego

Zagadnienia nośności fundamentu bezpośredniego zostało dobrze opracowane w literaturze. Jednak prawidłowe zaprojektowanie posadowienia wymaga podjęcia szeregu decyzji, związanych z modelem pracy podłoża, wymiarami fundamentu, a także z technologią jego wykonania. Zmiany w porównaniu do ustaleń normalizacyjnych opisywanych w normie [1] są na tyle istotne, że konieczne staje się ponowny opis przedmiotu. Nowe Europejskie unormowania pomagają przejść przez proces decyzyjny podając specyfikację możliwych do wystąpienia trudności i zagrożeń. Rozwiązania przedstawione bazują na zadaniach podstawowych nośności granicznej. W pracy pojawiają się często odniesienia do normy [1], które mają wybrać z niej zalecanie praktyczne właściwe dla naszego regionu oraz praktyki inżynierskiej.

## 2.2 Stany graniczne

Projektowany fundmanet bezpośredni powinien dla wszystkich stanów granicznych, wymienionych poniżej, spełniać nierówność:

$$V_d \leq R_d \quad (2.1)$$

gdzie  $V_d$  zawiera ciężar fundamentu, materiału zasypowego oraz parcia gruntu, sposób wyznaczenia granicznego oporu podłoża  $R_d$  podano w dalszej części pracy.

## 2.3 Zagadnienia projektowe i wykonawcze

### 2.3.1 Głębokość posadowienia

Przy ustalaniu głębokości posadowienia fundamentu bezpośredniego należy wziąć pod uwagę:

- osiągnięcie odpowiednio nośnej warstwy podłoża,
- głębokość powyżej której skurcz i pęcznienie gruntów spoistych, wynikające z sezonowych zmian pogody oraz wpływu systemu korzeniowego drzew i krzewów mogą spowodować znaczące przemieszczenia,
- głębokość powyżej której mogą wystąpić szkody spowodowane przemarzaniem gruntu [14],
- poziom zwierciadła wody gruntowej w podłożu oraz trudności, jakie mogą się pojawić, jeśli wykop pod fundament należy wykonać poniżej zwierciadła wody gruntowej,
- możliwość przemieszczeń podłoża oraz zmniejszenia wytrzymałości warstwy nośnej na skutek filtracji wody, czynników klimatycznych lub procesów budowlanych,
- wpływ wykopów na sąsiednie fundamenty i konstrukcje,
- przewidywane wykopy na sieci podziemne w pobliżu fundamentów,
- wysokie lub niskie temperatury wywoływane przez projektowany obiekt,
- możliwość podmycia,

- wpływ zmian wilgotnościowych powodowanych długimi okresami suszy, a następnie opadów, na właściwości gruntów niestabilnych objętościowo w suchych strefach klimatycznych,
- obecność w gruncie materiałów rozpuszczalnych (wapieni, ilowców, gipsów soli i innych).

Zaleca się nie przyjmowanie mniejszych głębokości posadowienia niż 0,5m w gruntach niewrażliwych na przemarzanie [1]. Uszkodzenia spowodowane mrozem nie wystąpią jeżeli:

- grunt nie jest wrażliwy na przemarzanie,
- spód fundamentu znajduje się poniżej głębokości przemarzania,
- stosuje się izolacje zapobiegające przemarzaniu.

Głębokości przemarzania dla terenu Polski przedstawiono za [1] na rys. 2.3. Jeżeli projektant planuje zmniejszyć głębokość posadowienia i zastosuje elementy izolacji przeciw przemarzaniu, można dla gruntów przyjmować współczynniki przewodzenia ciepła  $\lambda[\frac{W}{mK}]$  o wartościach za [20] i [14]:

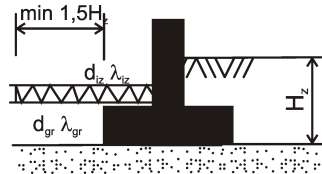
opis	$\lambda_{min}$	$\lambda_{max}$
żwir wilgotny	0.4	0.5
żwir nawodniony	1.8	2.0
glina morenowa	1.0	2.5
piasek suchy	0.3	0.8
piasek nawodniony	1.7	5.0
ił, pył	0.9	2.3
torf	0.2	0.7

Temperaturę gruntu na dużych głębokościach można przyjmować równą  $8^{\circ}$ . Zakładając niezmienność oporów ciepła w pobliżu fundamentu można przy założeniu szerokości izolacji minimum równej  $D_{iz} = 2H_z$  o miąższości  $d_{iz}$  i współczynniku  $\lambda_{iz}$  obliczyć jej grubość z wzoru:

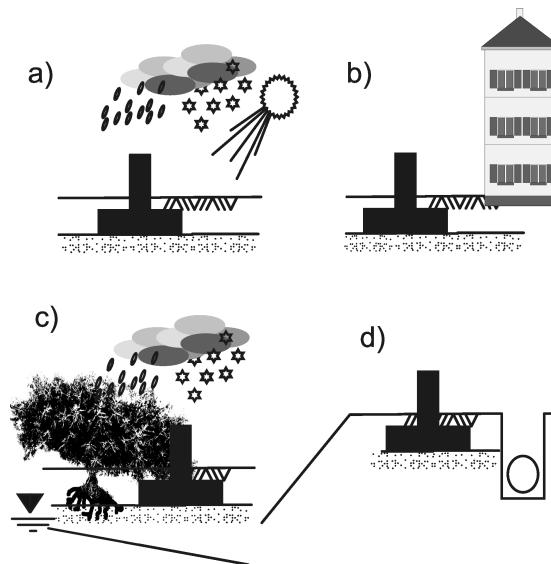
$$\frac{H_z}{\lambda_{gr}} \leq \frac{d_{iz}}{\lambda_{iz}} + \frac{d_{gr}}{\lambda_{gr}} \quad (2.2)$$

Należy podkreślić jednak, że w przypadkach terenów odsłoniętych o małej pokrywie śniegu i słabo rozwiniętej roślinności oraz w sytuacji równoczesnego mocnego nawodnienia gruntów głębokości przemarzania odczytane z mapy mogą być znacznie zaniżone, należy zastosować wtedy formuły obliczeniowe przedstawione w pracy [14].





Rysunek 2.1: Głębokość posadowienia z uwzględnieniem przemarzania lub warstwy izolacji poziomej.

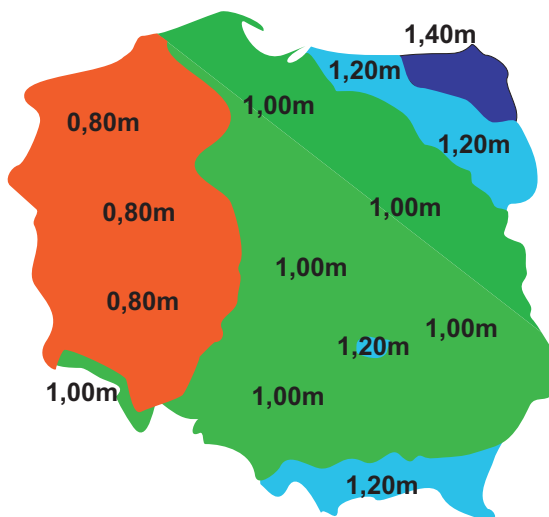


Rysunek 2.2: Wybrane zagadnienia projektowe: a) wpływ klimatu na wrażliwe grunty w podłożu (namakanie, przemarzanie, wysuszenie) b) bliskie sąsiedztwo budynków c) zmienność podłoża oraz głębokość strefy aktywnej biologicznie, d) możliwe roboty instalacyjne oraz wpływ fundamentu na globalną stateczność.

## 2.4 Sprawdzenie stanu granicznego nośności na skutek wypierania gruntu

Eurocod 7 zaleca jako niezbędne rozpatrzenie następujących stanów granicznych, wszystkie przedstawiono w formie schematycznej na rysunku 2.4:

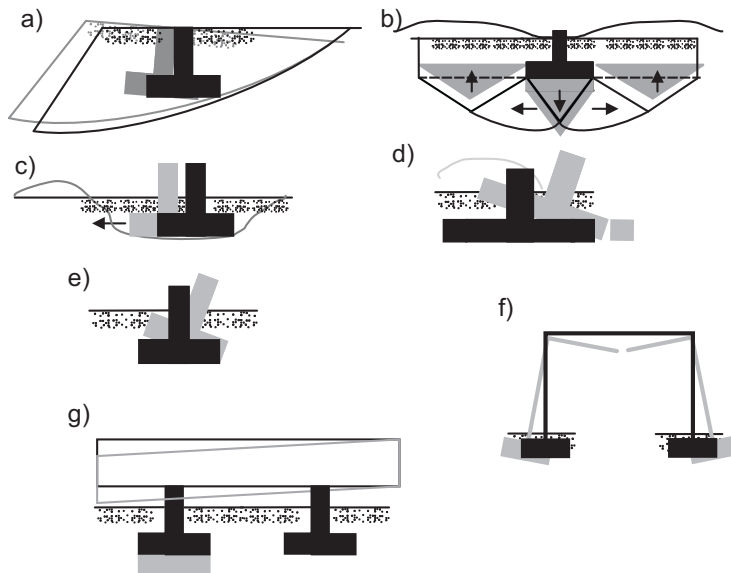
- utrata stateczności ogólnej (rys. 2.4 a), polegająca na możliwej utracie stateczności zbocza obciążonego projektowanym fundamentem pod obiektem, zarówno pojedynczym fundamentem jak i układem.
- wyczerpanie nośności, zniszczenie na skutek przebiccia lub wypierania (rys. 2.4 b),
- utrata stateczności na skutek poślizgu (rys. 2.4 c),
- łączna utrata stateczności podłoża i zniszczenie konstrukcji (rys. 2.4 d),
- zniszczenie konstrukcji na skutek przemieszczenia fundamentu (rys. 2.4 f),
- nadmierne osiadania (rys. 2.4 g),



Rysunek 2.3: Głębokości przemarzania  $H_z$  na terenie RP za [1]

- nadmierne wypiętrzenie spowodowane pęcznieniem, przemarzaniem lub innymi przyczynami,
- niedopuszczalne drgania.

Takie ujęcie problemu nośności nie pozostawia już w sferze domysłów i dobrej praktyki sprawdzania możliwości wystąpienia powyższych sytuacji, a czyni je niezbędną koniecznością.



Rysunek 2.4: Możliwe według EC7 rodzaje stanu granicznego. Opis w tekście.

### 2.4.1 Warunki bez odpływu wody

Nośność obliczeniową wyznacza się z ogólnego wzoru, gdy  $c_u = s_u, \phi = 0$ :

$$\frac{R}{A'} = (\pi + 2)c_u b_{cu} s_{cu} i_{cu} + q \quad (2.3)$$

gdzie oznaczono:

- R nośność fundamentu,

- $A'$  efektywne obliczeniowe pole powierzchni fundamentu,
- $c_u$  wytrzymałość na ścinanie w warunkach bez odpływu <sup>1</sup>,
- $b_{cu}$  bezwymiarowy współczynnik nachylenia podstawy fundamentu,
- $s_{cu}$  współczynnik kształtu fundamentu,
- $i_{cu}$  współczynnik związany z nachyleniem obciążenia,
- $q$  obciążenie w poziomie posadowienia.

Współczynniki podano w kolejnych punktach rozdziału. Warunki bez odpływu wody można stosować dla sytuacji gdy mamy do czynienia z:

- gruntami spoistymi, o bardzo małej wartości współczynnika wodoprzepuszczalności  $k$ , np. [Cl]
- gruntami spoistymi, o średniej wartości współczynnika wodoprzepuszczalności  $k$  przy obciążeniach krótkotrwałych, [SiCl, ClSi, SaCl]
- dla wszystkich gruntów przy zablokowanej możliwości filtracji wody.

### 2.4.2 Warunki z możliwym odpływem

Nośność obliczeniową wyznacza się z ogólnego wzoru:

$$\frac{R}{A'} = c' N_c b_c s_c i_c + q N_q b_q s_q i_q + \frac{1}{2} \gamma B' N_\gamma b_\gamma s_\gamma i_\gamma \quad (2.4)$$

- $R$  nośność fundamentu
- $A'$  efektywne obliczeniowe pole powierzchni fundamentu,
- $c'$  spójność efektywna [kPa] <sup>2</sup>,
- $\phi'$  kąt tarcia efektywnego (w stopniach dziesiętnych) <sup>3</sup>,
- $b_c, b_q, b_\gamma$  bezwymiarowe współczynniki nachylenia podstawy fundamentu,
- $s_c, s_q, s_\gamma$  współczynniki kształtu fundamentu,

<sup>1</sup>Wartość obliczeniowa.

<sup>2</sup>Wartość obliczeniowa.

<sup>3</sup>Wartość obliczeniowa

- $i_c, i_q, i_\gamma$  współczynniki związane z nachyleniem obciążenia,
- $N_c, N_q, N_\gamma$  bezwymiarowe współczynniki nośności.

Warunki w których można spodziewać się swobodnego przepływu - to pozostałe przypadki nie wymienione w punkcie powyżej. W szczególności grunty nie wykazujące spójności, charakteryzujące się dużymi współczynnikami wodoprzepuszczalności  $k$ .

### 2.4.3 Współczynniki nośności

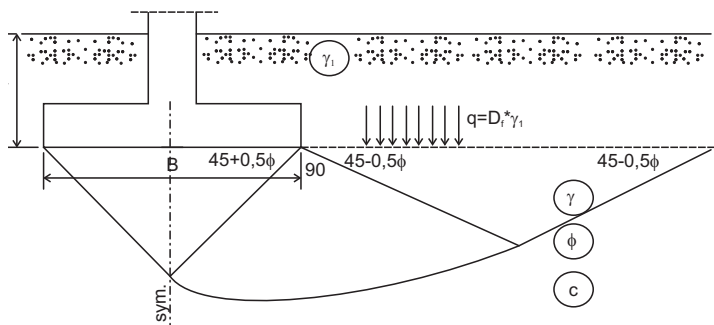
Bezwymiarowe współczynniki nośności w schemacie zniszczenia jak na rys. 2.5 mają postać analityczną:

$$N_q = e^{\pi \operatorname{tg} \phi'} \operatorname{tg}^2(45^\circ + \frac{\phi'}{2}) \quad (2.5)$$

$$N_c = (N_q - 1) \frac{1}{\operatorname{tg} \phi'} \quad (2.6)$$

$$N_\gamma = 2(N_q - 1) \operatorname{tg} \phi' \quad (2.7)$$

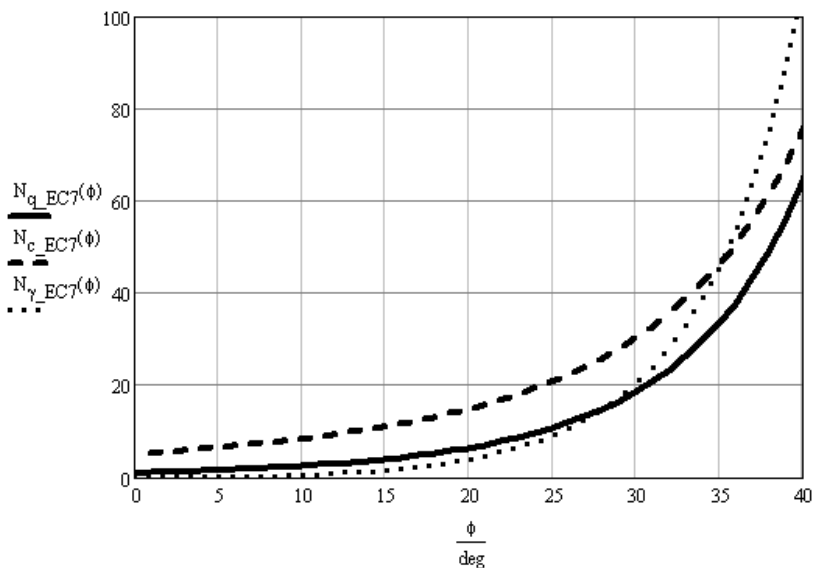
wartości te wyznaczono dla fundamentu o szorstkiej podstawie, w której kąt tarcia podstawy o grunt spełnia  $\delta > \frac{\phi'}{2}$ . Wartości w celu ułatwienia przedstawiono w formie wykresów na rys. 2.6 oraz w tablicy.



Rysunek 2.5: Fundament płytki w podłożu jednorodnym, opis w tekście.

Na rysunku 2.5 przedstawiono przekrój przez fundament bezpośredni (ławę nieskończenie długą) poniżej niej naszkicowano schemat zniszczenia przy granicznej wartości obciążenia, należy podkreślić że mechanizm ten jest symetryczny. Oznaczenia na tym rysunku to:

- $\gamma$  ciężar objętościowy gruntu poniżej poziomu posadowienia,
- $\phi$  kąt tarcia wewnętrznego gruntu poniżej poziomu posadowienia,
- $c$  spójność gruntu poniżej poziomu posadowienia,
- $D_f$  głębokość posadowienia,
- $B$  szerokość podstawy fundamentu (netto),
- $\gamma_1$  średni ciężar objętościowy gruntów powyżej poziomu posadowienia.



Rysunek 2.6: Fundament bezpośredni, nomogram z wartościami  $N_c$ ,  $N_q$ ,  $N_\gamma$  bezwymiarowych współczynników nośności.

$\phi$	$N_q$	$N_c$	$N_\gamma$	$\phi$	$N_q$	$N_c$	$N_\gamma$
0	1,00	5,14	0,00	23	8,66	18,05	6,50
1	1,09	5,38	0,00	24	9,60	19,32	7,66
2	1,20	5,63	0,01	25	10,66	20,72	9,01
3	1,31	5,90	0,03	26	11,85	22,25	10,59
4	1,43	6,19	0,06	27	13,20	23,94	12,43
5	1,57	6,49	0,10	28	14,72	25,80	14,59
6	1,72	6,81	0,15	29	16,44	27,86	17,12
7	1,88	7,16	0,22	30	18,40	30,14	20,09
8	2,06	7,53	0,30	31	20,63	32,67	23,59
9	2,25	7,92	0,40	32	23,18	35,49	27,72
10	2,47	8,34	0,52	33	26,09	38,64	32,59
11	2,71	8,80	0,66	34	29,44	42,16	38,37
12	2,97	8,28	0,84	35	33,30	46,12	45,23
13	3,26	9,81	1,05	36	37,75	50,59	53,40
14	3,59	10,37	1,29	37	42,92	55,63	63,18
15	3,94	10,98	1,58	38	48,93	61,35	74,90
16	4,34	11,63	1,91	39	55,69	67,87	89,01
17	4,77	12,34	2,31	40	64,20	75,31	106,05
18	5,26	13,10	2,77	41	73,90	83,86	126,74
19	5,80	13,93	3,30	42	85,37	93,71	151,94
20	6,40	14,83	3,93	43	99,01	105,11	182,80
21	7,07	15,81	4,66	44	115,31	118,37	220,77
22	7,82	16,88	5,51	45	134,87	133,87	267,75

Wartości współczynnika  $N_\gamma$  wyznaczone są różnymi metodami, z metody charakterystyk zastosowanej przez [18] można uzyskać wartości bezwymiarowego współczynnika nośności  $N_\gamma$  dla dużych kątów tarcia wewnętrznego  $\phi > 40^\circ$ . Rozwiązanie to uzyskano dla gruntów bez spójności, gdzie:

$$N_\gamma^{Martin} = (N_q - 1) \operatorname{tg}(1.32\phi) \quad (2.8)$$

#### 2.4.4 Współczynniki związane z nachyleniem obciążenia

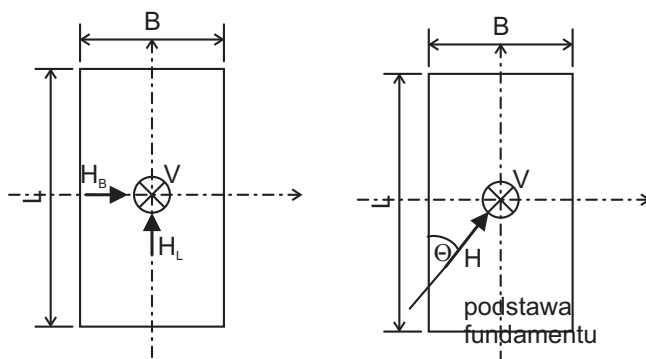
Często fundament musi przenieść siły poziome, wywołane parciem wiatru, obciążeniem od rozpór, polerów i innych oddziaływań. Wpierw powinniśmy sprawdzić czy kąt nachylenia wypadkowej względem podstawy fundmanetu nie przekracza wartości dopuszczalnych. W dalszych rozdziałach omówiony zostanie sposób sprawdzania fundamentu na przesunięcie (poślizg). Przyjęto następujące oznaczenia:  $H$  jest siłą poziomą ( $H_B$  składowa równoległa do boku  $B$  fundamentu,  $H_L$  zaś to składowa równoległa do boku  $L$ ),  $V$  siłą pionową z konstrukcji. Kąta  $\Theta$  zawarty jest pomiędzy siłą

$H$  a dłuższym bokiem fundamentu  $L$ .

$$\Theta = \arcsin \frac{H_B}{H}$$

Sytuację z oznaczeniami przedstawia rysunek 2.7. Wpierw wyznaczamy wartości współczynników  $m_B, m_L$  dzięki nim możemy znaleźć wartość współczynnika niezbędnego do dalszych obliczeń  $m_\Theta$ . Gdy obliczamy fundament obciążony tylko jedną siłą poziomą, występuje to najczęściej w przypadku ławy fundamentowej  $H_L = 0, H_B \neq 0$ , wartość kąta  $\Theta = 90^\circ$ , stąd mamy  $m_\Theta = m_B$ . Rozkład siły skupionej  $P$  zdefiniowanej za pomocą długości i dwóch kątów  $\beta, \lambda$  jak na rys. odpowiednio:

$$H_L = P \cos(\beta) \sin(\lambda); H_B = P \sin(\beta); V = P \cos(\beta) \cos(\lambda) \quad (2.9)$$



Rysunek 2.7: Siły przyłożone do fundamentu. Z lewej siła pozioma zdefiniowana jest za pomocą składowych równoległych do boków fundamentu, z prawej za pomocą wypadkowej i kąta  $\Theta$

$$m_B = \frac{2 + \frac{B'}{L'}}{1 + \frac{B'}{L'}} \quad (2.10)$$

$$m_L = \frac{2 + \left(\frac{B'}{L'}\right)^{-1}}{1 + \left(\frac{B'}{L'}\right)^{-1}} \quad (2.11)$$

W przypadku gdy nie znamy wartości wypadkowej  $H$  tylko jej składowe, wtedy odpowiednio  $\Theta = \arctg\left(\frac{H_B}{H_L}\right)$  oraz  $H = \sqrt{H_B^2 + H_L^2}$ .

$$m_\Theta = m_L \cos^2 \Theta + m_B \sin^2 \Theta \quad (2.12)$$



po ich wyznaczeniu możemy już wyliczyć współczynniki redukujące nośność podłoża:

$$i_q = i_\gamma = \left(1 - \frac{H}{V + B'L'c' \operatorname{tg}^{-1} \phi'}\right)^{m_\Theta} \quad (2.13)$$

$$i_c = i_q - \frac{1 - i_q}{N_q - 1} \quad (2.14)$$

$$i_{cu} = \frac{1}{2} \left(1 + \sqrt{1 - \frac{H}{A'c_u}}\right) \quad (2.15)$$

Wykonano dwa przykłady obliczeniowe różniące się sposobem definicji i wartością wypadkowej poziomej.

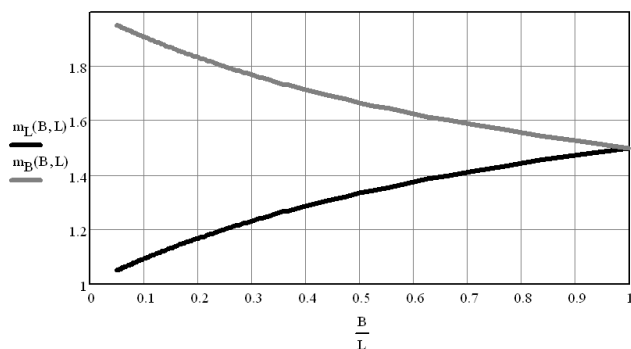
### Przykład obliczeniowy $H, \Theta$

Wyjściowe dane w postaci wypadkowej siły poziomej  $H = 300kN$  nachylonej pod kątem  $\Theta = 30^\circ$  i pionowej  $V = 1MN$ . Pozostałe dane do obliczeń to: wymiary fundamentu, mimośrodę obciążenia pionowego oraz cechy gruntu:

$$\begin{aligned} B &= 1,2m & e_B &= 0,10m \\ L &= 2,4m & e_L &= 0,03m \\ c' &= 10kPa & \phi' &= 20^\circ \end{aligned}$$

Kolejno otrzymujemy wymiary netto fundamentu oraz wartości współczynników  $m_B, m_L, m_\Theta$ :

$$\begin{aligned} B' &= 1,00m & L' &= 2,34m \\ m_B &= 1,701 & m_L &= 1,299 \\ m_\Theta &= 1,400 \end{aligned}$$



Rysunek 2.8: Współczynniki  $m_B, m_L$  w funkcji proporcji  $\frac{B'}{L'}$ .

i ostatecznie wartości współczynników:

$$\begin{aligned}i_q &= i_\gamma = 0,629 \\i_c &= 0,562\end{aligned}$$

### Przykład obliczeniowy $H_B, H_L$

Wyjściowe dane w postaci siły poziomej  $H_L = 300kN$ ,  $H_B = 200$  i pionowej  $V = 1MN$ . Pozostałe dane do obliczeń to: wymiary fundamentu, mimośrodowość obciążenia pionowego oraz cechy gruntu identyczne jak w przykładzie poprzednim:

$$\begin{aligned}B &= 1,2m & e_B &= 0,10m \\L &= 2,4m & e_L &= 0,03m \\c' &= 10kPa & \phi' &= 20^\circ\end{aligned}$$

W pierwszej kolejności wyznaczamy odpowiednio:

$$\Theta = 33,69^\circ \quad H = 360,6$$

Kolejno otrzymujemy wymiary netto fundamentu oraz wartości współczynników  $m_B, m_L, m_\Theta$ :

$$\begin{aligned}B' &= 1,00m & L' &= 2,34m \\m_B &= 1,701 & m_L &= 1,299 \\m_\Theta &= 1,423\end{aligned}$$

i ostatecznie wartości współczynników:

$$\begin{aligned}i_q &= i_\gamma = 0,555 \\i_c &= 0,476\end{aligned}$$

### 2.4.5 Współczynniki związane z kształtem fundamentu

Wartość współczynników wyznaczamy w zależności od [22]:

- $B', L'$  zredukowanej szerokości i długości fundamentu gdzie  $B' \leq L'$ ,
- $\phi'$  kąt tarcia efektywnego (w stopniach dziesiętnych),
- $N_q$  bezwymiarowy współczynnik nośności.

$$s_q = 1 + \frac{B'}{L'} \sin \phi' \quad (2.16)$$

$$s_\gamma = 1 - 0,4 \frac{B'}{L'}, s_\gamma \geq 0,6 \quad (2.17)$$

$$s_c = \frac{s_q N_q - 1}{N_q - 1} \quad (2.18)$$

$$s_{cu} = 1 + 0,2 \frac{B'}{L'} \quad (2.19)$$

**Przykład obliczania współczynnika kształtu dla stopy fundamentowej**

Jak w obydwu poprzednich przypadkach mamy dane:

$$\begin{aligned} B &= 1,2m & e_B &= 0,10m \\ L &= 2,4m & e_L &= 0,03m \\ \phi' &= 20^0 & N_q &= 6,399 \end{aligned}$$

wymiary netto fundamentu:

$$B' = 1,00m \quad L' = 2,34m$$

i ostatecznie wartości współczynników

$$\begin{aligned} s_q &= 1,146 \\ s_\gamma &= 0,872 \\ s_c &= 1,173 \end{aligned}$$

**Przykład obliczania współczynnika kształtu dla ławy fundamentowej**

Przypadek obliczeniowy dla ławy został zestawiony dla następujących danych:

$$\begin{aligned} B &= 1,5m & e_B &= 0,07m \\ L &= 15,4m & e_L &= 0,00m \\ \phi' &= 15^0 & N_q &= 3,941 \end{aligned}$$

wymiary netto fundamentu:

$$B' = 1,36m \quad L' = 15,40m$$

i ostatecznie wartości współczynników:

$$\begin{aligned} s_q &= 1,023 \\ s_\gamma &= 0,974 \\ s_c &= 1,031 \end{aligned}$$

Współczynniki zbliżone są do jedności.

**2.4.6 Woda gruntowa**

Sytuacje obliczeniowe dla poziomu zwierciadła wody gruntowej ustabilizowanej i odniesionej do podstawy fundmanetu przedstawiono na rys. 2.9 przy założeniu gruntów o wysokich wskaźnikach wodoprzepuszczalności. Od położenia ZWG możemy zbudować następujące wzory na ciężary w rejonie mechanizmu zniszczenia. Dla schematu z rysunku 2.9:

- a) Gdy woda znajduje się ponad poziomem posadowienia. Ciężar gruntu poniżej poziomu posadowienia będzie wyznaczany z uwzględnieniem wyporu wody:

$$\gamma = \gamma' \quad (2.20)$$

i tą wartość wstawimy do wzoru na nośność. W tej sytuacji, ciężar warstw nadkładu obok fundamentu będzie miał postać:

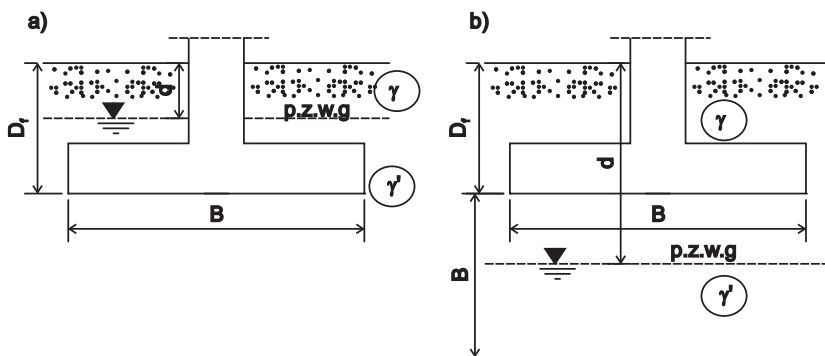
$$q = \frac{d\gamma + (D_f - d)\gamma'}{D_f} \quad (2.21)$$

- b) Tutaj ZWG znajduje się poniżej poziomu posadowienia jednak nie głębiej niż  $B$ . W takim przypadku:

$$\gamma = \frac{(d - D_f)\gamma + (B - d + D_f)\gamma'}{B} \quad (2.22)$$

natomiast ciężar nadkładu w poziomie posadowienia  $q$  obliczać należy bez uwzględnienia wody. Ostatnią sytuacją jest ZWG położone na głębokości większej niż  $B$  poniżej poziomu posadowienia, w tym wypadku wypór wody nie wpłynie na zmianę ciężarów gruntu w strefie zakłóconego zasięgu mechanizmu zniszczenia.

- c) Kolejnym przypadkiem występowania wody gruntowej jest sytuacja gdy woda znajduje się powyżej poziomu terenu. Zwracam jednak uwagę na warunek braku przepływu w poniższych rozważaniach. Należy zastosować schemat b) z rysunku 2.9, oraz nie uwzględniać zwiększenia ciężaru nadkładu o warstwę wody.



Rysunek 2.9: Zwierciadło wody gruntowej znajduje się a) powyżej spodu fundamentu, b) nie głębiej niż  $B$  poniżej spodu fundamentu.

### 2.4.7 Podłoże uwarstwione

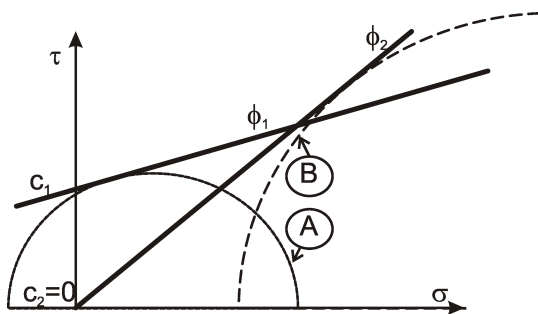
Wzór na nośność podłoża omówiony wcześniej zakłada występowanie poniżej poziomu posadowienia jednorodnej warstwy gruntu. Dla prostych przypadków dwu warstw, zbudowane zostało wiele rozwiązań analitycznych, jednak najlepsze rezultaty uwzględniające zarówno wpływ cech wytrzymałościowych jak i sztywności warstw daje zastosowanie MES (metody elementów skończonych). W złożonych przypadkach, należy jednoznacznie polecić je do celów projektowych. W pierwszej kolejności należy sprawdzić czy warstwa znajdująca się pod warstwą na której posadowiliśmy fundament będzie mieć wpływ na nośność. Wyznaczamy dla mechanizmu Prandtl'a głębokość zasięgu wpływu fundamentu  $H_{cr}$  za pomocą szacunkowej formuły:

$$H_{cr}(\phi', B) = 0.5B \operatorname{tg}(45^\circ + 0.5\phi'), \quad (2.23)$$

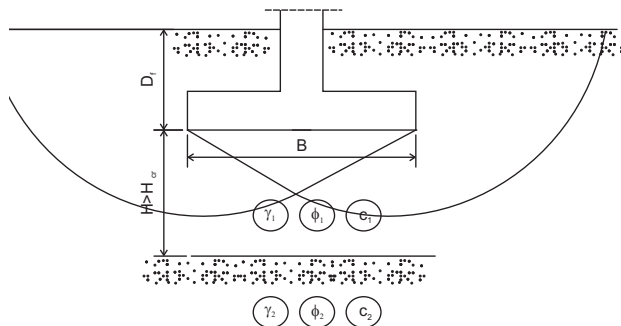
lub też wzoru uwzględniającego kształt spirali logarytmicznej:

$$H_{cr}(\phi', B) = \frac{B \exp((45^\circ - 0.5\phi') \operatorname{tg} \phi')}{2 \cos(45^\circ + 0.5\phi')}. \quad (2.24)$$

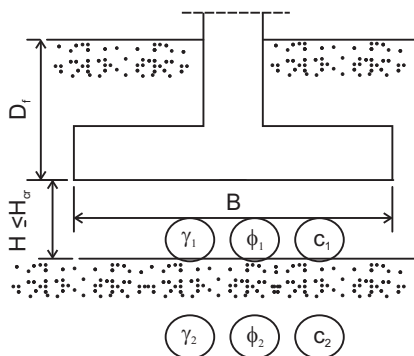
Gdy przewarstwienie jest poniżej głębokości wpływu fundamentu jak na rysunku 2.11 wtedy nie musimy sprawdzać nośności z uwzględnieniem warstw niższych. Zadanie sprowadza się w większości przypadków (w zakresie stanów granicznych nośności) do posadowienia bezpośredniego na ośrodku jednorodnym, który składa się z warstwy bezpośrednio zalegającej pod poziomem posadowienia. Definicja warstwy słabej i silnej zależy od średniego naprężenia hydrostatycznego, co pokazano na ilustracji rys.2.10. Jak widać w tym przypadku dla małych naprężeń grunt o parametrach  $\phi_2, c_2$  stanowi warstwę "słabszą", natomiast ten sam grunt dla naprężeń średnich większych można opisać jako "silny". W większości przypadków praktycznych decydujący będzie jednak kąt tarcia wewnętrznego.



Rysunek 2.10: Płaszczyzna CM, A) koło graniczne dla mniejszych B) koło graniczne dla większych naprężeń średnich w warstwie. Opis w tekście.



Rysunek 2.11: Podłoże uwarstwione, słabsza warstwa występuje głęboko.



Rysunek 2.12: Podłoże uwarstwione, słabsza warstwa występuje płytko.

Zostaną omówione następujące szczególne przypadki uwarstwienia (oznaczenia parametrów warstw jak na rys. 2.12).

### Dwie warstwy grunty idealnie spoiste, warstwa sztywniejsza na górze $E_1 \gg E_2$

Mamy kolejno parametry:  $c_1 > c_2, \phi_1 = 0, \phi_2 = 0$ . Nośność obliczeniową wyznacza się z ogólnego wzoru:

$$\frac{R}{A'} = N_m, \quad (2.25)$$

gdzie:

$$N_m = 1,5 \frac{H}{B} + (\pi + 2) \frac{c_2}{c_1}. \quad (2.26)$$

### Dwie warstwy grunty idealnie spoiste, warstwa słabsza bezpośrednio pod fundamentem

Mamy kolejno parametry:  $c_1 < c_2, \phi_1 = 0, \phi_2 = 0$ . Nośność obliczeniową wyznacza się z ogólnego wzoru:

$$\frac{R}{A'} = N_m \left( \frac{c_2}{c_1}, \frac{B}{H} \right) c_1, \quad (2.27)$$

gdzie wartości  $N_m$  zestawiono w tabeli:

### Dwie warstwy, grunt sypki na idealnie spoistym

Mamy kolejno parametry:  $c_1 = 0, c_2, \phi_1 > 0, \phi_2 = 0$ . W tym przypadku, gdy warstwa słabsza znajduje się pod warstwą silniejszą, stosujemy zaproponowaną w [15] metodę dla układu warstw piasek (Si) nad gliną (Cl). Jeżeli słabsza warstwa znajdzie się w strefie jak na rys. 2.12 wtedy:

$$\lambda_p = \frac{D_f}{B} \quad (2.28)$$

gdzie wymiar  $D_f$  przedstawiono na 2.12

$$\lambda_c = \frac{5.14c_2}{\gamma_1 B} \quad (2.29)$$

przedstawione równania obowiązują dla  $\lambda_p < 4, 8$ . Kolejno wyznaczamy współczynniki  $m_1 m_2$ :

$$m_1 = 5.14c_2 \left( 1 + \frac{\lambda_p}{\lambda_c} + \frac{H}{\lambda_c B} \right) \quad (2.30)$$

$$m_2 = \frac{1}{\cos^2 \phi_1} \left( m_1 - \sqrt{m_1^2 - \cos^2 \phi_1 (m_1 + 1)} \right) \quad (2.31)$$

Ławy fundamentowe ( $L \geq 5B$ )

s_2/s_1	B/H					
	2,00	4,00	6,00	8,00	10,00	20,00
1,00	5,14	5,14	5,14	5,14	5,14	5,14
1,50	5,14	5,31	5,41	5,59	5,70	6,14
2,00	5,14	5,43	5,69	5,92	6,13	6,95
3,00	5,14	5,59	6,00	6,38	6,74	8,16
4,00	5,14	5,69	6,21	6,69	7,14	9,02
5,00	5,14	5,76	6,35	6,90	7,42	9,66
10,00	5,14	5,93	6,69	7,43	8,14	11,40
inf	5,14	6,14	7,14	8,14	9,14	14,14

Stopa fundamentowa oraz fundament o podstawie kołowej

s_2/s_1	B/H					
	4,00	8,00	12,00	16,00	20,00	40,00
1,00	6,17	6,17	6,17	6,17	6,17	6,17
1,50	6,17	6,34	6,49	6,63	6,76	7,25
2,00	6,17	6,46	6,73	6,98	7,20	8,10
3,00	6,17	6,63	7,05	7,45	7,82	9,36
4,00	6,17	6,73	7,26	7,75	8,23	10,24
5,00	6,17	6,80	7,40	7,97	8,51	10,88
10,00	6,17	6,96	7,74	8,49	9,22	12,58
inf	6,17	7,17	8,17	9,17	10,17	15,17

Rysunek 2.13: Tabela wartości współczynnika nośności  $N_m$  dla podłoża uwarstwionego.



kąt rozchodzenia się naprężeń ściskających pod fundamentem wyniesie:

$$\omega = \operatorname{tg} \left( \frac{m_1 - m_2(1 + \sin^2 \phi_1)}{m_2 \cos \phi_1 \sin \phi_1} \right)^{-1} \quad (2.32)$$

wyznaczamy również współczynnik odporu dla warstwy pierwszej:

$$K_p = \operatorname{tg}^2(45^\circ + 0,5\phi_1). \quad (2.33)$$

ostatecznie więc wyznaczamy składniki nośności dla warstwy słabszej:

$$q_c = (5,14c_2 + \gamma_1 D_f) \left( 1 + \frac{H \operatorname{tg} \omega}{B} \right) \quad (2.34)$$

$$q_{K_p} = \frac{K_p \lambda_p H \gamma_1 \sin(\phi - \omega)}{\cos \phi \cos \omega} \quad (2.35)$$

$$q_\gamma = -\gamma_1 D_f \left( 1 + \frac{H \operatorname{tg} \omega}{B} \right) \quad (2.36)$$

i po zsumowaniu otrzymujemy nośność podłoża w poziomie warstwy słabszej:

$$\frac{R}{A'} = (q_c + q_{K_p} + q_\gamma) \quad (2.37)$$

W przypadkach budzących wątpliwość, przy dużym udziale sił poziomych, złożonym nieregularnym przebiegu warstw, należy wspomóc się MES lub MRS (metodą różnic skończonych np. FLAC). Do zastosowania w przypadku sprawdzania podłoża uwarstwionego można wybrać również metodę opisaną za PN 81/B-03020.

### Przykład obliczeniowy dla podłoża uwarstwionego 1

Zgodnie z oznaczeniami na rys. 2.12 mamy:

$$\begin{array}{lll} B = 1,2m & D_f = 0,5m & H = 0,8m \\ c_1 = 0kPa & \phi_1 = 30^\circ & \gamma_1 = 18 \frac{kN}{m^3} \\ c_2 = 30kPa & \phi_2 = 0^\circ & \gamma_2 = 20 \frac{kN}{m^3} \end{array}$$

Po wyznaczeniu  $H_{cr} = 0,887$  i  $H_{cr} > H$  dlatego konieczne jest sprawdzenia nośności warstwy z uwzględnieniem warstwy 2. Kolejno wyznaczam:

$$\begin{array}{ll} \lambda_p = 0,417 & \lambda_c = 4,759 \\ m_1 = 126,20kPa & m_2 = 84,14kPa \\ \omega = 0,028^\circ & K_p = 3,000 \end{array}$$

Możemy wyznaczyć składniki nośności dla warstwy słabszej:

$$\begin{array}{l} q_c = 113,868kPa, \\ q_{K_p} = 9,893kPa, \\ q_\gamma = -9,166kPa, \\ \frac{R}{A'} = q_c + q_{K_p} + q_\gamma = 114,594kPa. \end{array}$$

### Przykład obliczeniowy dla podłoża uwarstwowionego 2

Zgodnie z oznaczeniami na rys. 2.12 mamy:

$$\begin{aligned} B &= 0,8m, & D_f &= 0,8m, & H &= 0,50m, \\ c_1 &= 30kPa, & \phi_1 &= 0^0, \\ c_2 &= 10kPa, & \phi_2 &= 0^0. \end{aligned}$$

Po wyznaczeniu  $H_{cr} = 0,556$  i  $H_{cr} > H$  dlatego konieczne jest sprawdzenia nośności warstwy z uwzględnieniem warstwy 2. Kolejno wyznaczam:

$$N_m = 1,5 \frac{0,6}{0,8} + (\pi + 2) \frac{10}{30} = 2,839,$$

$$\frac{R}{A'} = 2,839 * 30 = 85,166kPa.$$

### Przykład obliczeniowy dla podłoża uwarstwowionego 3

Zgodnie z oznaczeniami na rys. 2.12 mamy:

$$\begin{aligned} B &= 2,0m, & D_f &= 0,5m, & H &= 1,0m, \\ L &= 12,0m, \\ c_1 &= 80kPa, & \phi_1 &= 0^0, & \gamma_1 &= 19 \frac{kN}{m^3}, \\ c_2 &= 20kPa, & \phi_2 &= 0^0, & \gamma_2 &= 20 \frac{kN}{m^3}. \end{aligned}$$

Po wyznaczeniu  $H_{cr} = i$   $H_{cr} > H$  dlatego konieczne jest sprawdzenia nośności warstwy z uwzględnieniem warstwy 2. Kolejno wyznaczam:

$$\frac{c_2}{c_1} = \frac{20}{80} = 0,25,$$

$$\frac{B}{H} = \frac{2,0}{1,0} = 2,0,$$

oraz ponieważ spełniona jest nierówność  $L > 5B$  bo  $12,0 > 5 * 2,0$  odczytuję z rys.2.13 części pierwszej tabeli wartość współczynnika bezwymiarowego  $N_m = 5,14$ , Nośność podłoża wynosi więc:

$$\frac{R}{A'} = 5,14 * 80 = 411,0kPa.$$

### Dwie warstwy niezależnie od parametrów

Inne podejście reprezentuje autor [8], proponuje on stosowanie średniego ważonego kąta tarcia wewnętrznego i średniej ważonej spójności (wagą jest wysokość zasięgu działania mechanizmu zniszczenia równym głębokości  $H_{cr}$ ). Oczywiście uśredniania

dokonyjemy tylko gdy granica warstw znajduje bliżej niż głębokość krytyczna dla mechanizmu zniszczenia.

$$\phi_{av} = (\phi_1 h_1 + \phi_2 h_2) / (h_1 + h_2) \quad (2.38)$$

we wzorach tych  $h_1, h_2$  tych odpowiadają miąższościom warstw ( $h_1 = H_{cr} - h_2$ ),  $c_1, c_2$  odpowiednio spójnościom, natomiast  $\phi_1, \phi_2$  kątom tarcia wewnętrznego. Pamiętać należy również o tzw. efekcie tubki z pastą, gdy bezpośrednio pod fundamentem zalegają warstwy słabsze, proponuje się dla gruntów spoistych (w stanach gorszych niż zwarte) wyznaczanie nośności bez uwzględnienia wzrostu parametrów wytrzymałości z wyznaczonych powyżej średnich.

### Dwie warstwy niezależnie od parametrów

Uproszczona metoda podobna do stosowanej uprzednio w RP polega na sprawdzeniu nośności podłoża w spągu warstwy zalegającej pod fundamentem jak dla zastępczego sztywnego fundamentu, przy założeniu rozchodzenia się naprężeń ściskających w stosunku 1:2.

#### 2.4.8 Powierzchnia efektywna (netto)

Powierzchnia efektywna [22] to powierzchnia prostokąta, z środkiem w punkcie przyłożenia obciążenia, mieszcząca się w obrysie podstawy fundamentu.

Wyznaczenie wartości powierzchni efektywnej ma kluczowe znaczenie dla oszacowania dopuszczalnej nośności obliczeniowej w stosowanych powyżej wzorach. Stosowanie definicji przedstawionej powyżej ograniczone jest do małych wartości mimośrodków. Obliczanie powierzchni efektywnej związane jest z charakterem pracy gruntu na kontakcie z fundamentem, nie przenosi on bowiem rozciągania, dopuszczalne jest tylko ściskanie. Powierzchnia netto zależy od położenia wypadkowej względem środka ciężkości pola podstawy fundamentu. Wartości położenia wypadkowej można wyznaczyć za pomocą następujących formuł:

$$e_B = \frac{|M_L|}{V} \quad (2.39)$$

$$e_L = \frac{|M_B|}{V} \quad (2.40)$$

oraz odpowiednio wartości netto szerokości i długości fundamentu wynoszą:

$$B' = B - 2e_B \quad (2.41)$$

$$L' = L - 2e_L \quad (2.42)$$

zaś pole powierzchni netto wynosi:

$$A' = L'B' \quad (2.43)$$

W wzorach poprzez  $M_L, M_B$  oznaczono momenty sprowadzone do podstawy fundamentu, natomiast  $V$  jest siłą pionową w podstawie fundamentu. Prostą z pozoru sytuację komplikuje fakt, że grunt w przypadku zagadnienia nośności granicznej nie zachowuje się jak ciało idealnie sprężyste. Nie przenosi rozciągania, oraz naprężeń ściskających większych do wartości wyznaczonej z wzoru na nośność.

### Rozkład naprężeń dla ławy fundamentowej

Poniższe obliczenia przeprowadzamy dla potrzeb wyznaczenia wzajemnych proporcji naprężeń pod fundamentem oraz wymiarowania elementów żelbetowych. Naprężenia średnie dla ławy wyznaczamy z formuły:

$$q_{sr} = \frac{V[kN/m]}{B}, \quad (2.44)$$

konieczny do dalszych obliczeń wskaźnik zginania:

$$W_L = \frac{B^2 1.0[m]}{6}, \quad (2.45)$$

Wzory do wyznaczenia wartości naprężeń pod ławą (w wstępnym założeniu idealnej sprężystości) mają postać:

$$q_{max} = q_{sr} + \frac{M_L}{W_L}, \quad (2.46)$$

$$q_{min} = q_{sr} - \frac{M_L}{W_L}. \quad (2.47)$$

Wzory te obowiązują wyłącznie dla wartości  $q_{min} \geq 0$  i  $q_{max} \leq q_{gr}$ , gdzie  $q_{gr}$  oznacza wartość naprężeń uplastyczniających pod podstawą fundamentu. W przypadku niespełnienia powyższego warunku należy zastosować warunek:  $A' \geq 0.75A$

### Rozkład naprężeń dla stopy fundamentowej

Naprężenia średnie dla stopy wyznaczamy z formuły:

$$q_{sr} = \frac{V}{BL}, \quad (2.48)$$

konieczne do dalszych obliczeń wskaźniki zginania zaś dla ogólnego przypadku stopy fundamentowej:

$$W_L = \frac{B^2 L}{6}, \quad (2.49)$$

$$W_B = \frac{L^2 B}{6}, \quad (2.50)$$

Wzory do wyznaczenia wartości naprężeń pod fundamentem (w wstępnym założeniu idealnej sprężystości) mają postać:

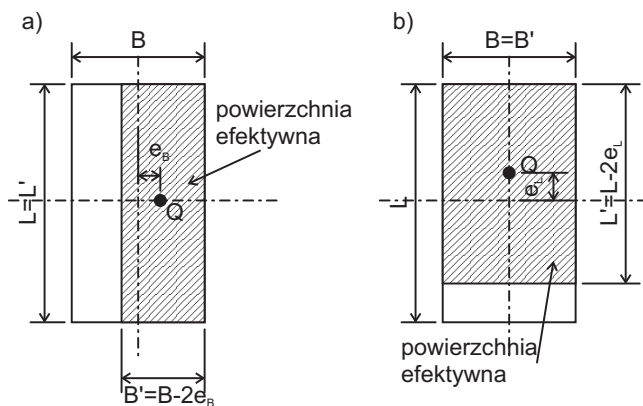
$$q_{max} = q_{sr} + \frac{M_B}{W_B} + \frac{M_L}{W_L}, \quad (2.51)$$

$$q_1 = q_{sr} - \frac{M_B}{W_B} + \frac{M_L}{W_L}, \quad (2.52)$$

$$q_2 = q_{sr} + \frac{M_B}{W_B} - \frac{M_L}{W_L}, \quad (2.53)$$

$$q_{min} = q_{sr} - \frac{M_B}{W_B} - \frac{M_L}{W_L}. \quad (2.54)$$

Wzory te obowiązują wyłącznie dla wartości  $q_{min} \geq 0$  i  $q_{max} \leq q_{gr}$ , gdzie  $q_{gr}$  oznacza wartość naprężeń uplastyczniających pod podstawą fundamentu. W przypadku niespełnienia powyższego warunku należy zastosować warunek:  $A' \geq 0.75A$



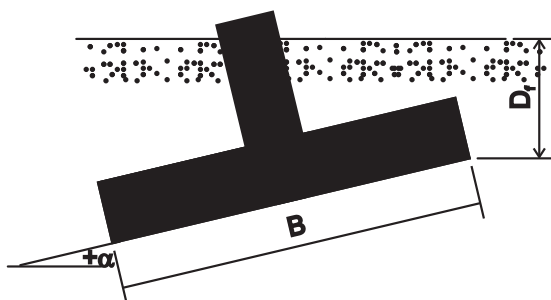
Rysunek 2.14: Powierzchnia efektywna: a)  $e_L = 0$ ,  $e_B > 0$ , b)  $e_B = 0$ ,  $e_L > 0$ .

## 2.4.9 Wpływ nachylenia podstawy fundamentu

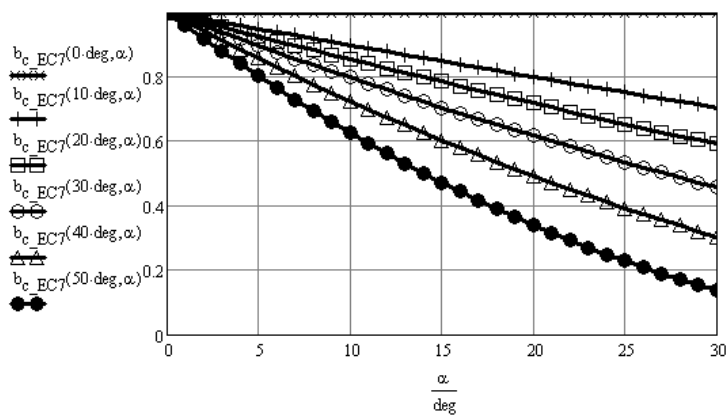
Schemat z oznaczeniami pokazano na rys. 2.15

$$b_\gamma = b_q = (1 - \alpha \operatorname{tg} \phi')^2 \quad (2.55)$$

$$b_c = b_q - \frac{1 - b_q}{N_q - 1} \quad (2.56)$$



Rysunek 2.15: Fundament o podstawie nachylonej.



Rysunek 2.16: Fundament o podstawie nachylonej, wartość współczynnika  $b_c$ .

### 2.4.10 Wpływ głębokości posadowienia

W przypadku głębszych fundamentów bezpośrednich, zgodnie z rys. 2.18 zmienia się charakter pracy obciążenia  $q$ . Nośność obliczeniową, proponuje się wyznaczać z zmodyfikowanego ogólnego wzoru:

$$\frac{R}{A'} = c' N_c b_c s_c i_c d_c + q N_q b_q s_q i_q d_q + \frac{1}{2} \gamma N_\gamma b_\gamma s_\gamma i_\gamma d_\gamma \quad (2.57)$$

wartości współczynników zagłębienia można przyjąć za Hansen'em: dla  $D_f > B$  mamy:

$$d_c = 1 + \frac{0,4}{\text{tg} \frac{D_f}{B}} \quad (2.58)$$

zaś w przeciwnym wypadku:

$$d_c = 1 + \frac{0,4 D_f}{B} \quad (2.59)$$

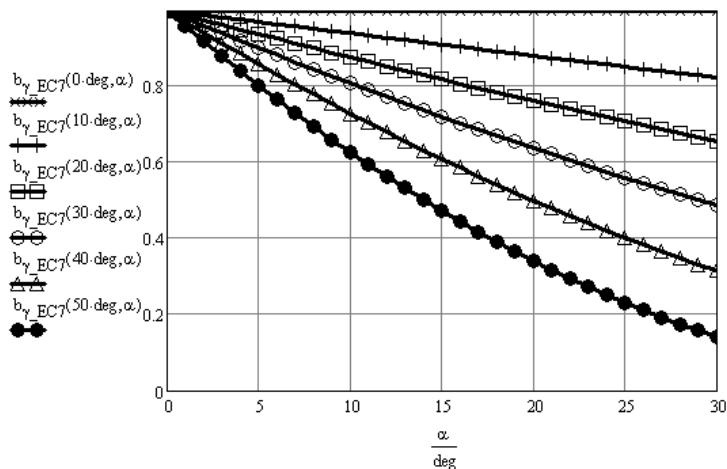
oraz dla  $D_f > B$  mamy:

$$d_q = 1 + 2 \text{tg} \phi' (1 - \sin \phi')^2 \text{tg} \frac{D_f}{B} \quad (2.60)$$

zaś w przeciwnym wypadku:

$$d_q = 1 + 2 \text{tg} \phi' (1 - \sin \phi')^2 \frac{D_f}{B} \quad (2.61)$$

$$d_\gamma = 1 \quad (2.62)$$



Rysunek 2.17: Fundament o podstawie nachylonej, wartość współczynnika  $b_\gamma$ .

## 2.5 Nośność na przesunięcie

## 2.6 Współczynniki częściowe i korelacyjne do stanów granicznych nośności

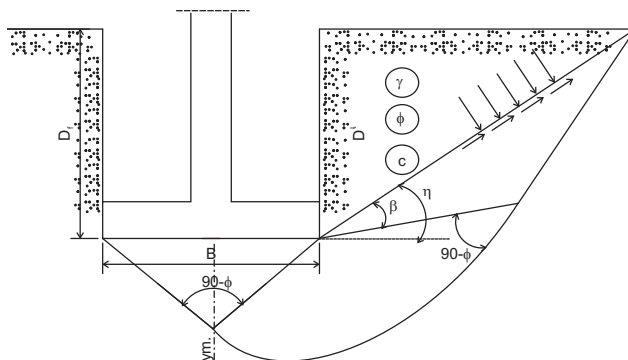
Wartości współczynników częściowych i korelacyjnych podane zostały w załączniku A do [2]. Norma zaleca zastosowanie współczynników częściowych zestawionych dalej.

### Współczynniki częściowe do sprawdzania stanu granicznego równowagi EQU

Współczynniki częściowe oznaczono:

- $\gamma_{G;dst}$  do stałych niekorzystnych oddziaływań destabilizujących,
- $\gamma_{G;stb}$  do stałych korzystnych oddziaływań stabilizujących,
- $\gamma_{Q;dst}$  do zmiennych niekorzystnych oddziaływań destabilizujących,
- $\gamma_{Q;stb}$  do zmiennych korzystnych oddziaływań stabilizujących.

Oddziaływanie	Symbol	Wartość
Stałe niekorzystne	$\gamma_{G;dst}$	1.1
Stałe korzystne	$\gamma_{G;stb}$	0.9
Zmienne niekorzystne	$\gamma_{Q;dst}$	1.5
Zmienne korzystne	$\gamma_{Q;stb}$	0.0



Rysunek 2.18: Mechanizm zniszczenia dla fundamentu głębokiego.



W przypadku oszacowania dolnego oporu ścinania przy sprawdzaniu stanu granicznego równowagi EQU do parametrów geotechnicznych należy zastosować następujące współczynniki częściowe:

Parametr gruntu	Symbol	Wartość
Tangens kąta tarcia wewnętrznego	$\gamma_{\phi'}$	1.25
Spójność efektywna	$\gamma_{c'}$	1.25
Wytrzymałość na ścinanie bez odpływu	$\gamma_{cu}$	1.4
Wytrzymałość na jednoosiowe ściskanie	$\gamma_{qu}$	1.4
Ciężar objętościowy	$\gamma_{\gamma}$	1.0

### Współczynniki częściowe do sprawdzania stanu granicznego równowagi STR i GEO

Współczynniki częściowe oznaczono:

- $\gamma_G$  do stałych niekorzystnych lub korzystnych oddziaływań,
- $\gamma_Q$  do zmiennych niekorzystnych lub korzystnych oddziaływań.

Oddziaływanie	Symbol	Zestaw A1	Zestaw A2
Stałe niekorzystne	$\gamma_G$	1.35	1.0
Stałe korzystne	$\gamma_G$	1.0	1.0
Zmienne niekorzystne	$\gamma_Q$	1.5	1.3
Zmienne korzystne	$\gamma_Q$	0.0	0.0

W przypadku oszacowania dolnego, oporu ścinania przy sprawdzaniu stanu granicznego równowagi STR lub GEO do parametrów geotechnicznych należy stosować następujące współczynniki częściowe:

Parametr gruntu	Symbol	Zestaw M1	Zestaw M2
Tangens kąta tarcia wewnętrznego	$\gamma_{\phi'}$	1.0	1.25
Spójność efektywna	$\gamma_{c'}$	1.0	1.25
Wytrzymałość na ścinanie bez odpływu	$\gamma_{cu}$	1.0	1.4
Wytrzymałość na jednoosiowe ściskanie	$\gamma_{qu}$	1.0	1.4
Ciężar objętościowy	$\gamma_{\gamma}$	1.0	1.0

W przypadku sprawdzania nośności granicznej fundamentów bezpośrednich (STR i GEO) stosujemy następujące współczynniki częściowe do oporu/nośności:

Nośność	Symbol	Zestaw R1	Zestaw R2	Zestaw R3
Nośność podłoża	$\gamma_{R;v}$	1.0	1.4	1.0
Przesunięcie (poślizg)	$\gamma_{R;h}$	1.0	1.1	1.0

współczynniki przynależą odpowiednio do:

- $\gamma_{R;v}$  nośności podłoża,
- $\gamma_{R;h}$  oporu na przesunięcie.

Współczynniki cząstkowe dla przypadków posadowienia bezpośredniego przedstawiono w zbiorczej tabeli:

Przypadek DA1/1	↓		↓		↓		
Przypadek DA1/2		↓		↓	↓		
Przypadek DA2	↓		↓			↓	
Przypadek DA3	↓	↓		↓			↓
Współczynnik częściowy	A1	A2	M1	M2	R1	R2	R3
$\gamma_{G;niekorzystne}$	1.35	1.0					
$\gamma_{G;korzystne}$	1.0	1.0					
$\gamma_{Q;niekorzystne}$	1.5	1.3					
$\gamma_{Q;korzystne}$	0.0	0.0					
$\gamma_{\phi'}$			1.0	1.25			
$\gamma_{c'}$			1.0	1.25			
$\gamma_{cu}$			1.0	1.4			
$\gamma_{qu}$			1.0	1.4			
$\gamma_{\gamma}$			1.0	1.0			
$\gamma_{R;v}$					1.0	1.4	1.0
$\gamma_{R;h}$					1.0	1.1	1.0

Stosowanie tabeli podanej za [7] ułatwia dobór odpowiednich współczynników częściowych. Należy posłużyć się strzałkami wypisanymi w linii przypadków obliczeniowych, i podążając kolumnami w dół odpowiednio dla oddziaływań, cech materiałowych i skutków dobieramy odpowiednie wartości. Przykładowo dla DA2  $\gamma_{R;v} = 1,4$ , natomiast dla DA1/2  $\gamma_{c'} = 1,25$ .

# Rozdział 3

## Ława szeregową

W przypadku obciążenia ławy fundamentowej zestawem sił skupionych przekazywanych przez np. słupy, możemy mówić o ławie szeregową. Przedstawione zostaną praktyczne sposoby rozwiązywania zadań ław szeregowych w różnych konfiguracjach za pomocą procedur numerycznych jak i popularnych programów obliczeniowych do statyki układów prętowych. W kursie niniejszym przejdziemy przez praktyczne zastosowania nowoczesnych technologii projektowania fundamentów z uwzględnieniem komputerowych technik obliczeniowych. Obliczenia przeprowadzać będziemy w kilku etapach, opisanych w podrozdziałach niniejszego opracowania.

### 3.1 Definicja zadania

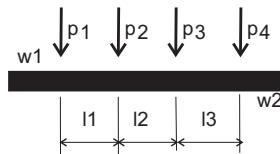
Omówione zostaną dwa przykłady praktyczne, różniące się pomiędzy sobą miąższością warstwy gruntu pomiędzy fundamentem a skałą. Fundament zostanie wykonany zgodnie z rys. 3.1 Proponuje się stosowanie następującego algorytmu obliczeniowego:

1. Wstępne przyjęcie wymiarów ławy, związane z ograniczeniami geometrycznymi, wymaganiami sztywności,
2. Wyznaczenie optymalnej długości wsporników na końcach ławy,
3. Obliczenie niezbędnej szerokości podstawy,
4. Kontrola nośności żelbetu,
5. Wybór sposobu pracy podłoża,
6. Wyznaczenie wartości momentów i sił tnących na końcach belki od wszystkich sił skupionych,
7. Wyznaczenie wartości momentów i sił tnących na końcach belki od jednostkowych sił fikcyjnych,

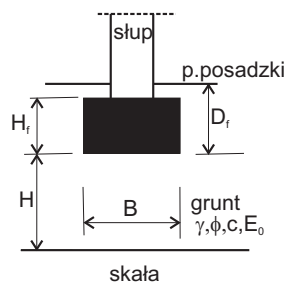
8. Znalezienie wartości sił fikcyjnych,
9. Zsumowanie wpływu sił fikcyjnych i rzeczywistych w interesujących nas przekrojach ławy,
10. Wymiarowanie żelbetu.

### 3.1.1 Wstępne przyjęcie wymiarów ławy, związane z ograniczeniami geometrycznymi, wymaganiami sztywności

Wymiary wstępnie przyjmujemy według następujących założeń: przekrój ławy prostokątny o wysokości równej 15% rozpiętości najdłuższego przęsła, szerokość przekroju nie może być mniejsza niż szerokość słupa oraz dwie 0.1m odsadzki z obu jego stron. Przykładowe sytuacje ujmujące zagadnienie od strony warunków geotechnicznych i konstrukcyjnych pokazano na rys. 3.2 i rys. 3.3



Rysunek 3.1: Schemat obciążenia ławy słupami.



Rysunek 3.2: Przekrój przez ławę wraz z warstwami podłoża typu A.

### 3.1.2 Wyznaczenie optymalnej długości wsporników na końcach ławy

W celu zminimalizowania sił wewnętrznych stosujemy wsporniki z obu końców ławy. Wsporniki optymalizujemy pod względem momentów przęsłowych i podporowych liczonych z założeniem równomiernego odporu podłoża równego

$$q_{wst} = \frac{\sum_{i=1}^N P_i}{w_1 + w_2 + \sum_{j=1}^{N-1} l_j}$$

W kolejnych krokach obliczeniowych momenty w przęsłowe powinny znaleźć. Dlatego optymalny wspornik to taki w którym  $M_{max}/M_{min} \approx 0.15$ . Zasadę wyznaczania wartości sił wewnętrznych dla symetrycznego schematu obciążeń oraz długości przęseł przedstawiono na rys. 3.4 oraz 3.5

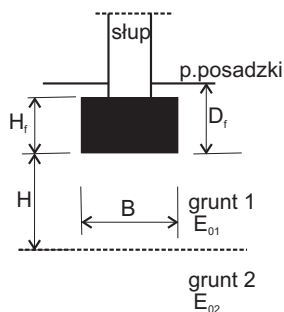
Wykresy wartości sił wewnętrznych dla wspornika o długości optymalnej pokazano na rys. 3.6 oraz rys. 3.7.

### 3.1.3 Obliczenie niezbędnej szerokości podstawy

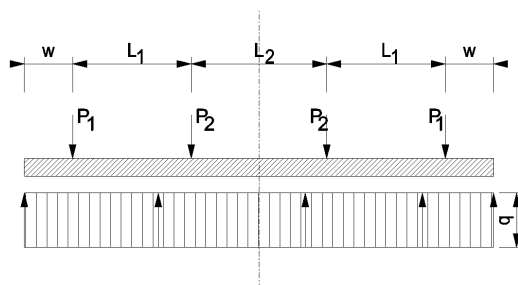
Niezbędną szerokość ławy  $B$  znając już długość wsporników i sumaryczne obciążenie wyznaczamy zgodnie z EC7 jak przedstawiono w rozdziale traktującym o nośności podłoża.

### 3.1.4 Wybór sposobu pracy podłoża

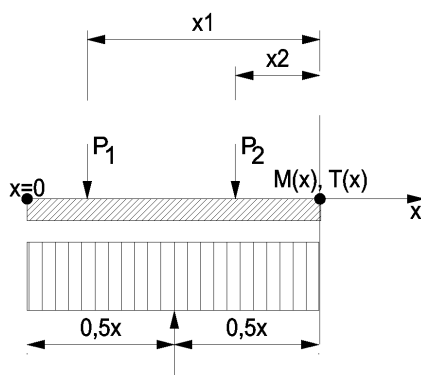
W zależności od odległości podstawy fundamentu (poziomu posadowienia) od warstw nieodkształcalnego gruntu takiego jak podłoże skalne, można wyróżnić przypadki:



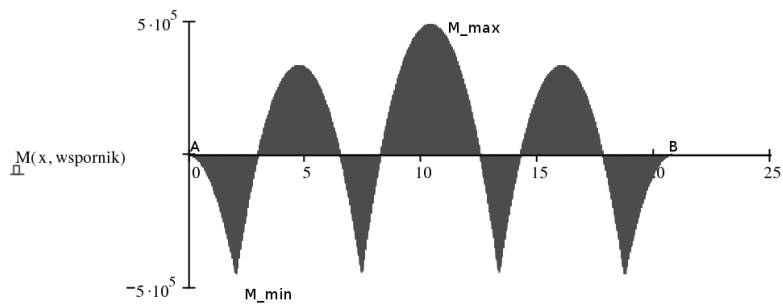
Rysunek 3.3: Przekrój przez ławę wraz z warstwami podłoża typu B.



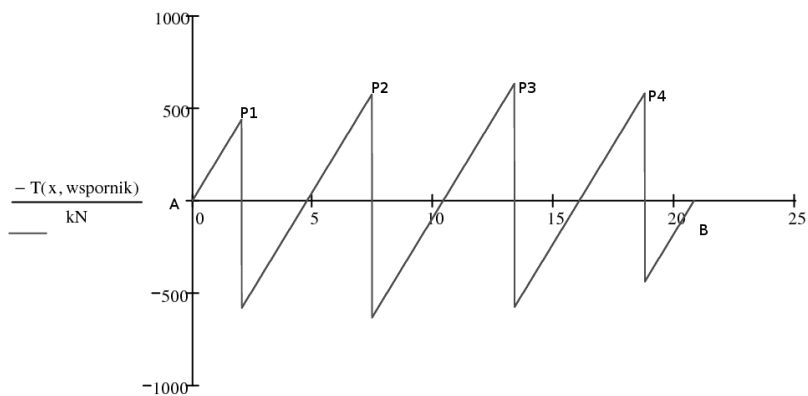
Rysunek 3.4: Schemat symetrycznego obciążenia ławy siłami.



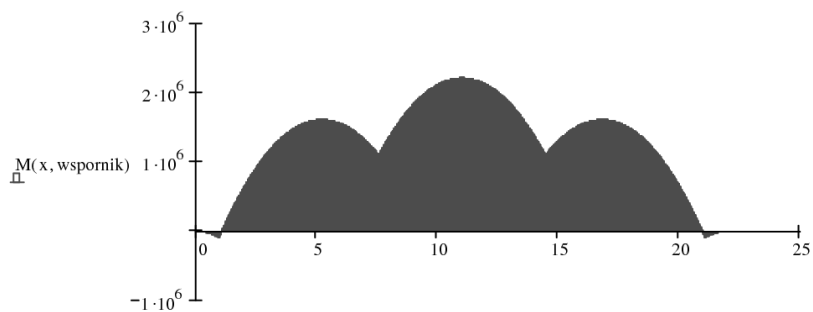
Rysunek 3.5: Wyznaczanie wartości sił wewnętrznych w ławie.



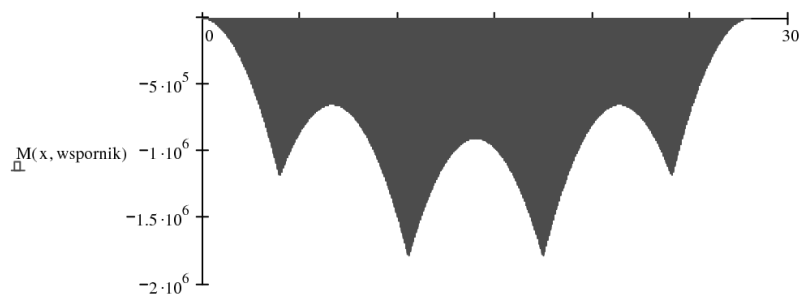
Rysunek 3.6: Wykres momentów dla wspornika o optymalnej długości.



Rysunek 3.7: Wykres sił tnących dla wspornika o optymalnej długości.



Rysunek 3.8: Wykres momentów dla wspornika o zbyt małej długości.



Rysunek 3.9: Wykres momentów dla wspornika o zbyt dużej długości.



W podłoża Winklera dla  $H < 0.25B$  pokazany na rys. 3.2, gdzie wartość współczynnika sztywności podłoża wyznacza się z wzoru:

$$C = \frac{M_0}{H}$$

rozwiązanie którego opisano w rozdziale 3.1.5

PS podłoża Winklera dla  $0.25B \leq H < 1.5B$  pokazany na rys. 3.2, gdzie wartość współczynnika sztywności podłoża wyznacza się z wzoru:

$$C = \frac{E_0}{(1 - \nu^2)B\omega_{sr}}$$

rozwiązanie którego opisano w rozdziale 3.1.5

1. podłoża jako półprzestrzeni sprężystej dla  $H \geq 1.5B$ , której ogólne rozwiązanie podano w kolejnym podrozdziale a przedstawiono na rys. 3.3

W wzorach powyższych oznaczono:

- $B$  szerokość podstawy fundamentu,
- $H$  miąższość warstwy odkształcalnej,
- $M_0$  edometryczny moduł ściśliwości pierwotnej,
- $E_0$  odpowiadający  $M_0$  moduł sprężystości gruntu,
- $\nu$  współczynnik Poisson'a dla gruntu,
- $\omega_{sr}$  wartość odczytywana z rys. 3.10.

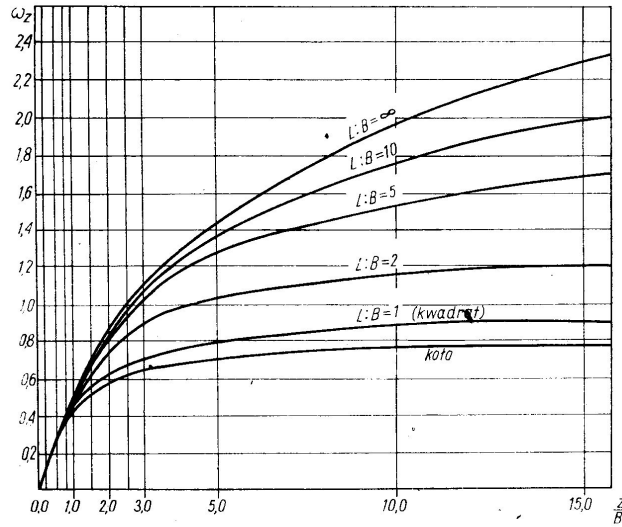
### 3.1.5 Model Winklera

Schemat modelu pokazano na rys. 3.11

Definiujemy wartość pomocniczą opisaną wzorem:

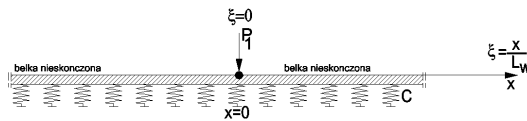
$$L_w = \sqrt[4]{\frac{4E_{betonu} * I}{B * C}} \quad (3.1)$$

- $B$  szerokość podstawy fundamentu,
- $C$  cecha sztywności podłoża,
- $I$  moment bezwładności przekroju dla prostokątnego  $I = 0,0833B \cdot H_f^3$  gdzie  $H_f$  oznacza wysokość ławy fundamentowej,
- $E_{betonu}$  moduł sprężystości betonu.



Nomogram do wyznaczania współczynników  $\omega_2$  (przy  $\nu_0 = 0,3$ )

Rysunek 3.10: Nomogram do wyznaczania wartości  $\omega_s r$ .



Rysunek 3.11: Schemat współpracy podłoża z fundamentem w modelu Winklera.

W celu uproszczenia zapisu równań dokonamy jeszcze przeskalowania długości belki  $x$ , i w dalszych rozważaniach posługiwac będziemy się współrzędną bezwymiarową określoną jako:

$$\xi = \frac{x}{L_w}$$

Dla podłoża Winklera można zapisać zamkniętą postać rozwiązania linii ugięć, obrotów momentów i sił tnących dla siły skupionej działającej w punkcie  $\xi = 0$  dla belki nieskończenie długiej. Poniżej przedstawiono wzory oraz ilustracje na rysunkach: 3.12, 3.13, 3.14.

$$\eta(\xi) = \exp(-\xi)(\cos \xi + \sin \xi) \quad (3.2)$$

$$y(\xi) = \frac{P}{2B * C * L_w} \eta(\xi) \quad (3.3)$$

$$r(\xi) = \frac{P}{2L_w} \eta(\xi) \quad (3.4)$$

$$M(\xi) = \frac{P * L_w}{4} \exp(-\xi)(\cos \xi - \sin \xi) \quad (3.5)$$

$$Q(\xi) = \frac{-P}{2} \exp(-\xi)(\cos \xi) \quad (3.6)$$

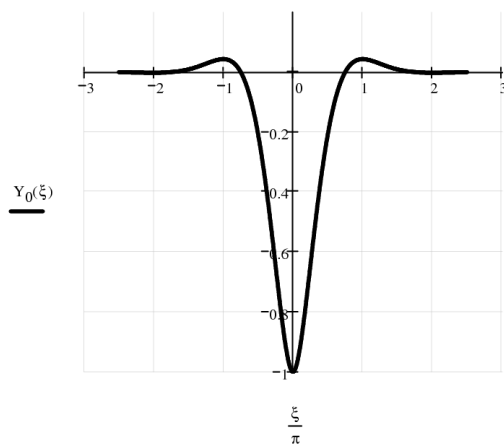
gdzie oznaczono:

- $\eta(\xi)$  funkcja pomocnicza,
- $y(\xi)$  ugięcie osi belki nieskończonej, funkcja parzysta,
- $r(\xi)$  krzywizna osi belki nieskończonej, funkcja parzysta,
- $Q(\xi)$  siły tnące w przekroju belki nieskończonej, funkcja nieparzysta,
- $M(\xi)$  momenty zginające w przekroju belki nieskończonej, funkcja parzysta,
- $P$  siła która wywołuje wszystkie powyższe efekty w belce.

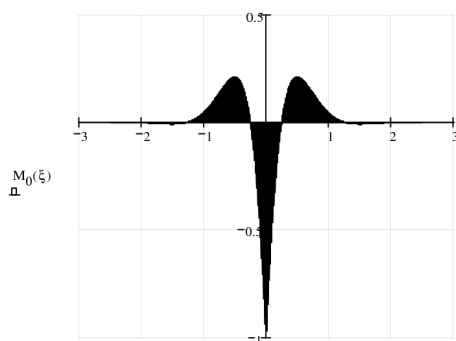
Dla belki nieskończonej możemy zgodnie z zasadą superpozycji sumować siły w przekrojach od wszystkich wpływów zewnętrznych, przykład można zobaczyć na rys. 3.15 oraz rys. 3.17.

### 3.1.6 Metoda Bleicha dla modelu Winklera

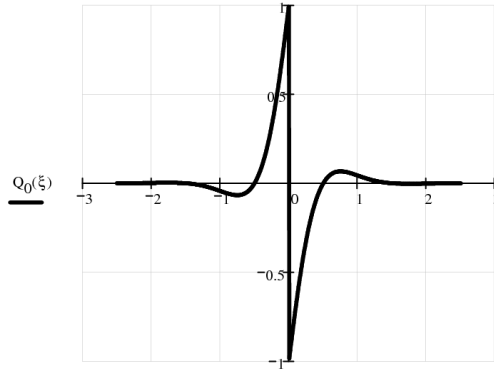
Metoda polega na wprowadzeniu dodatkowych sił fikcyjnych  $(T_1, T_2, T_3, T_4)^T$  poza belką, w niedużej odległości od jej końców, o wartościach tak dobranych aby spełnione były warunki brzegowe na końcach belki. Warunki brzegowe w naszym przypadku to suma momentów i sił tnących powinna wynosić zero na obu krańcach belki. Przyjęcie sił fikcyjnych pokazano na rysunkach: 3.18, 3.19.



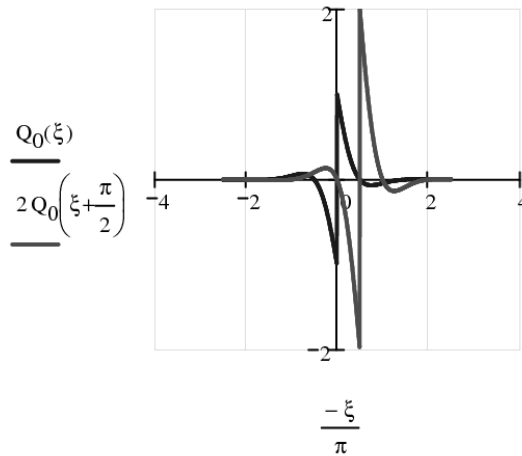
Rysunek 3.12: Ugięcia w belce nieskończonej od siły skupionej.



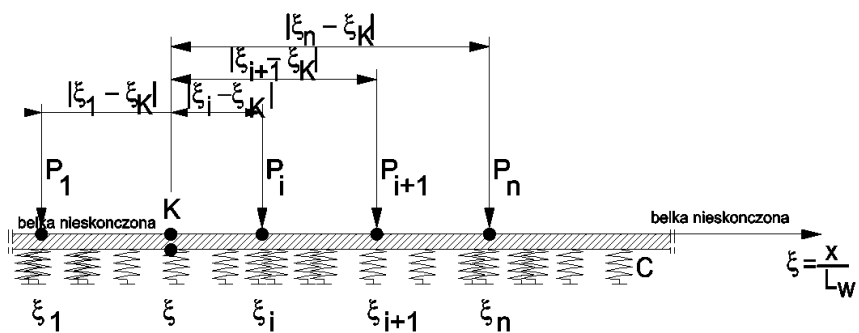
Rysunek 3.13: Momenty w belce nieskończonej od siły skupionej.



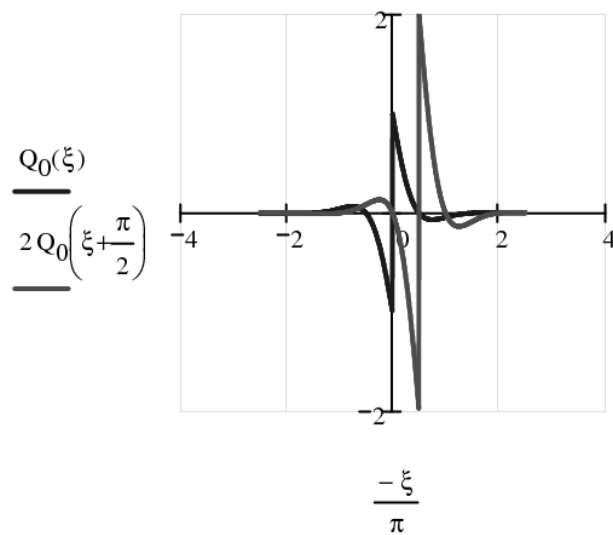
Rysunek 3.14: Siły tnące w belce nieskończonej od siły skupionej.



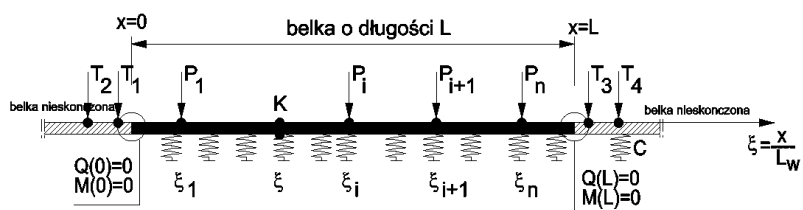
Rysunek 3.15: Zasada superpozycji wpływów w belce nieskończonej dla sił tnących.



Rysunek 3.16: Oznaczenia w trakcie sumowania wpływu od sił.

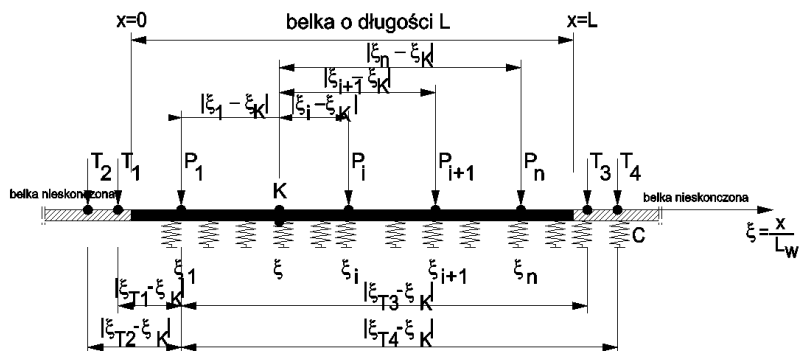


Rysunek 3.17: Zasada superpozycji wpływów w belce nieskończonej dla momentów.



Rysunek 3.18: Warunki brzegowe i siły fikcyjne T.





Rysunek 3.19: Oznaczenie odległości od sił fikcyjnych.

Wartości sił fikcyjnych nie są znane, zauważmy jednak, że zależność wartości momentów i sił tnących w punktach końcowych belki (i nie tylko) zależą liniowo od wartości sił  $T_i$ , stąd ich wpływ wyznaczmy jak dla sił jednostkowych, a wartość obliczymy z następującego układu równań liniowych:

$$Gt + r = w \quad (3.7)$$

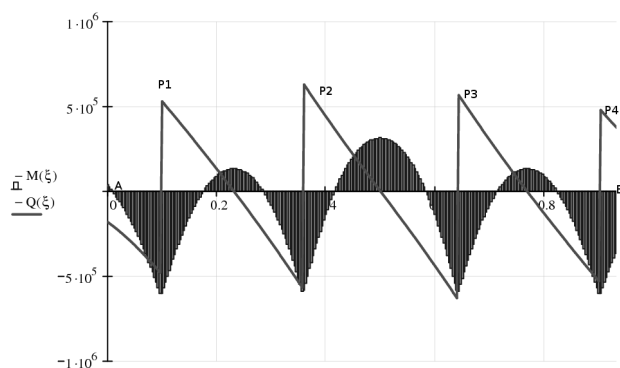
gdzie oznaczono:

- $t = (T_1, T_2, T_3, T_4)^T$ ,
- $G_1 = (M_A(T_1), M_A(T_2), M_A(T_3), M_A(T_4))$ ,
- $G_2 = (M_B(T_1), M_B(T_2), M_B(T_3), M_B(T_4))$ ,
- $G_3 = (Q_A(T_1), Q_A(T_2), Q_A(T_3), Q_A(T_4))$ ,
- $G_4 = (Q_B(T_1), Q_B(T_2), Q_B(T_3), Q_B(T_4))$ ,
- $M_A(T_i)$  oznacza moment od jednostkowej sił fikcyjnej  $T_i$  w punkcie A belki,  $Q_A(T_i)$  oznacza siłę tnącą od jednostkowej wartości siły fikcyjnej  $T_i$  w punkcie A belki. Podobnie postępujemy dla punktu B,
- $r = (0, 0, 0, 0)^T$ ,
- $w = (M_A(P_i), M_B(P_i), Q_A(P_i), Q_B(P_i))^T$ ,
- $M_A(P_i)$  oznacza sumaryczny moment od wszystkich sił rzeczywistych  $P_i$  w punkcie A belki,
- $M_B(P_i)$  oznacza sumaryczny moment od wszystkich sił rzeczywistych  $P_i$  w punkcie B belki,  $Q_A(P_i)$  oznacza sumaryczną siłę tnącą od wszystkich sił rzeczywistych  $P_i$  w punkcie A belki. Podobnie postępujemy dla punktu B.

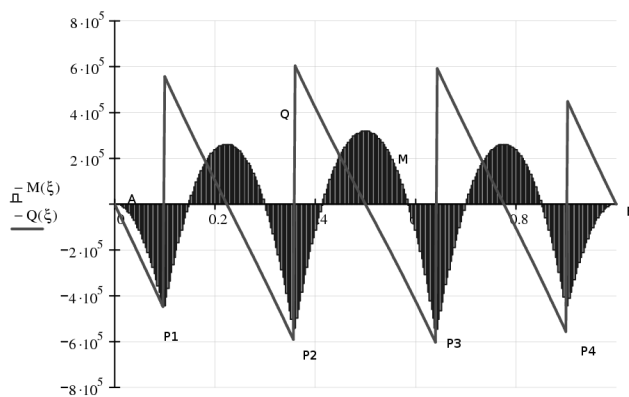
Rozwiązaniem układu równań są cztery wartości sił fikcyjnych, czyli wektor  $t$ . Na rysunku 3.20 pokazano sumaryczną wartość sił wewnętrznych od wszystkich sił rzeczywistych, jest to rozwiązanie dla belki nieskończenie długiej. W naszym przypadku belka będzie miała skończoną długość, co uwzględnimy za pomocą warunków brzegowych (jak pokazano powyżej). Po zsumowaniu oddziaływań wszystkich sił w każdym z przekrojów belki (zarówno sił rzeczywistych jak i fikcyjnych) uzyskujemy właściwe wartości  $M, Q$  w belce. Rys. 3.21 pokazuje siły po uwzględnieniu wpływu sił fikcyjnych. Różnicę pomiędzy modelem Winklera, a równomiernym rozkładem naprężeń pod fundamentem pokazuje rys. 3.22

### 3.1.7 Półprzestrzeń sprężysta

W przypadku gdy podłoże pod fundamentem musimy traktować jak półprzestrzeń sprężystą (ze względu na miąższość warstwy), mamy kilka możliwości postępowania. Wybrane sposoby zostaną omówione w kolejnych częściach niniejszych materiałów.



Rysunek 3.20: Niespełnienie warunków brzegowych na końcach belki.

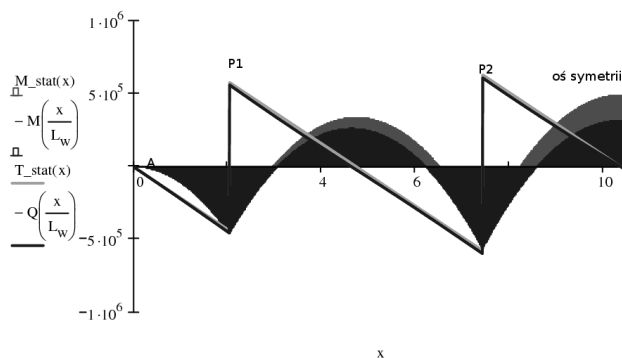


Rysunek 3.21: Sumaryczny wpływ sił rzeczywistych i fikcyjnych.

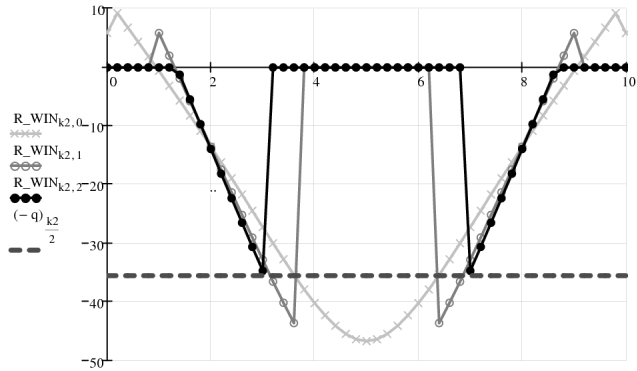
## Półprzeźrenie rozwiązanie w MES

Zbudować rozwiązanie oparte o metodę elementów skończonych MES, bez uwzględnienia współpracy z gruntem jest zadaniem dobrze opracowanym w literaturze. Zaletą przedstawionej metody jest duża elastyczność kodu, co powoduje łatwość dopasowania go do różnorodnych potrzeb tj.: modeli gruntu sprężysto-plastycznych, warunków współpracy na kontakcie grunt - fundament. Pozwala uwzględnić brak sił rozciągających na kontakcie oraz dodatkowe oddziaływania związane z ssaniem i inne typy złożonych warunków gruntowych przy możliwej zmienności cech zarówno z głębokością jak i na długości belki. W szczególności MES zmodyfikowana na potrzeby obliczania ławy szeregowej pozwala symulować utratę nośności gruntu pod fundamentem oraz zmianę sztywności belki żelbetowej w zależności od wartości momentu zginającego. Różnicą pomiędzy MES przedstawionym poniżej a stosowanym w programach do statyki prętowej jest właśnie uwzględnienie współpracy fundamentu z gruntem modelowanym jako półprzeźrenie. Program wykonuje rozwiązania w kolejnych krokach. Przykład dla kolejnych iteracji pokazano na rysunku 3.23 w miejsce reakcji wprowadzane są siły, widać wyraźnie znaczący wzrost wartości momentów rys. 3.24, przemieszczeń rys. 3.26, różnią się rozkładem siły tnącej w belce.

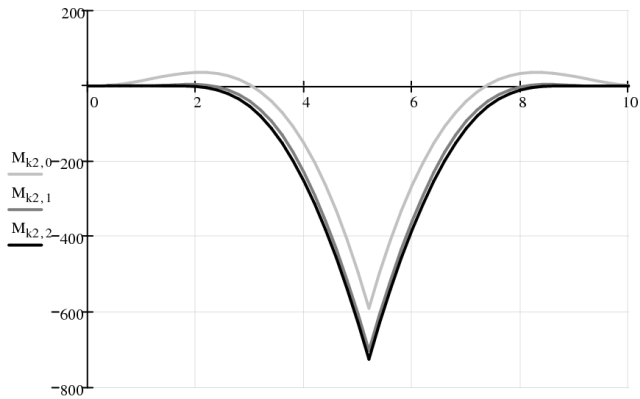
Poniżej przedstawiony zostanie uniwersalny algorytm rozwiązania metodą elementów brzegowych dla opisu półprzeźreni gruntowej skorelowaną z metodą elementów skończonych w przypadku opisu belki. Punktem wspólnym obu rozwiązań jest pionowe przemieszczenie od jednostkowej siły w węzłach elementów i na brzegu gruntu. Ma-



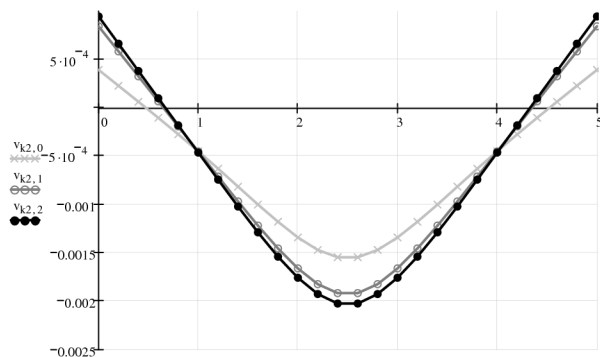
Rysunek 3.22: Porównanie rozwiązań dla belki o nieskończonej sztywności (wymiarowanie wstępne) i dla modelu Winkler'a podłoża oraz belki o skończonej sztywności.



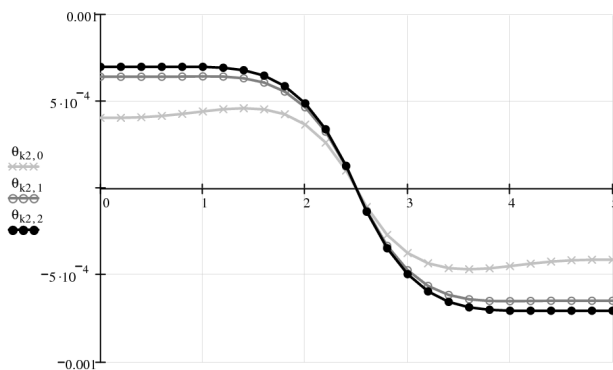
Rysunek 3.23: Procedura iteracyjnej zamiany podpór sprężystych na siły skupione przedstawiona jest na wykresie odporów podłoża.



Rysunek 3.24: Wykres momentów zginających w belce podczas omawianej procedury iteracyjnej.



Rysunek 3.25: Wykres ugięć osi belki podczas omawianej procedury iteracyjnej.



Rysunek 3.26: Wykres zmian krzywizny osi belki podczas omawianej procedury iteracyjnej.

cierz sztywności elementu ma postać:

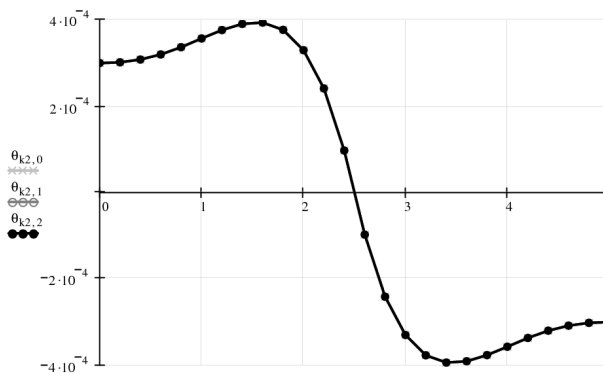
$$k(EI, L) = \begin{bmatrix} \frac{12}{L^3} & \frac{6}{L^2} & \frac{-12}{L^3} & \frac{6}{L^2} \\ \frac{6}{L^2} & \frac{L}{4} & \frac{-6}{L^2} & \frac{L}{2} \\ \frac{-12}{L^3} & \frac{-6}{L^2} & \frac{12}{L^3} & \frac{-6}{L^2} \\ \frac{6}{L^2} & \frac{L}{2} & \frac{-6}{L^2} & \frac{L}{4} \end{bmatrix} EI \quad (3.8)$$

Macierz powiązań pomiędzy elementami ma postać (dla kolejno po sobie następujących elementów, pokazano kilka pierwszych kolumn)

$$B(0) = \begin{bmatrix} 1 & 0 & 0 & 0 & 0 & 0 & 0 & 0 & 0 & \dots \\ 0 & 1 & 0 & 0 & 0 & 0 & 0 & 0 & 0 & \dots \\ 0 & 0 & 1 & 0 & 0 & 0 & 0 & 0 & 0 & \dots \\ 0 & 0 & 0 & 1 & 0 & 0 & 0 & 0 & 0 & \dots \end{bmatrix} \quad (3.9)$$

$$B(1) = \begin{bmatrix} 0 & 1 & 0 & 0 & 0 & 0 & 0 & 0 & 0 & \dots \\ 0 & 0 & 1 & 0 & 0 & 0 & 0 & 0 & 0 & \dots \\ 0 & 0 & 0 & 1 & 0 & 0 & 0 & 0 & 0 & \dots \\ 0 & 0 & 0 & 0 & 1 & 0 & 0 & 0 & 0 & \dots \end{bmatrix} \quad (3.10)$$

Kolejne elementy badane mają macierze powiązań tworzone analogicznie do dwu pierwszych.



Rysunek 3.27: Wykres zmian krzywizny belki dla podłoża idealnie sprężystego.

Macierz sztywności układu ma więc postać:

$$K = \sum_{i=0}^{i=N-1} B(i)^T k(EI_i, L_i) B(i) \quad (3.11)$$

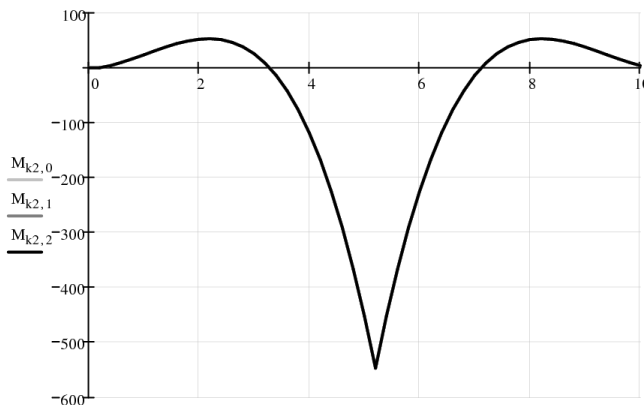
Dla półprzestrzeni mamy następującą postać macierzy  $A = [a_{i,j}]$ , daną za pomocą elementów składowych:

$$a_{i,j} = \frac{2(1-\nu^2)/\pi}{b_i L_i E_i} \int_0^{b_i/2} \int_{L2(i,j)}^{L1(i,j)} \frac{d\xi d\eta}{\sqrt{\eta^2 + \xi^2}} \quad (3.12)$$

Rozwiązanie układu równań ma więc postać:

$$w = (K + A^{-1})^{-1}v \quad (3.13)$$

rezultaty rozwiązania układu równań można zobaczyć na rysunku: 3.27 i następujących.



Rysunek 3.28: Wykres momentów wewnętrznych belki dla podłoża idealnie sprężystego.

### Półprzestrzeń rozwiązanie typu BLACK BOX

Rozwiązanie to bazuje na wynikach uzyskanych z poprzedniego rozdziału, dla belki nieskończonej na podłożu sprężystym, zostały one zapisane w postaci tabelarycznej 3.29,3.30,3.31 dla wybranych wartości  $\beta$ . Za pomocą dopasowania hiperpłaszczyzny do cytowanych można uzyskać funkcję w postaci rozwiązania przybliżonego. Dopasowanie dokonujemy za pomocą minimalizowania kwadratów błędów w punktach znanych empirycznie tj.:MNK.

Proponowane metody dopasowania to wielomianowa o znacznej ilości wyrazów co pociąga za sobą duże ilości współczynników gdzie dla sił postać rozwiązania ( $pb = 0..4$ ,



$\xi$	$Q'$	$M'$	$r'$	$\beta$
-5.6	0.000	0.000	0.000	0.025
-5.3	0.000	0.000	0.000	0.025
-5.1	0.000	0.000	0.000	0.025
-4.9	0.000	0.000	0.000	0.025
-4.7	0.000	0.000	-0.001	0.025
-4.4	0.000	-0.001	-0.001	0.025
-4.2	-0.001	-0.002	-0.001	0.025
-4.0	-0.001	-0.003	-0.001	0.025
-3.8	-0.001	-0.005	0.000	0.025
-3.6	-0.001	-0.007	0.001	0.025
-3.3	0.000	-0.009	0.003	0.025
-3.1	0.002	-0.008	0.007	0.025
-2.9	0.004	-0.005	0.011	0.025
-2.7	0.008	0.004	0.017	0.025
-2.4	0.013	0.022	0.023	0.025
-2.2	0.019	0.051	0.028	0.025
-2.0	0.026	0.094	0.029	0.025
-1.8	0.030	0.152	0.021	0.025
-1.6	0.030	0.220	-0.002	0.025
-1.3	0.020	0.287	-0.046	0.025
-1.1	-0.007	0.331	-0.120	0.025
-0.9	-0.058	0.316	-0.229	0.025
-0.7	-0.140	0.188	-0.373	0.025
-0.4	-0.260	-0.124	-0.539	0.025
-0.2	-0.414	-0.702	-0.694	0.025
0.0	-0.500	-1.624	-0.770	0.025

$\xi$	$Q'$	$M'$	$r'$	$\beta$
0.0	0.500	-1.624	-0.770	0.025
0.2	0.260	-0.702	-0.694	0.025
0.4	0.140	-0.124	-0.539	0.025
0.7	0.058	0.188	-0.373	0.025
0.9	0.007	0.316	-0.229	0.025
1.1	-0.020	0.331	-0.120	0.025
1.3	-0.030	0.287	-0.046	0.025
1.6	-0.030	0.220	-0.002	0.025
1.8	-0.026	0.152	0.021	0.025
2.0	-0.019	0.094	0.029	0.025
2.2	-0.013	0.051	0.028	0.025
2.4	-0.008	0.022	0.023	0.025
2.7	-0.004	0.004	0.017	0.025
2.9	-0.002	-0.005	0.011	0.025
3.1	0.000	-0.008	0.007	0.025
3.3	0.001	-0.009	0.003	0.025
3.6	0.001	-0.007	0.001	0.025
3.8	0.001	-0.005	0.000	0.025
4.0	0.001	-0.003	-0.001	0.025
4.2	0.000	-0.001	-0.001	0.025
4.4	0.000	0.000	-0.001	0.025
4.7	0.000	0.000	-0.001	0.025
4.9	0.000	0.001	-0.001	0.025
5.1	0.000	0.001	0.000	0.025
5.3	0.000	0.000	0.000	0.025
5.6	0.000	0.000	0.000	0.025

Rysunek 3.29: Tabela zawiera wartości funkcji  $Q'(\xi, \beta)$ ,  $M'(\xi, \beta)$  oraz  $r'(\xi, \beta)$  gdzie odpowiednio  $\beta = \frac{B}{2L_{GP}}$  oraz  $\xi = x/L_{GP}$ .

$\xi$	$Q'$	$M'$	$r'$	$\beta$
-5.6	0.000	0.000	0.000	0.150
-5.3	0.000	0.000	-0.002	0.150
-5.1	-0.001	-0.001	-0.001	0.150
-4.9	-0.001	-0.002	0.000	0.150
-4.7	0.000	-0.003	0.001	0.150
-4.4	0.000	-0.004	0.003	0.150
-4.2	0.001	-0.003	0.004	0.150
-4.0	0.003	0.000	0.007	0.150
-3.8	0.005	0.006	0.009	0.150
-3.6	0.008	0.017	0.012	0.150
-3.3	0.011	0.034	0.015	0.150
-3.1	0.015	0.058	0.018	0.150
-2.9	0.019	0.091	0.020	0.150
-2.7	0.024	0.134	0.019	0.150
-2.4	0.027	0.186	0.016	0.150
-2.2	0.029	0.246	0.007	0.150
-2.0	0.027	0.310	-0.008	0.150
-1.8	0.020	0.370	-0.033	0.150
-1.6	0.004	0.414	-0.071	0.150
-1.3	-0.024	0.422	-0.123	0.150
-1.1	-0.066	0.370	-0.190	0.150
-0.9	-0.127	0.224	-0.273	0.150
-0.7	-0.208	-0.058	-0.368	0.150
-0.4	-0.312	-0.521	-0.466	0.150
-0.2	-0.434	-1.215	-0.550	0.150
0.0	-0.500	-2.180	-0.590	0.150

$\xi$	$Q'$	$M'$	$r'$	$\beta$
0.0	0.500	-2.180	-0.590	0.150
0.2	0.312	-1.215	-0.550	0.150
0.4	0.208	-0.521	-0.466	0.150
0.7	0.127	-0.058	-0.368	0.150
0.9	0.066	0.224	-0.273	0.150
1.1	0.024	0.370	-0.190	0.150
1.3	-0.004	0.422	-0.123	0.150
1.6	-0.020	0.414	-0.071	0.150
1.8	-0.027	0.370	-0.033	0.150
2.0	-0.029	0.310	-0.008	0.150
2.2	-0.027	0.247	0.007	0.150
2.4	-0.024	0.186	0.016	0.150
2.7	-0.019	0.134	0.019	0.150
2.9	-0.015	0.091	0.020	0.150
3.1	-0.011	0.058	0.018	0.150
3.3	-0.008	0.034	0.015	0.150
3.6	-0.005	0.017	0.012	0.150
3.8	-0.003	0.006	0.009	0.150
4.0	-0.001	-0.001	0.006	0.150
4.2	-0.001	-0.004	0.004	0.150
4.4	0.000	-0.005	0.003	0.150
4.7	0.000	-0.005	0.001	0.150
4.9	0.001	-0.004	0.001	0.150
5.1	0.001	-0.003	0.000	0.150
5.3	0.000	-0.002	0.000	0.150
5.6	0.000	-0.001	-0.001	0.150

Rysunek 3.30: Tabela zawiera wartości funkcji  $Q'(\xi, \beta)$ ,  $M'(\xi, \beta)$  oraz  $r'(\xi, \beta)$  gdzie odpowiednio  $\beta = \frac{B}{2L_{GP}}$  oraz  $\xi = x/L_{GP}$ .

$\xi$	$Q'$	$M'$	$r'$	$\beta$
-6.4	0.000	0.000	0.000	0.300
-6.1	0.000	0.000	-0.001	0.300
-5.9	0.000	-0.001	0.000	0.300
-5.6	0.000	-0.001	0.000	0.300
-5.3	0.000	-0.002	0.001	0.300
-5.1	0.000	-0.002	0.002	0.300
-4.8	0.001	-0.001	0.003	0.300
-4.6	0.002	0.002	0.005	0.300
-4.3	0.004	0.008	0.007	0.300
-4.1	0.006	0.019	0.009	0.300
-3.8	0.009	0.035	0.012	0.300
-3.6	0.013	0.059	0.014	0.300
-3.3	0.017	0.092	0.016	0.300
-3.1	0.021	0.136	0.017	0.300
-2.8	0.025	0.190	0.015	0.300
-2.5	0.027	0.254	0.009	0.300
-2.3	0.026	0.323	-0.003	0.300
-2.0	0.020	0.390	-0.024	0.300
-1.8	0.007	0.442	-0.054	0.300
-1.5	-0.019	0.459	-0.099	0.300
-1.3	-0.059	0.412	-0.158	0.300
-1.0	-0.118	0.262	-0.233	0.300
-0.8	-0.199	-0.038	-0.320	0.300
-0.5	-0.305	-0.546	-0.414	0.300
-0.3	-0.431	-1.321	-0.498	0.300
0.0	-0.500	-2.419	-0.539	0.300

$\xi$	$Q'$	$M'$	$r'$	$\beta$
0.0	0.500	-2.419	-0.539	0.300
0.3	0.305	-1.321	-0.498	0.300
0.5	0.199	-0.546	-0.414	0.300
0.8	0.118	-0.038	-0.320	0.300
1.0	0.059	0.262	-0.233	0.300
1.3	0.019	0.412	-0.158	0.300
1.5	-0.007	0.459	-0.099	0.300
1.8	-0.020	0.442	-0.054	0.300
2.0	-0.026	0.390	-0.024	0.300
2.3	-0.027	0.323	-0.003	0.300
2.5	-0.025	0.254	0.009	0.300
2.8	-0.021	0.190	0.015	0.300
3.1	-0.017	0.136	0.017	0.300
3.3	-0.013	0.092	0.016	0.300
3.6	-0.009	0.059	0.014	0.300
3.8	-0.006	0.035	0.012	0.300
4.1	-0.004	0.019	0.009	0.300
4.3	-0.002	0.008	0.007	0.300
4.6	-0.001	0.002	0.005	0.300
4.8	0.000	-0.001	0.003	0.300
5.1	0.000	-0.003	0.002	0.300
5.3	0.000	-0.003	0.001	0.300
5.6	0.000	-0.002	0.000	0.300
5.9	0.000	-0.001	0.000	0.300
6.1	0.000	-0.001	0.000	0.300
6.4	0.000	0.000	0.000	0.300

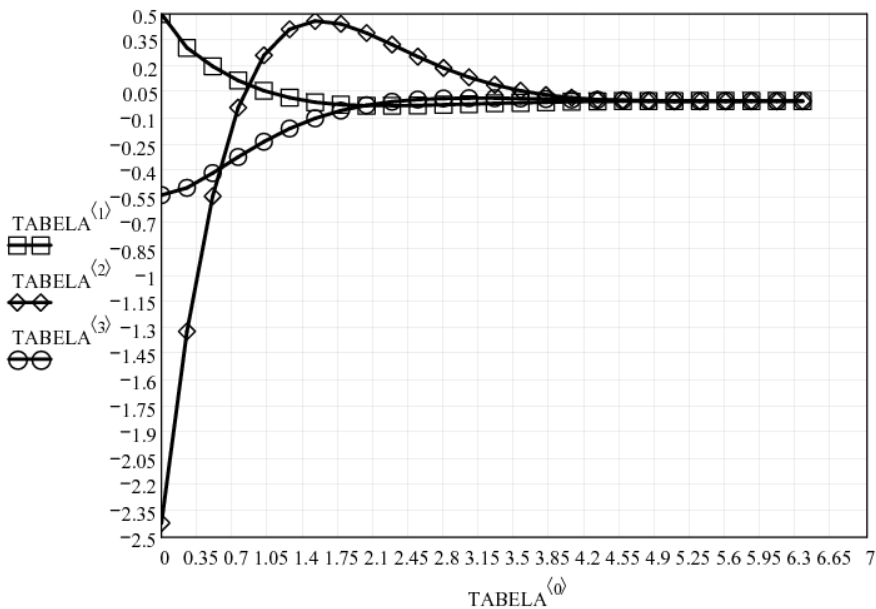
Rysunek 3.31: Tabela zawiera wartości funkcji  $Q'(\xi, \beta)$ ,  $M'(\xi, \beta)$  oraz  $r'(\xi, \beta)$  gdzie odpowiednio  $\beta = \frac{B}{2L_{GP}}$  oraz  $\xi = x/L_{GP}$ .

$px = 0..5$ ), natomiast  $a, b$  oznaczają wektory z współczynnikami:

$$Q(\xi, \beta) = ((\xi \geq 0) - (\xi < 0))e^{-|\xi-5|3(|\xi|>5)} \sum_{pb=0}^4 \sum_{px=0}^5 |\xi|^{px} \beta^{pb} a_{6pb+px} \quad (3.14)$$

odpowiednie formuły obliczeniowe dla momentów przedstawiono poniżej:

$$M(\xi, \beta) = 0.01e^{-|\xi-5|3(|\xi|>5)} \sum_{pb=0}^4 \sum_{px=0}^5 |\xi|^{px} \beta^{pb} b_{6pb+px} \quad (3.15)$$



Rysunek 3.32: Wykres bazowych funkcji do wyznaczania sił wewnętrznych wykonany na podstawie rezultatów MES. Na osi pionowej zaznaczono wykresy:  $TABELA^{<1>} \sim Q'$ ,  $TABELA^{<2>} \sim M'$  oraz  $TABELA^{<3>} \sim r'$  na osi poziomej mamy bezwymiarową współrzędną  $\xi$

Lepsze efekty dopasowania można uzyskać stosując funkcje o postaci:

$$M(\xi) = e^{-\xi}(a_0+a_1 \sin(\xi)+a_2 \cos(\xi)+a_3 \sin(2\xi)+a_4 \cos(2\xi)+a_5 \sin(3\xi)+a_6 \cos(3\xi)+...) \quad (3.16)$$

Po dopasowaniu kontynuujemy obliczenia jak w przykładzie z podłożem Winklera, pamiętając o podstawianiu w wszystkich miejscach zamiast funkcji analitycznej rozwiązania nasze dopasowanie uzyskane powyżej.

### Rozwiązanie z użyciem SOLDIS'a

Rozwiązanie to można uzyskać również stosując klasyczne programy do statyki prętów. Program SOLDIS jest multiplatformowym programem (kod napisano w języku Python) do zastosowań edukacyjnych bezpłatnym. Pobieramy lub instalujemy bezpośrednio ze strony producenta. Program jest darmowy, jednak pełną funkcjonalność uzyskuje po rejestracji. Zaletą programu jest natychmiastowa możliwość wykonania obliczeń przekroju żelbetowego zgodnie z normą PN-B-03264:2002, dla dowolnych belek o przekrojach: dwuteowych, teowych, skrzynkowych przy dobrym algorytmie automatycznego doboru zbrojenia. Na kolejnych rysunkach zdefiniowano zadanie belki na podłożu sprężystym. Szczegóły obsługi programu i zasady jego dystrybucji znajdują Państwo na stronach projektu. Najistotniejsza uwaga dotyczy faktu symulowania podłoża Winklera za pomocą podpór sprężystych:

1. wyznaczamy wartość  $C$ ,
2. wprowadzamy w programie SOLDIS belkę o długości naszej ławy,
3. dzielimy belkę na  $< 1.0$  metrowej szerokości elementy,
4. wprowadzamy na wszystkich węzłach podpory sprężyste o podatności równej

$$\frac{1}{C * B}$$

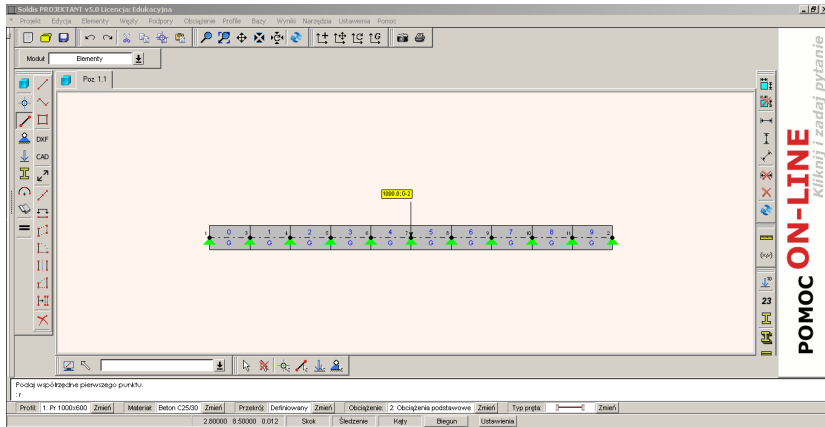
5. podczas obliczeń możemy kontrolować wartość sił w sprężynach, jeżeli przekroczą nośność graniczną, zastępujemy je siłą skupioną równą jej nośności,
6. po wykonaniu obliczeń przechodzimy do wymiarowania żelbetu.

Poniżej przedstawiono na rysunkach kolejne kroki postępowania 3.33,3.34,3.35,3.36,3.37.

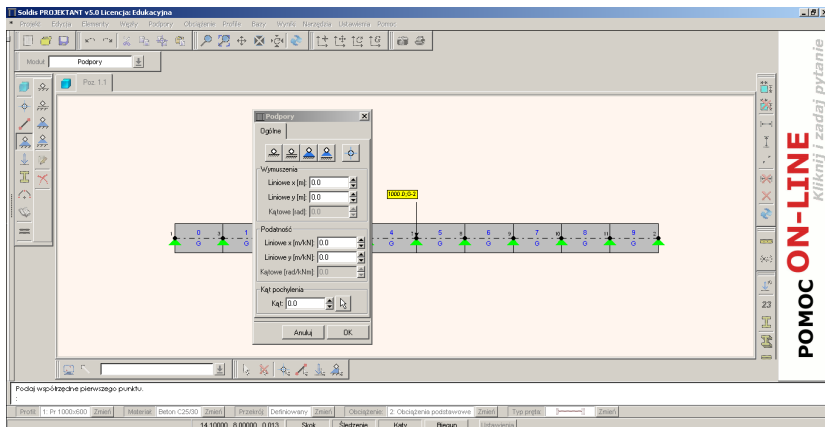
W programie Soldis, w prosty sposób można również uzyskać rozwiązania dla półprzestreni sprężystej. Konieczne jest wprowadzenie sprężyn o zmiennej sztywności. Wartości ich sztywności można odczytać z nomogramu pokazanego na rys. 3.38.

### Rozwiązanie numeryczne - program ABAQUS

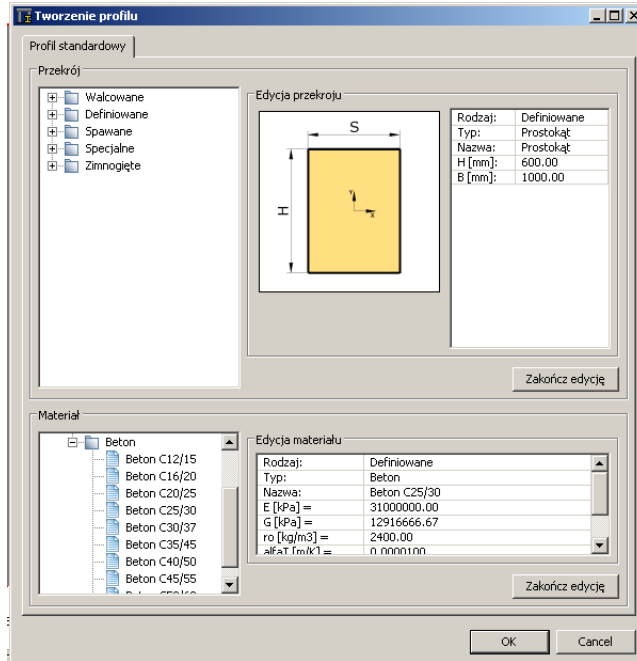
ABAQUS jest to uniwersalny program MES, zawierający olbrzymią ilość możliwości konfiguracji zadania, łączenia wielu fizycznych wpływów w jednym modelu (pole temperatur, ciśnienie porowe wody, oddziaływania grawitacyjne, elektromagnetyczne ...) Poniżej przedstawiłem zapis definiowania zadania w postaci ilustrowanych kroków i efektów. Przedstawione obliczenia w programie ABAQUS wykonane zostały w trakcie realizacji grantu we Wrocławskim Centrum Sieciowo Superkomputerowym.



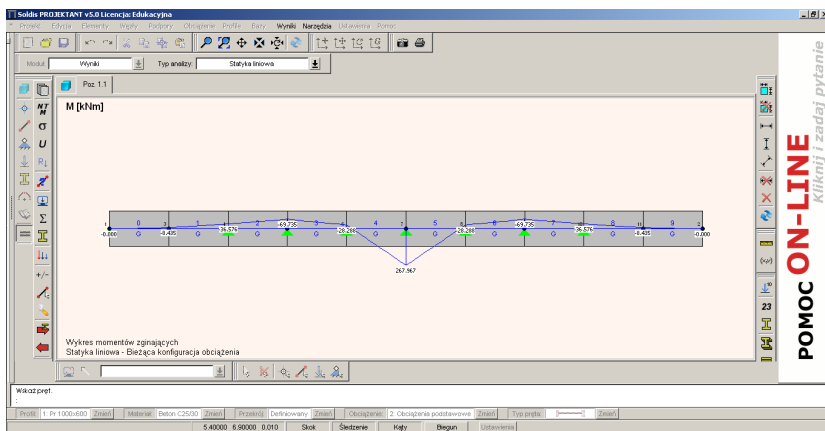
Rysunek 3.33: Definicja zadania w programie SOLDIS.



Rysunek 3.34: Okno definicji podpór.



Rysunek 3.35: Szeroka gama materiałów i profili.



Rysunek 3.36: Wyniki prezentowane są w sposób czytelny.

Kolejne etapy wprowadzania informacji o zadaniu wykonujemy wybierając pozycję z drzewa hierarchii zadania lub z okienka wyboru widocznego na ekranie 3.39 z napisem “Part”.

Skąd bierzemy programy? W pracy zaproponowano programy w wersjach do celów szkoleniowych i edukacyjnych, których to z zachowaniem postanowień i ograniczeń licencyjnych są dostępne na stronach:

SOLDIS <http://www.szajek.user.icpnet.pl/Software/SoldisOffice/download.html>

ABAQUS <http://www.budsoft.com.pl/Home/abaqus-dla-studentow>

<http://gid.cimne.upc.es/gid-plus/modules/commercial-modules>

<http://tochnog.sourceforge.net/>

ABC <http://www.pro-soft.gliwice.pl/>

[http://feazone.org/downloads.php?cat\\_id=1](http://feazone.org/downloads.php?cat_id=1)

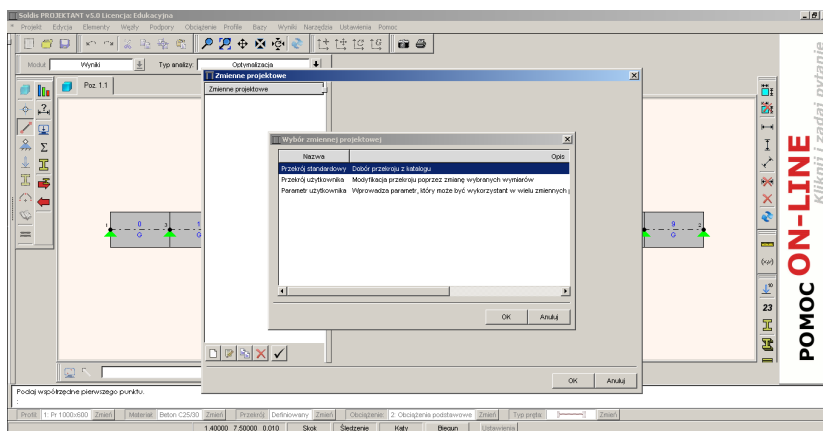
ROBOT [http://students.autodesk.com/?nd=download\\_center](http://students.autodesk.com/?nd=download_center)

NUMPY <http://numpy.scipy.org/>

<http://www.wolframalpha.com/input>

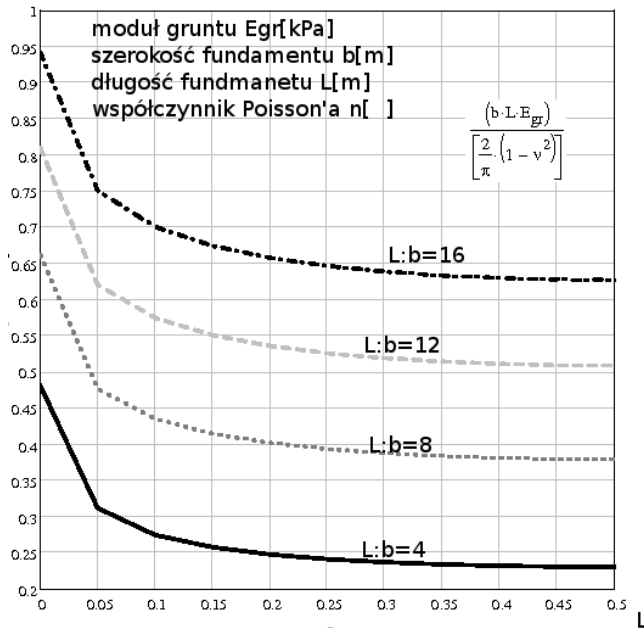
MATHCAD <http://wildeanalysis.co.uk/fea/software/mathcad/mathcad-free-trial>

Należy bezwzględnie przestrzegać ograniczeń licencyjnych do zakresu ich stosowania! Ilustracje działania programu ABAQUS wykonano dzięki uprzejmości Wrocławskiego

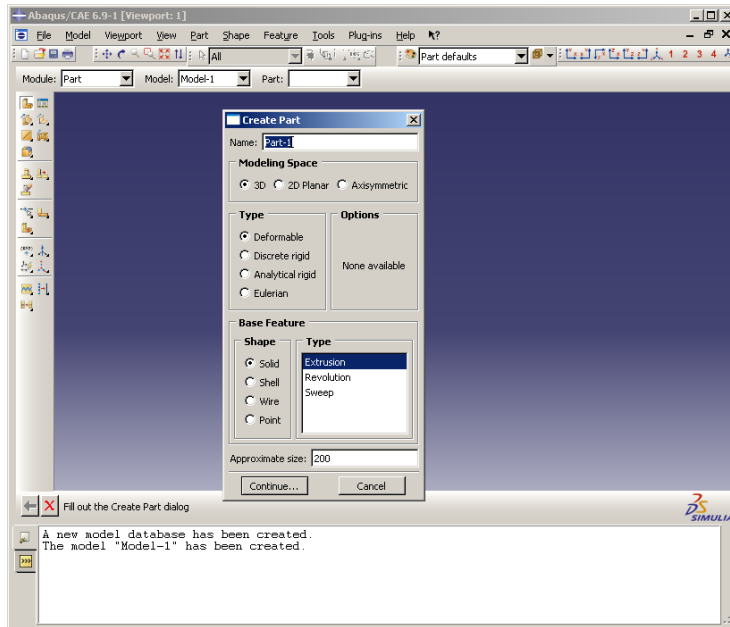


Rysunek 3.37: Program umożliwia optymalizację konstrukcji względem wybranych elementów.

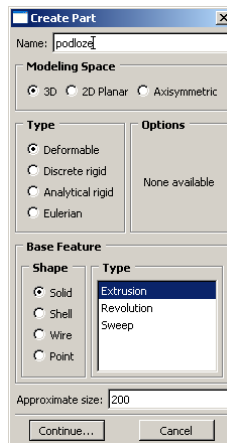




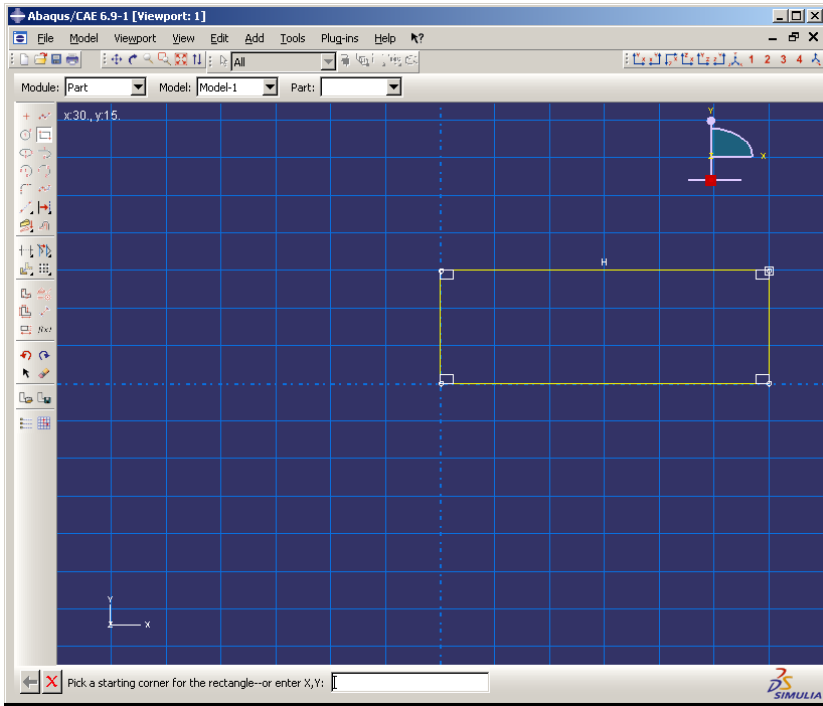
Rysunek 3.38: Nomogram wartości sztywności podpór sprężystych w programie SOLDIS.



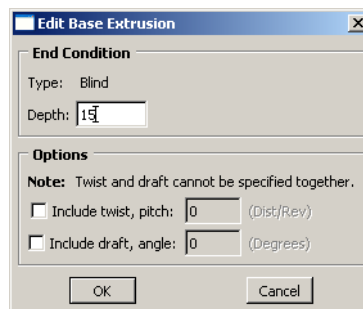
Rysunek 3.39: Ekran główny programu, początek definicji zadania.



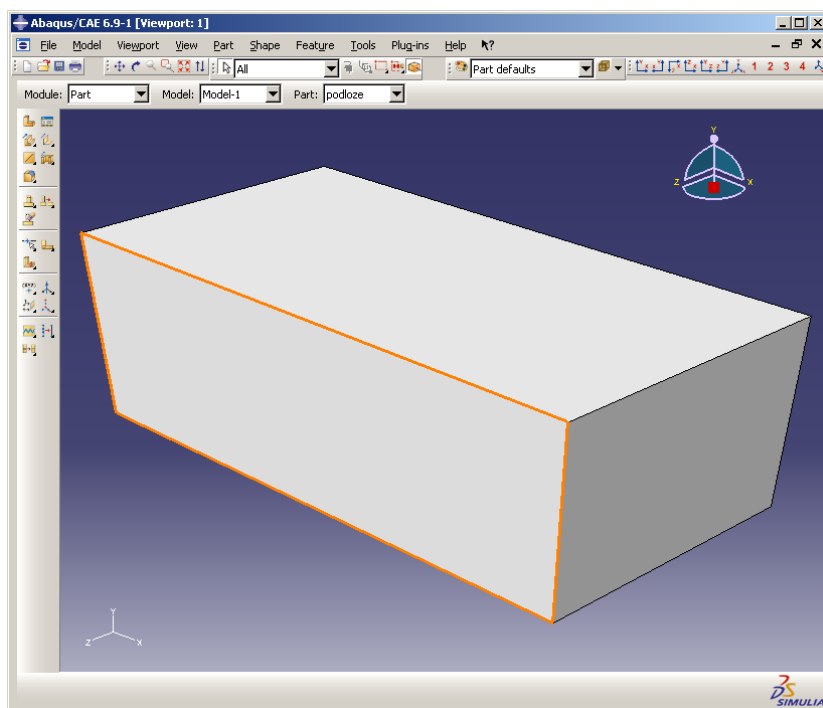
Rysunek 3.40: Definicja pierwszego elementu - podłoże.



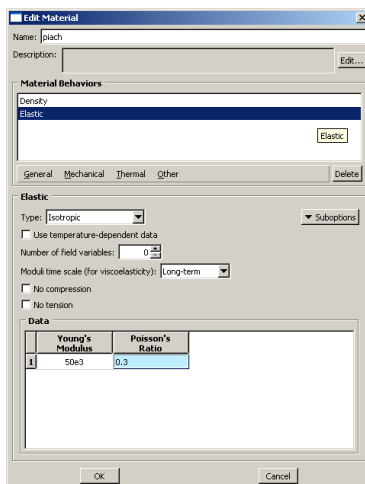
Rysunek 3.41: Przekrój przez warstwę gruntu, zaraz go rozciągniemy.



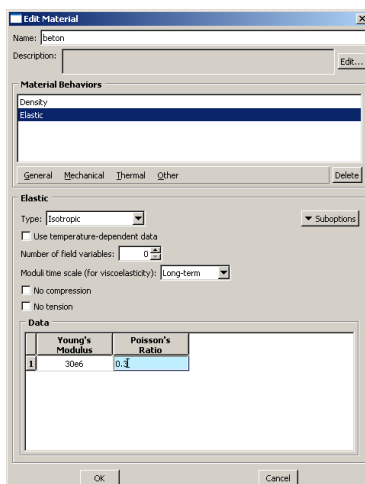
Rysunek 3.42: Rozciąganie przekroju - w kierunku trzeciej osi.



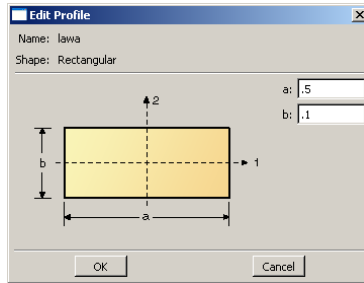
Rysunek 3.43: Wynikiem powyższych czynności jest pierwsza bryła - podłoże.



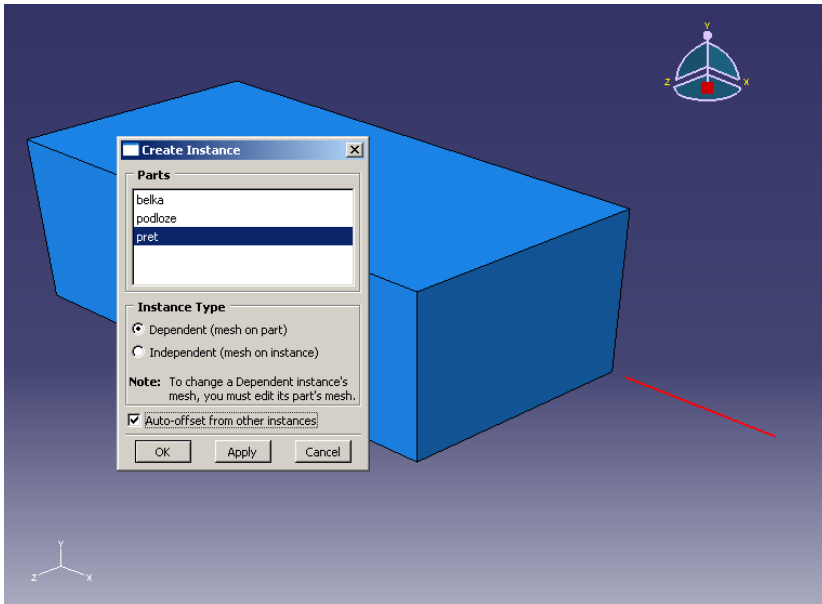
Rysunek 3.44: Okno definicji cech sprężystych materiału podłoża.



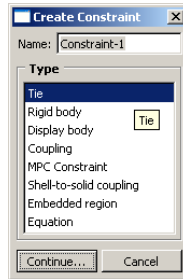
Rysunek 3.45: Okno definicji cech sprężystych materiału fundamentu.



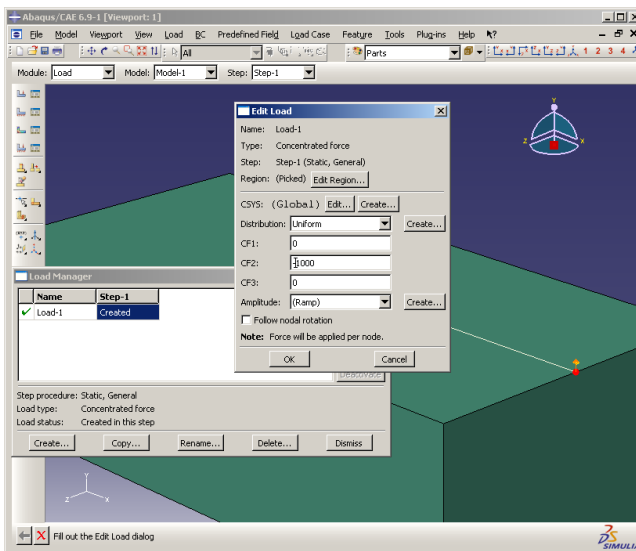
Rysunek 3.46: Okno definicji geometrii fundamentu.



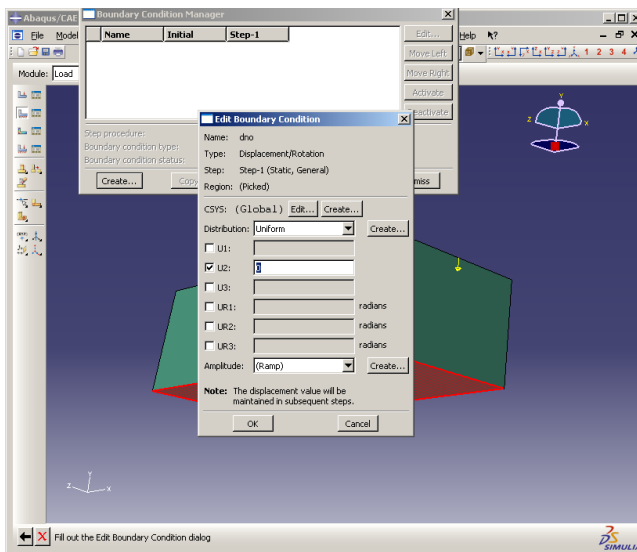
Rysunek 3.47: Umieszczamy belkę i podłoże w modelu, ustalając ich wzajemne relacje w przestrzeni.



Rysunek 3.48: Definiujemy kontakt pomiędzy fundamentem a gruntem.

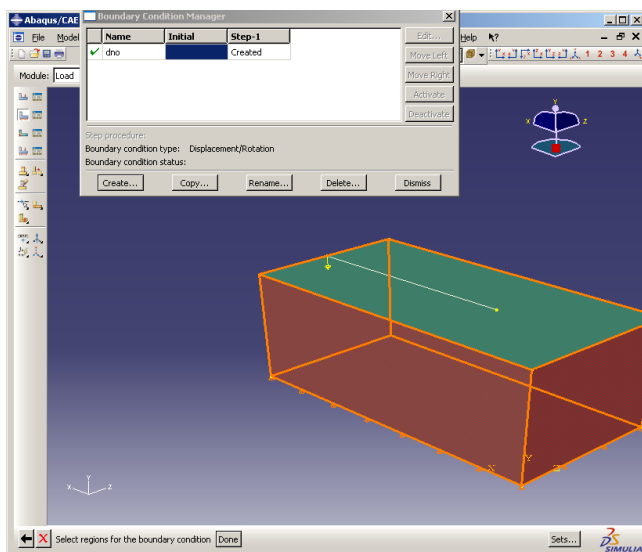


Rysunek 3.49: Obciążamy w punkcie symetriibelkę siłą pionową.

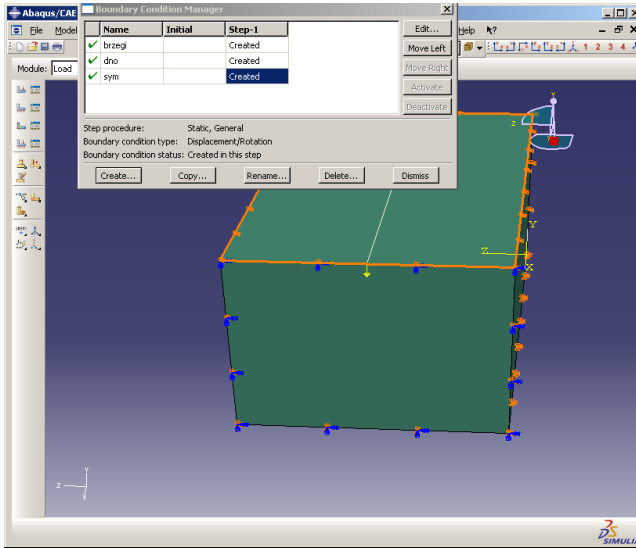


Rysunek 3.50: Wprowadzamy warunki brzegowe na przemieszczeniach i obrotach (dno).

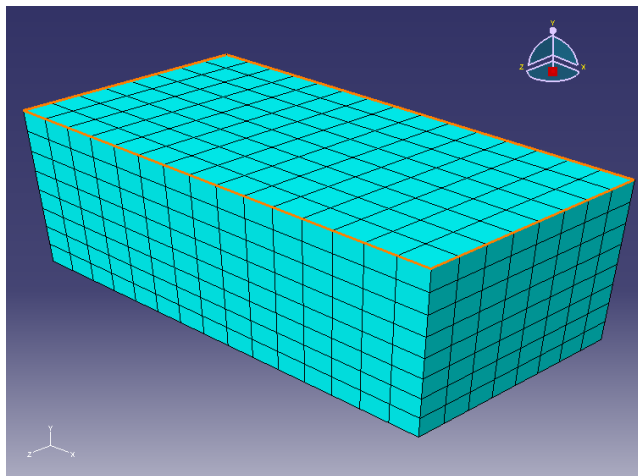




Rysunek 3.51: Wprowadzamy warunki brzegowe na przemieszczeniach i obrotach (boki).

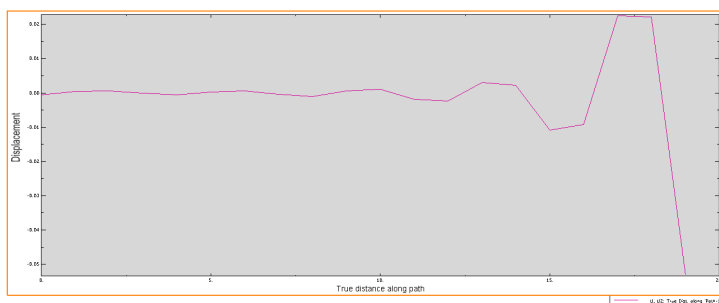


Rysunek 3.52: Wprowadzamy warunki brzegowe na przemieszczeniach i obrotach (symetria).



Rysunek 3.53: Dzielimy zarówno podłoże jak i belkę na elementy skończone.

Centrum Sietowo Superkomputerowego przy Politechnice Wrocławskiej. Obliczenia w programie SOLDIS publikowane są za zgodą firmy.



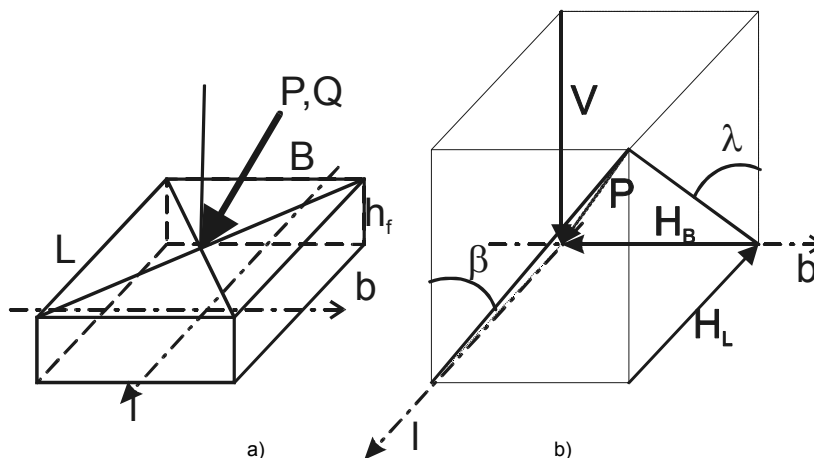
Rysunek 3.54: Rezultaty - przemieszczenia fundamentu.

## Rozdział 4

# Przykład obliczeniowy 1

# Przykład obliczeniowy 1

Stopa fundamentowa obciążona jak na schemacie poniżej:



Rys. Przedstawiono a) schemat obciążenia stopy fundamentowej b) sposób rozkładu siły P na składowe równoległe do boków fundamentu i pionową.

Warstwa jednorodnego piasku średniego nie została przewiercona do głębokości 14.5m Wody gruntowej nie stwierdzono. Parametry gruntu wraz z opisem zestawiono poniżej.

## Dane materiałowe geometryczne i obciążenia fundamentu.

### Parametry podłoża: piasek średni (MSa)

spójność:  $c = 0 \cdot \text{kPa}$  \*

ciężar objętościowy:  $\gamma_{\text{pod}} = 18 \cdot \frac{\text{kN}}{\text{m}^3}$

kąt tarcia wewnętrznego:  $\phi = 35 \cdot \text{deg}$

### Wymiary fundamentu sprawdzanego:

szerokość:  $B = 1.6 \cdot \text{m}$

długość:  $L = 2.2 \cdot \text{m}$

wysokość:  $h_f = 0.4 \cdot \text{m}$

### Obciążenia przyłożone do wierzchu fundamentu (jak na schemacie):

stałe:  $P = 800 \cdot \text{kN}$

zmiennie:

$$Q = 150 \cdot \text{kN}$$

### ***Nachylenie sił względem normalnej do podstawy fundamentu:***

$$\lambda_P = 3 \cdot \text{deg}$$

$$\lambda_Q = 7 \cdot \text{deg}$$

$$\beta_P = 4 \cdot \text{deg}$$

$$\beta_Q = 6 \cdot \text{deg}$$

### ***Ciężar elementów konstrukcji fundamentu dla głębokości posadowienia:***

głębokość posadowienia:

$$h_{\text{pos}} = 1.0 \cdot \text{m}$$

ciężar objętościowy  
betonu:

$$\gamma_{\text{bet}} = 25 \cdot \frac{\text{kN}}{\text{m}^3}$$

szorstkość podstawy (0 gładki np. prefabrykowany, 1 szorstki np monolityczny)

## **Nośność podłoża**

### ***Przypadek obliczeniowy DA1/1***

Wartości współczynników cząstkowych:

$$\gamma_Q = 1.50$$

$$\gamma_{\text{tg}\phi} = 1.00$$

$$\gamma_\gamma = 1.00$$

$$\gamma_G = 1.35$$

$$\gamma_c = 1.00$$

$$\gamma_{Rv} = 1.00$$

$$\gamma_{cu} = 1.00$$

$$\phi_\gamma = \text{atan}\left(\gamma_{\text{tg}\phi}^{-1} \cdot \tan(\phi)\right) *$$

$$\phi_\gamma = 35.00 \text{ deg}$$

$$c_\gamma = \frac{c}{\gamma_c} *$$

$$c_\gamma = 0.00 \text{ kPa}$$

$$N_{q\_EC7}(\phi') = e^{\pi \cdot \tan(\phi')} \cdot \tan\left(\frac{\pi}{4} + \frac{\phi'}{2}\right)^2$$

$$N_{q\_EC7}(\phi_\gamma) = 33.30$$

$$N_{\gamma\_EC7}(\phi') = 2 \cdot (N_{q\_EC7}(\phi') - 1) \cdot \tan(\phi')$$

$$N_{\gamma\_EC7}(\phi_\gamma) = 45.23$$

$$N_{c\_EC7}(\phi') = (N_{q\_EC7}(\phi') - 1) \cdot \frac{1}{\tan(\phi')}$$

$$N_{c\_EC7}(\phi_\gamma) = 46.12$$

$$P_\gamma = P \cdot \gamma_G$$

$$Q_\gamma = Q \cdot \gamma_Q$$

$$P_\gamma = 1080.00 \text{ kN}$$

$$Q_\gamma = 225.00 \text{ kN}$$

Składowe styczne i normalne do podstawy (odpowiednio od oddziaływań Q i P):

$$\begin{aligned}
 H_{L\_P} &= P_\gamma \cdot \cos(\beta_P) \cdot \sin(\lambda_P) & H_{L\_P} &= 56.39 \text{ kN} \\
 H_{L\_Q} &= Q_\gamma \cdot \cos(\beta_Q) \cdot \sin(\lambda_Q) & H_{L\_Q} &= 27.27 \text{ kN} \\
 H_{B\_P} &= P_\gamma \cdot \sin(\beta_P) & H_{B\_P} &= 75.34 \text{ kN} \\
 H_{B\_Q} &= Q_\gamma \cdot \sin(\beta_Q) & H_{B\_Q} &= 23.52 \text{ kN} \\
 V_P &= P_\gamma \cdot \cos(\beta_P) \cdot \cos(\lambda_P) & V_P &= 1075.89 \text{ kN} \\
 V_Q &= Q_\gamma \cdot \cos(\beta_Q) \cdot \cos(\lambda_Q) & V_Q &= 222.10 \text{ kN} \\
 H_L &= H_{L\_P} + H_{L\_Q} & H_L &= 83.66 \text{ kN} \\
 H_B &= H_{B\_P} + H_{B\_Q} & H_B &= 98.86 \text{ kN}
 \end{aligned}$$

obciążenie w poziomie posadowienia:

$$\begin{aligned}
 q_{\text{pos}} &= \gamma_{\text{pod}} \cdot h_{\text{pos}} & q_{\text{pos}} &= 73.22 \text{ kN} \\
 G_f &= h_f \cdot B \cdot L \cdot \gamma_{\text{bet}} + (h_{\text{pos}} - h_f) \cdot (B \cdot L \cdot \gamma_{\text{pod}}) * & G_f &= 98.84 \text{ kN} \\
 G_{f\gamma} &= G_f \cdot \gamma_G & G_{f\gamma} &= 1396.83 \text{ kN} \\
 V &= V_P + V_Q + G_{f\gamma} & V &= 1396.83 \text{ kN}
 \end{aligned}$$

wartość sił poziomych sprowadzona do podstawy fundamentu wywoła momenty:

$$\begin{aligned}
 M_B &= -H_L \cdot h_f & M_B &= -33.46 \text{ kN}\cdot\text{m} \\
 M_L &= H_B \cdot h_f & M_L &= 39.54 \text{ kN}\cdot\text{m} \\
 \text{wypadkowa sił poziomych:} & & H &= \sqrt{H_L^2 + H_B^2} = 129.50 \text{ kN}
 \end{aligned}$$

mimośrodny przyłożenia siły wypadkowej:

$$e_L = \frac{|M_B|}{V} = 2.40 \text{ cm} \qquad e_B = \frac{|M_L|}{V} = 2.83 \text{ cm}$$

Sprawdzam położenie wypadkowej względem rdzenia podstawy:

$$\frac{6 \cdot e_B}{B} + \frac{6 \cdot e_L}{L} = 0.17 \qquad \text{wartość mniejsza od 1.00 oznacza że wypadkowa jest w rdzeniu.}$$

Wymiary zredukowane podstawy fundamentu:

$$\begin{aligned}
 B' &= B - 2 \cdot e_B & L' &= L - 2 \cdot e_L & A' &= (L' - 2 \cdot e_L) \cdot (B' - 2 \cdot e_B) \\
 B' &= 1.54 \text{ m} & L' &= 2.15 \text{ m} & A' &= 3.13 \text{ m}^2
 \end{aligned}$$

wartość współczynników związanych z nachyleniem podstawy fundamentu:

$$b_{\gamma\_EC7}(\phi, \alpha) = (1 - \alpha \cdot \tan(\phi))^2 \qquad b_{q\_EC7}(\phi, \alpha) = b_{\gamma\_EC7}(\phi, \alpha)$$

$$b_{c\_EC7}(\phi, \alpha) = b_{q\_EC7}(\phi, \alpha) - \frac{1 - b_{q\_EC7}(\phi, \alpha)}{N_{q\_EC7}(\phi) - 1}$$

$$\alpha = 0 \text{ deg} *$$

$$b_{\gamma\_EC7}(\phi_{\gamma}, \alpha) = 1.00$$

$$b_{q\_EC7}(\phi_{\gamma}, \alpha) = 1.00$$

$$b_{c\_EC7}(\phi_{\gamma}, \alpha) = 1.00$$

wyznaczam współczynniki związane z nachyleniem wypadkowej:

$$m_B(B', L') = \frac{2 + \frac{B'}{L'}}{1 + \frac{B'}{L'}} \quad m_B(B', L') = 1.58$$

$$m_L(B', L') = \frac{2 + \frac{L'}{B'}}{1 + \frac{L'}{B'}} \quad m_L(B', L') = 1.42$$

$$\Theta = \arcsin\left(\frac{H_B}{H}\right) \quad \Theta = 49.76 \text{ deg}$$

$$m_{\Theta}(B', L', \Theta) = m_L(B', L') \cdot \cos(\Theta)^2 + m_B(B', L') \cdot \sin(\Theta)^2$$

$$m_{\Theta}(B', L', \Theta) = 1.51$$

$$i_{q\_EC7}(\phi', c', H, V, B', L', \Theta) = \left(1 - \frac{H}{V + B' \cdot L' \cdot c' \cdot \tan(\phi') - 1}\right) m_{\Theta}(B', L', \Theta)$$

$$i_{q\_EC7}(\phi_{\gamma}, c_{\gamma}, H, V, B', L', \Theta) = 0.86$$

$$i_{\gamma\_EC7}(\phi', c', H, V, B, L, \Theta) = i_{q\_EC7}(\phi', c', H, V, B, L, \Theta)^2$$

$$i_{\gamma\_EC7}(\phi_{\gamma}, c_{\gamma}, H, V, B', L', \Theta) = 0.74$$

$$i_{C\_EC7}(\phi', c', H, V, B, L, \Theta) = i_{q\_EC7}(\phi', c', H, V, B, L, \Theta) - \frac{1 - i_{q\_EC7}(\phi', c', H, V, B, L, \Theta)}{N_{q\_EC7}(\phi') - 1}$$

$$i_{C\_EC7}(\phi_{\gamma}, c_{\gamma}, H, V, B', L', \Theta) = 0.86$$

współczynniki kształtu:

$$s_{q\_EC7}(\phi', B', L') = 1 + \frac{B'}{L'} \cdot \sin(\phi')$$

$$s_{q\_EC7}(\phi_{\gamma}, B', L') = 1.41$$



$$s_{\gamma\_EC7}(B', L') = 1 - 0.3 \cdot \frac{B'}{L'}$$

$$s_{\gamma\_EC7}(B', L') = 0.78$$

$$s_{c\_EC7}(\phi', B', L') = \frac{s_{q\_EC7}(\phi', B', L') \cdot N_{q\_EC7}(\phi') - 1}{N_{q\_EC7}(\phi') - 1}$$

$$s_{c\_EC7}(\phi_{\gamma}, B', L') = 1.42$$

Teraz wyznaczam składniki nośności podłoża:

$$SKL_C = c_{\gamma} \cdot N_{c\_EC7}(\phi_{\gamma}) \cdot b_{c\_EC7}(\phi_{\gamma}, \alpha) \cdot s_{c\_EC7}(\phi_{\gamma}, B', L') \cdot i_{c\_EC7}(\phi_{\gamma}, c_{\gamma}, H, V, B', L', \Theta) \quad *$$

$$SKL_q = q_{pos} \cdot \gamma_{Gf}^{-1} \cdot N_{q\_EC7}(\phi_{\gamma}) \cdot b_{q\_EC7}(\phi_{\gamma}, \alpha) \cdot s_{q\_EC7}(\phi_{\gamma}, B', L') \cdot i_{q\_EC7}(\phi_{\gamma}, c_{\gamma}, H, V, B', L', \Theta)$$

$$SKL_{\gamma} = 0.5 \cdot \gamma_{pod} \cdot \gamma_{\gamma}^{-1} \cdot B' \cdot N_{\gamma\_EC7}(\phi_{\gamma}) \cdot b_{\gamma\_EC7}(\phi_{\gamma}, \alpha) \cdot s_{\gamma\_EC7}(B', L') \cdot i_{\gamma\_EC7}(\phi_{\gamma}, c_{\gamma}, H, V, B', L', \Theta)$$

$$SKL_C = 0.00 \text{ kPa}$$

$$SKL_q = 730.03 \text{ kPa}$$

$$SKL_{\gamma} = 367.28 \text{ kPa}$$

$$R = A' \cdot (SKL_C + SKL_q + SKL_{\gamma}) \cdot \gamma_{Rv}^{-1} \quad R = 3432.85 \text{ kN} \quad V = 1396.83 \text{ kN}$$

$$\frac{V}{R} = 41\%$$

Jeżeli wartość jest większa od 100%, oznacza, że podłoże ma zbyt małą nośność. Jak widać zapas nośności jest stosunkowo duży.

## Przypadek obliczeniowy DA1/2

Wartości współczynników cząstkowych:

$$\gamma_Q = 1.30$$

$$\gamma_{tg\phi} = 1.25$$

$$\gamma_{\gamma} = 1.00$$

$$\gamma_G = 1.35$$

$$\gamma_c = 1.00$$

$$\gamma_{Rv} = 1.00$$

$$\gamma_{cu} = 1.40$$

$$\phi_{\gamma} = \text{atan}\left(\gamma_{tg\phi}^{-1} \cdot \tan(\phi)\right)$$

$$\phi_{\gamma} = 29.26 \text{ deg}$$

$$c_{\gamma} = \frac{c}{\gamma_c} \quad *$$

$$c_{\gamma} = 0.00 \text{ kPa}$$

$$N_{q\_EC7}(\phi_\gamma) = 16.92$$

$$N_{\gamma\_EC7}(\phi_\gamma) = 17.84$$

$$N_{c\_EC7}(\phi_\gamma) = 28.42$$

$$P_\gamma = P \cdot \gamma_G$$

$$P_\gamma = 1080.00 \text{ kN}$$

$$Q_\gamma = Q \cdot \gamma_Q$$

$$Q_\gamma = 195.00 \text{ kN}$$

Składowe styczne i normalne do podstawy (odpowiednio od oddziaływań Q i P):

$$H_{L\_P} = P_\gamma \cdot \cos(\beta_P) \cdot \sin(\lambda_P)$$

$$H_{L\_P} = 56.39 \text{ kN}$$

$$H_{L\_Q} = Q_\gamma \cdot \cos(\beta_Q) \cdot \sin(\lambda_Q)$$

$$H_{L\_Q} = 23.63 \text{ kN}$$

$$H_{B\_P} = P_\gamma \cdot \sin(\beta_P)$$

$$H_{B\_P} = 75.34 \text{ kN}$$

$$H_{B\_Q} = Q_\gamma \cdot \sin(\beta_Q)$$

$$H_{B\_Q} = 20.38 \text{ kN}$$

$$V_P = P_\gamma \cdot \cos(\beta_P) \cdot \cos(\lambda_P)$$

$$V_P = 1075.89 \text{ kN}$$

$$V_Q = Q_\gamma \cdot \cos(\beta_Q) \cdot \cos(\lambda_Q)$$

$$V_Q = 192.49 \text{ kN}$$

$$H_L = H_{L\_P} + H_{L\_Q}$$

$$H_L = 80.02 \text{ kN}$$

$$H_B = H_{B\_P} + H_{B\_Q}$$

$$H_B = 95.72 \text{ kN}$$

obciążenie w poziomie posadowienia:

$$q_{\text{pos}} = \gamma_{\text{pod}} \cdot h_{\text{pos}}$$

$$G_f = h_f \cdot B \cdot L \cdot \gamma_{\text{bet}} + (h_{\text{pos}} - h_f) \cdot (B \cdot L \cdot \gamma_{\text{pod}}) \quad *$$

$$G_f = 73.22 \text{ kN}$$

$$G_{f\gamma} = G_f \cdot \gamma_G$$

$$G_{f\gamma} = 98.84 \text{ kN}$$

$$V = V_P + V_Q + G_{f\gamma}$$

$$V = 1367.22 \text{ kN}$$

wartość sił poziomych sprowadzona do podstawy fundamentu wywoła momenty:

$$M_B = -H_L \cdot h_f$$

$$M_B = -32.01 \text{ kN}\cdot\text{m}$$

$$M_L = H_B \cdot h_f$$

$$M_L = 38.29 \text{ kN}\cdot\text{m}$$

wypadkowa siła poziomych:

$$H = \sqrt{H_L^2 + H_B^2}$$

$$H = 124.76 \text{ kN}$$

mimośrodowość przyłożenia siły wypadkowej:

$$e_L = \frac{|M_B|}{V}$$

$$e_L = 2.34 \text{ cm}$$

$$e_B = \frac{|M_L|}{V}$$

$$e_B = 2.80 \text{ cm}$$

Sprawdzam położenie wypadkowej względem rdzenia podstawy:

$$\frac{6 \cdot e_B}{B} + \frac{6 \cdot e_L}{L} = 0.17 \quad \text{wartość mniejsza od 1.00 oznacza że wypadkowa jest w rdzeniu.}$$

Wymiary zredukowane podstawy fundamentu

$$B' = B - 2 \cdot e_B \qquad L' = L - 2 \cdot e_L \qquad A' = (L' - 2 \cdot e_L) \cdot (B' - 2 \cdot e_B)$$

$$B' = 1.54 \text{ m} \qquad L' = 2.15 \text{ m} \qquad A' = 3.13 \text{ m}^2$$

wartość współczynników związanych z nachyleniem podstawy fundamentu:

$$b_{\gamma\_EC7}(\phi_{\gamma}, \alpha) = 1.00 \qquad b_{q\_EC7}(\phi_{\gamma}, \alpha) = 1.00 \qquad b_{c\_EC7}(\phi_{\gamma}, \alpha) = 1.00$$

wyznaczam współczynniki związane z nachyleniem wypadkowej:

$$m_B(B', L') = 1.58$$

$$m_L(B', L') = 1.42$$

$$\Theta = \arcsin\left(\frac{H_B}{H}\right) \qquad \Theta = 50.11 \text{ deg}$$

$$m_{\Theta}(B', L', \Theta) = 1.51$$

$$i_{q\_EC7}(\phi_{\gamma}, c_{\gamma}, H, V, B', L', \Theta) = 0.87$$

$$i_{\gamma\_EC7}(\phi_{\gamma}, c_{\gamma}, H, V, B', L', \Theta) = 0.75$$

$$i_{c\_EC7}(\phi_{\gamma}, c_{\gamma}, H, V, B', L', \Theta) = 0.86$$

współczynniki kształtu:

$$s_{q\_EC7}(\phi_{\gamma}, B', L') = 1.35$$

$$s_{\gamma\_EC7}(B', L') = 0.78$$

$$s_{c\_EC7}(\phi_{\gamma}, B', L') = 1.37$$

Teraz wyznaczam składniki nośności podłoża:

$$SKL_C = c_\gamma \cdot N_{c\_EC7}(\phi_\gamma) \cdot b_{c\_EC7}(\phi_\gamma, \alpha) \cdot s_{c\_EC7}(\phi_\gamma, B', L') \cdot i_{c\_EC7}(\phi_\gamma, c_\gamma, H, V, B', L', \Theta) *$$

$$SKL_q = q_{pos} \cdot \gamma_{Gf}^{-1} \cdot N_{q\_EC7}(\phi_\gamma) \cdot b_{q\_EC7}(\phi_\gamma, \alpha) \cdot s_{q\_EC7}(\phi_\gamma, B', L') \cdot i_{q\_EC7}(\phi_\gamma, c_\gamma, H, V, B', L', \Theta)$$

$$SKL_\gamma = 0.5 \cdot \gamma_{pod} \cdot \gamma_\gamma^{-1} \cdot B' \cdot N_{\gamma\_EC7}(\phi_\gamma) \cdot b_{\gamma\_EC7}(\phi_\gamma, \alpha) \cdot s_{\gamma\_EC7}(B', L') \cdot i_{\gamma\_EC7}(\phi_\gamma, c_\gamma, H, V, B', L', \Theta)$$

$$SKL_C = 0.00 \text{ kPa}$$

$$SKL_q = 355.82 \text{ kPa}$$

$$SKL_\gamma = 145.59 \text{ kPa}$$

$$R = A' \cdot (SKL_C + SKL_q + SKL_\gamma) \cdot \gamma_{Rv}^{-1}$$

$$R = 1571.52 \text{ kN}$$

$$V = 1367.22 \text{ kN}$$

$$\frac{V}{R} = 87\%$$

Tym razem zapas nośności wynosi 13%.

## Przypadek obliczeniowy DA2

Wartości współczynników cząstkowych:

$$\gamma_Q = 1.50$$

$$\gamma_{tg\phi} = 1.00$$

$$\gamma_\gamma = 1.00$$

$$\gamma_G = 1.35$$

$$\gamma_c = 1.00$$

$$\gamma_{Rv} = 1.40$$

$$\gamma_{cu} = 1.00$$

$$\phi_\gamma = \text{atan}(\gamma_{tg\phi}^{-1} \cdot \tan(\phi)) \blacksquare$$

$$\phi_\gamma = 35.00 \text{ deg}$$

$$c_\gamma = \frac{c}{\gamma_c} *$$

$$c_\gamma = 0.00 \text{ kPa}$$

$$N_{q\_EC7}(\phi_\gamma) = 33.30$$

$$N_{\gamma\_EC7}(\phi_\gamma) = 45.23$$

$$N_{c\_EC7}(\phi_\gamma) = 46.12$$

$$P_\gamma = P \cdot \gamma_G$$

$$Q_\gamma = Q \cdot \gamma_Q$$

$$P_\gamma = 1080.00 \text{ kN}$$

$$Q_\gamma = 225.00 \text{ kN}$$

Składowe styczne i normalne do podstawy (odpowiednio od oddziaływań Q i P):

$$H_{L\_P} = P_\gamma \cdot \cos(\beta_P) \cdot \sin(\lambda_P) \quad H_{L\_P} = 56.39 \text{ kN}$$

$$H_{L\_Q} = Q_\gamma \cdot \cos(\beta_Q) \cdot \sin(\lambda_Q) \quad H_{L\_Q} = 27.27 \text{ kN}$$

$$H_{B\_P} = P_\gamma \cdot \sin(\beta_P) \quad H_{B\_P} = 75.34 \text{ kN}$$

$$H_{B\_Q} = Q_\gamma \cdot \sin(\beta_Q) \quad H_{B\_Q} = 23.52 \text{ kN}$$

$$V_P = P_\gamma \cdot \cos(\beta_P) \cdot \cos(\lambda_P) \quad V_P = 1075.89 \text{ kN}$$

$$V_Q = Q_\gamma \cdot \cos(\beta_Q) \cdot \cos(\lambda_Q) \quad V_Q = 222.10 \text{ kN}$$

$$H_L = H_{L\_P} + H_{L\_Q} \quad H_L = 83.66 \text{ kN}$$

$$H_B = H_{B\_P} + H_{B\_Q} \quad H_B = 98.86 \text{ kN}$$

obciążenie w poziomie posadowienia:

$$q_{\text{pos}} = \gamma_{\text{pod}} \cdot h_{\text{pos}}$$

$$G_f = h_f \cdot B \cdot L \cdot \gamma_{\text{bet}} + (h_{\text{pos}} - h_f) \cdot (B \cdot L \cdot \gamma_{\text{pod}}) \quad G_f = 73.22 \text{ kN}$$

$$G_{f\gamma} = G_f \cdot \gamma_G \quad G_{f\gamma} = 98.84 \text{ kN}$$

$$V = V_P + V_Q + G_{f\gamma} \quad V = 1396.83 \text{ kN}$$

wartość sił poziomych sprowadzona do podstawy fundamentu wywoła momenty:

$$M_B = -H_L \cdot h_f \quad M_B = -33.46 \text{ kN}\cdot\text{m}$$

$$M_L = H_B \cdot h_f \quad M_L = 39.54 \text{ kN}\cdot\text{m}$$

wypadkowa sił poziomych:

$$H = \sqrt{H_L^2 + H_B^2} \quad H = 129.50 \text{ kN}$$

mimośrodowość przyłożenia siły wypadkowej:

$$e_L = \frac{|M_B|}{V} \quad e_L = 2.40 \text{ cm} \quad e_B = \frac{|M_L|}{V} \quad e_B = 2.83 \text{ cm}$$

Sprawdzam położenie wypadkowej względem rdzenia podstawy:

$$\frac{6 \cdot e_B}{B} + \frac{6 \cdot e_L}{L} = 0.17 \quad \text{wartość mniejsza od 1.00 oznacza że wypadkowa jest w rdzeniu.}$$

Wymiary zredukowane podstawy fundamentu:

$$B' = B - 2 \cdot e_B \quad L' = L - 2 \cdot e_L \quad A' = (L' - 2 \cdot e_L) \cdot (B' - 2 \cdot e_B)$$

$$B' = 1.54 \text{ m} \quad L' = 2.15 \text{ m} \quad A' = 3.13 \text{ m}^2$$

wartość współczynników związanych z nachyleniem podstawy fundamentu:

$$\alpha = 0 \cdot \text{deg} \quad *$$

$$b_{\gamma\_EC7}(\phi_{\gamma}, \alpha) = 1.00$$

$$b_{q\_EC7}(\phi_{\gamma}, \alpha) = 1.00$$

$$b_{c\_EC7}(\phi_{\gamma}, \alpha) = 1.00$$

wyznaczam współczynniki związane z nachyleniem wypadkowej:

$$m_L(B', L') = 1.42$$

$$\Theta = \arcsin\left(\frac{H_B}{H}\right)$$

$$\Theta = 49.76 \text{ deg}$$

$$m_{\Theta}(B', L', \Theta) = 1.51$$

$$i_{q\_EC7}(\phi_{\gamma}, c_{\gamma}, H, V, B', L', \Theta) = 0.86$$

$$i_{\gamma\_EC7}(\phi_{\gamma}, c_{\gamma}, H, V, B', L', \Theta) = 0.74$$

$$i_{c\_EC7}(\phi_{\gamma}, c_{\gamma}, H, V, B', L', \Theta) = 0.86$$

współczynniki kształtu:

$$s_{q\_EC7}(\phi_{\gamma}, B', L') = 1.41$$

$$s_{\gamma\_EC7}(B', L') = 0.78$$

$$s_{c\_EC7}(\phi_{\gamma}, B', L') = 1.42$$

Teraz wyznaczam składniki nośności podłoża:

$$SKL_C = c_{\gamma} \cdot N_{c\_EC7}(\phi_{\gamma}) \cdot b_{c\_EC7}(\phi_{\gamma}, \alpha) \cdot s_{c\_EC7}(\phi_{\gamma}, B', L') \cdot i_{c\_EC7}(\phi_{\gamma}, c_{\gamma}, H, V, B', L', \Theta) \quad *$$

$$SKL_q = q_{pos} \cdot \gamma_{Gf}^{-1} \cdot N_{q\_EC7}(\phi_{\gamma}) \cdot b_{q\_EC7}(\phi_{\gamma}, \alpha) \cdot s_{q\_EC7}(\phi_{\gamma}, B', L') \cdot i_{q\_EC7}(\phi_{\gamma}, c_{\gamma}, H, V, B', L', \Theta)$$

$$SKL_{\gamma} = 0.5 \cdot \gamma_{pod} \cdot \gamma_{\gamma}^{-1} \cdot B' \cdot N_{\gamma\_EC7}(\phi_{\gamma}) \cdot b_{\gamma\_EC7}(\phi_{\gamma}, \alpha) \cdot s_{\gamma\_EC7}(B', L') \cdot i_{\gamma\_EC7}(\phi_{\gamma}, c_{\gamma}, H, V, B', L', \Theta)$$

$$SKL_C = 0.00 \text{ kPa}$$

$$SKL_q = 730.03 \text{ kPa}$$

$$SKL_{\gamma} = 367.28 \text{ kPa}$$

$$R = A' \cdot (SKL_C + SKL_Q + SKL_\gamma) \cdot \gamma_{Rv}^{-1} \quad R = 2452.04 \text{ kN} \quad V = 1396.83 \text{ kN}$$

$$\frac{V}{R} = 57\%$$

W tym przypadku obliczeniowym znów uzyskujemy duży zapas nośności.

### Przypadek obliczeniowy DA3

Wartości współczynników cząstkowych:

$$\gamma_Q = 1.50$$

$$\gamma_{tg\phi} = 1.25$$

$$\gamma_\gamma = 1.00$$

$$\gamma_G = 1.35$$

$$\gamma_c = 1.25$$

$$\gamma_{Rv} = 1.00$$

$$\gamma_{cu} = 1.40$$

$$\phi_{\gamma} = \text{atan}(\gamma_{tg\phi}^{-1} \cdot \tan(\phi))$$

$$\phi_\gamma = 29.26 \text{ deg}$$

$$c_\gamma = \frac{c}{\gamma_c} *$$

$$c_\gamma = 0.00 \text{ kPa}$$

$$N_{q\_EC7}(\phi_\gamma) = 16.92$$

$$N_{\gamma\_EC7}(\phi_\gamma) = 17.84$$

$$N_{c\_EC7}(\phi_\gamma) = 28.42$$

$$P_\gamma = P \cdot \gamma_G$$

$$Q_\gamma = Q \cdot \gamma_Q$$

$$P_\gamma = 1080.00 \text{ kN}$$

$$Q_\gamma = 225.00 \text{ kN}$$

Składowe styczne i normalne do podstawy (odpowiednio od oddziaływań Q i P):

$$H_{L\_P} = P_\gamma \cdot \cos(\beta_P) \cdot \sin(\lambda_P)$$

$$H_{L\_P} = 56.39 \text{ kN}$$

$$H_{L\_Q} = Q_\gamma \cdot \cos(\beta_Q) \cdot \sin(\lambda_Q)$$

$$H_{L\_Q} = 27.27 \text{ kN}$$

$$H_{B\_P} = P_\gamma \cdot \sin(\beta_P)$$

$$H_{B\_P} = 75.34 \text{ kN}$$

$$H_{B\_Q} = Q_\gamma \cdot \sin(\beta_Q)$$

$$H_{B\_Q} = 23.52 \text{ kN}$$

$$V_P = P_\gamma \cdot \cos(\beta_P) \cdot \cos(\lambda_P)$$

$$V_P = 1075.89 \text{ kN}$$

$$V_Q = Q_\gamma \cdot \cos(\beta_Q) \cdot \cos(\lambda_Q)$$

$$V_Q = 222.10 \text{ kN}$$

$$H_L = H_{L\_P} + H_{L\_Q}$$

$$H_L = 83.66 \text{ kN}$$

$$H_B = H_{B\_P} + H_{B\_Q}$$

$$H_B = 98.86 \text{ kN}$$

obciążenie w poziomie posadowienia:

$$q_{\text{pos}} = \gamma_{\text{pod}} \cdot h_{\text{pos}}$$

$$G_f = h_f \cdot B \cdot L \cdot \gamma_{\text{bet}} + (h_{\text{pos}} - h_f) \cdot (B \cdot L \cdot \gamma_{\text{pod}}) \quad *$$

$$G_f = 73.22 \text{ kN}$$

$$G_{f\gamma} = G_f \cdot \gamma_G$$

$$G_{f\gamma} = 98.84 \text{ kN}$$

$$V = V_P + V_Q + G_{f\gamma}$$

$$V = 1396.83 \text{ kN}$$

wartość sił poziomych sprowadzona do podstawy fundamentu wywoła momenty:

$$M_B = -H_L \cdot h_f$$

$$M_B = -33.46 \text{ kN}\cdot\text{m}$$

$$M_L = H_B \cdot h_f$$

$$M_L = 39.54 \text{ kN}\cdot\text{m}$$

wypadkowa sił poziomych:

$$H = \sqrt{H_L^2 + H_B^2}$$

$$H = 129.50 \text{ kN}$$

Mimośrodody przyłożenia siły wypadkowej:

$$e_L = \frac{|M_B|}{V}$$

$$e_L = 2.40 \text{ cm}$$

$$e_B = \frac{|M_L|}{V}$$

$$e_B = 2.83 \text{ cm}$$

Sprawdzam położenie wypadkowej względem rdzenia podstawy:

$$\frac{6 \cdot e_B}{B} + \frac{6 \cdot e_L}{L} = 0.17$$

wartość mniejsza od 1.00 oznacza że wypadkowa jest w rdzeniu.

Wymiary zredukowane podstawy fundamentu:

$$B' = B - 2 \cdot e_B$$

$$L' = L - 2 \cdot e_L$$

$$A' = (L' - 2 \cdot e_L) \cdot (B' - 2 \cdot e_B)$$

$$B' = 1.54 \text{ m}$$

$$L' = 2.15 \text{ m}$$

$$A' = 3.13 \text{ m}^2$$

Wartość współczynników związanych z nachyleniem podstawy fundamentu:

$$\alpha = 0 \cdot \text{deg} \quad *$$

$$b_{\gamma\_EC7}(\phi_\gamma, \alpha) = 1.00$$

$$b_{q\_EC7}(\phi_\gamma, \alpha) = 1.00$$

$$b_{c\_EC7}(\phi_\gamma, \alpha) = 1.00$$

Współczynniki związane z nachyleniem wypadkowej:

$$\Theta = \text{asin}\left(\frac{H_B}{H}\right)$$

$$\Theta = 49.76 \text{ deg}$$

$$m_L(B', L') = 1.42$$

$$m_\Theta(B', L', \Theta) = 1.51$$

$$i_{q\_EC7}(\phi_\gamma, c_\gamma, H, V, B', L', \Theta) = 0.86$$



$$i_{\gamma\_EC7}(\phi_{\gamma}, c_{\gamma}, H, V, B', L', \Theta) = 0.74$$

$$i_{C\_EC7}(\phi_{\gamma}, c_{\gamma}, H, V, B', L', \Theta) = 0.85$$

**Współczynniki kształtu:**

$$s_{q\_EC7}(\phi_{\gamma}, B', L') = 1.35$$

$$s_{\gamma\_EC7}(B', L') = 0.78$$

$$s_{c\_EC7}(\phi_{\gamma}, B', L') = 1.37$$

**Teraz wyznaczam składniki nośności podłoża:**

$$SKL_C = c_{\gamma} \cdot N_{c\_EC7}(\phi_{\gamma}) \cdot b_{c\_EC7}(\phi_{\gamma}, \alpha) \cdot s_{c\_EC7}(\phi_{\gamma}, B', L') \cdot i_{C\_EC7}(\phi_{\gamma}, c_{\gamma}, H, V, B', L', \Theta) *$$

$$SKL_q = q_{pos} \cdot \gamma_{Gf}^{-1} \cdot N_{q\_EC7}(\phi_{\gamma}) \cdot b_{q\_EC7}(\phi_{\gamma}, \alpha) \cdot s_{q\_EC7}(\phi_{\gamma}, B', L') \cdot i_{q\_EC7}(\phi_{\gamma}, c_{\gamma}, H, V, B', L', \Theta)$$

$$SKL_{\gamma} = 0.5 \cdot \gamma_{pod} \cdot \gamma_{\gamma}^{-1} \cdot B' \cdot N_{\gamma\_EC7}(\phi_{\gamma}) \cdot b_{\gamma\_EC7}(\phi_{\gamma}, \alpha) \cdot s_{\gamma\_EC7}(B', L') \cdot i_{\gamma\_EC7}(\phi_{\gamma}, c_{\gamma}, H, V, B', L', \Theta)$$

$$SKL_C = 0.00 \text{ kPa}$$

$$SKL_q = 355.00 \text{ kPa}$$

$$SKL_{\gamma} = 144.85 \text{ kPa}$$

$$R = A' \cdot (SKL_C + SKL_q + SKL_{\gamma}) \cdot \gamma_{Rv}^{-1}$$

$$R = 1563.73 \text{ kN}$$

$$V = 1396.83 \text{ kN}$$

$$\frac{V}{R} = 89\%$$

Warunek nośności jest spełniony jedynie z 11% zapasem. Potwierdza to wstępne przyjęcie wymiarów.

## Nośność na przesunięcie

### Przypadek obliczeniowy DA1/1

Wartości współczynników cząstkowych:

$$\gamma_Q = 1.50$$

$$\gamma_{\text{tg}\phi} = 1.00$$

$$\gamma_\gamma = 1.00$$

$$\gamma_G = 1.35$$

$$\gamma_c = 1.00$$

$$\gamma_{R_V} = 1.00$$

$$\gamma_{c_u} = 1.00$$

$$\phi_{\gamma 1} = \text{atan}(\gamma_{\text{tg}\phi}^{-1} \cdot \tan(\phi)) \quad *$$

$$\phi_{\gamma 1} = 35.00 \text{ deg}$$

$$\phi_{\gamma 2} = \text{atan}(\gamma_{\text{tg}\phi} \cdot \tan(\phi))$$

$$\phi_{\gamma 2} = 35.00 \text{ deg}$$

$$P_\gamma = P \cdot \gamma_G$$

$$Q_\gamma = Q \cdot \gamma_Q$$

$$P_\gamma = 1080.00 \text{ kN}$$

$$Q_\gamma = 225.00 \text{ kN}$$

Składowe styczne i normalne do podstawy (odpowiednio od oddziaływań Q i P):

$$H_{L\_P} = P_\gamma \cdot \cos(\beta_P) \cdot \sin(\lambda_P)$$

$$H_{L\_P} = 56.39 \text{ kN}$$

$$H_{L\_Q} = Q_\gamma \cdot \cos(\beta_Q) \cdot \sin(\lambda_Q)$$

$$H_{L\_Q} = 27.27 \text{ kN}$$

$$H_{B\_P} = P_\gamma \cdot \sin(\beta_P)$$

$$H_{B\_P} = 75.34 \text{ kN}$$

$$H_{B\_Q} = Q_\gamma \cdot \sin(\beta_Q)$$

$$H_{B\_Q} = 23.52 \text{ kN}$$

$$V_P = P_\gamma \cdot \cos(\beta_P) \cdot \cos(\lambda_P)$$

$$V_P = 1075.89 \text{ kN}$$

$$V_Q = Q_\gamma \cdot \cos(\beta_Q) \cdot \cos(\lambda_Q)$$

$$V_Q = 222.10 \text{ kN}$$

$$H_L = H_{L\_P} + H_{L\_Q}$$

$$H_L = 83.66 \text{ kN}$$

$$H_B = H_{B\_P} + H_{B\_Q}$$

$$H_B = 98.86 \text{ kN}$$

obciążenie w poziomie posadowienia:

$$q_{\text{pos}} = \gamma_{\text{pod}} \cdot h_{\text{pos}}$$

$$G_f = h_f \cdot B \cdot L \cdot \gamma_{\text{bet}} + (h_{\text{pos}} - h_f) \cdot (B \cdot L \cdot \gamma_{\text{pod}}) \quad *$$

$$G_f = 73.22 \text{ kN}$$

$$G_{f\gamma} = G_f \cdot \gamma_G$$

$$G_{f\gamma} = 98.84 \text{ kN}$$

$$V = V_P + V_Q + G_{f\gamma}$$

$$V = 1396.83 \text{ kN}$$

wartość sił poziomych sprowadzona do podstawy fundamentu wywoła momenty:

$$M_B = -H_L \cdot h_f$$

$$M_B = -33.46 \text{ kN}\cdot\text{m}$$

$$M_L = H_B \cdot h_f$$

$$M_L = 39.54 \text{ kN}\cdot\text{m}$$

wypadkowa sił poziomych:

$$H = \sqrt{H_L^2 + H_B^2}$$

$$H = 129.50 \text{ kN}$$

Wymiary zredukowane podstawy fundamentu:

$$B' = B - 2 \cdot e_B \qquad L' = L - 2 \cdot e_L \qquad A' = (L' - 2 \cdot e_L) \cdot (B' - 2 \cdot e_B)$$

$$B' = 1.54 \text{ m} \qquad L' = 2.15 \text{ m} \qquad A' = 3.13 \text{ m}^2$$

Obliczenia na kierunku L zestawienie sił na powierzchni bocznej

$$A_{Bh} = B \cdot h_f \quad \text{3xh.f.} \qquad A_{Bh} = 0.64 \text{ m}^2$$

Współczynnik parcia czynnego:

$$K_a(\phi_{\gamma 2}) = \tan\left(\frac{\pi}{4} - \frac{\phi_{\gamma 2}}{2}\right)^2$$

Naprężenia pionowe na poziomie wierzchu fundamentu:

$$q_{v1} = (h_{pos} - h_f) \cdot \gamma_{pod} \cdot \gamma G \quad *$$

Naprężenia pionowe na poziomie posadowienia:

$$q_{v2} = h_{pos} \cdot \gamma_{pod} \cdot \gamma G$$

Naprężenia poziome na poziomie wierzchu fundamentu:

$$q_{h1} = K_a(\phi_{\gamma 2}) \cdot q_{v1}$$

Naprężenia poziome na poziomie posadowienia:

$$q_{h2} = K_a(\phi_{\gamma 2}) \cdot q_{v2}$$

Siła działająca na ścianę pionową fundamentu:

$$H_{Lh} = A_{Bh} \cdot 0.5 \cdot (q_{h2} + q_{h1})$$

$$K_a(\phi_{\gamma 2}) = 0.27 \qquad q_{h1} = 3.95 \text{ kPa}$$

$$q_{v1} = 14.58 \text{ kPa} \qquad q_{h2} = 6.59 \text{ kPa}$$

$$q_{v2} = 24.30 \text{ kPa} \qquad H_{Lh} = 3.37 \text{ kN}$$

Obliczenia na kierunku L zestawienie sił na powierzchni bocznej fundamentu Lxh.f.

$$A_{Lh} = L \cdot h_f \qquad A_{Lh} = 0.88 \text{ m}^2$$

Siła działająca na ścianę pionową fundamentu:

$$H_{Bh} = A_{Lh} \cdot 0.5 \cdot (q_{h2} + q_{h1}) \qquad H_{Bh} = 4.64 \text{ kN}$$

Całkowita wartość sił w podstawie fundamentu:

$$H_L = H_{L\_P} + H_{L\_Q} + H_{Lh} \qquad H_L = 87.03 \text{ kN}$$

$$H_B = H_{B\_P} + H_{B\_Q} + H_{Bh} \qquad H_B = 103.49 \text{ kN}$$

Wartości sił utrzymujących:

Pomijamy współność:

$$c_{\gamma} = 0 \cdot \text{kPa} \quad *$$

Współczynnik odporu

$$K_p(\phi_{\gamma 1}) = \tan\left(\frac{\pi}{4} + \frac{\phi_{\gamma 2}}{2}\right)^2$$

Naprężenia pionowe na poziomie wierzchu fundamentu:

$$q_{v1} = (h_{\text{pos}} - h_f) \cdot \gamma_{\text{pod}} \cdot \gamma_G^{-1} \quad *$$

Naprężenia pionowe na poziomie posadowienia:

$$q_{v2} = h_{\text{pos}} \cdot \gamma_{\text{pod}} \cdot \gamma_G^{-1} \quad *$$

Naprężenia poziome na poziomie wierzchu fundamentu:

$$q_{h1} = K_p(\phi_{\gamma 1}) \cdot q_{v1}$$

Naprężenia poziome na poziomie posadowienia:

$$q_{h2} = K_p(\phi_{\gamma 1}) \cdot q_{v2}$$

Siła działająca na ścianę pionową fundamentu:

$$H_{Lh} = A_{Bh} \cdot 0.5 \cdot (q_{h2} + q_{h1})$$

Opór w podstawie fundamentu:

$$H_{Bh} = A_{Lh} \cdot 0.5 \cdot (q_{h2} + q_{h1})$$

$$K_p(\phi_{\gamma 1}) = 3.69$$

$$q_{h1} = 29.52 \text{ kPa}$$

$$q_{h2} = 49.20 \text{ kPa}$$

$$q_{v1} = 8.00 \text{ kPa}$$

$$H_{Lh} = 25.19 \text{ kN}$$

$$q_{v2} = 13.33 \text{ kPa}$$

$$H_{Bh} = 34.64 \text{ kN}$$

$$\delta = (\text{att} = 0) \cdot \frac{2 \cdot \phi}{3} + (\text{att} = 1) \cdot \phi \quad *$$

$$\delta = 35.00 \text{ deg}$$

Współczynniki bezpieczeństwa stosuję do odporów.

$$R_{Ld} = (V \cdot \tan(\delta) + H_{Lh}) \cdot \gamma_{Rh}^{-1}$$

$$R_{Ld} = 1003.27 \text{ kN}$$

$$H_{Lh} = 25.19 \text{ kN}$$

$$R_{Bd} = (V \cdot \tan(\delta) + H_{Bh}) \cdot \gamma_{Rh}^{-1}$$

$$R_{Bd} = 1012.71 \text{ kN}$$

$$H_{Bh} = 34.64 \text{ kN}$$

$$\frac{H_{Lh}}{R_{Ld}} = 2.51 \%$$

$$\frac{H_{Bh}}{R_{Bd}} = 3.42 \%$$

Jeżeli wyniki są mniejsze niż 100% to warunki nośności są spełnione, tutaj z bardzo dużym zapasem.

**Nośność na przesunięcie****Przypadek obliczeniowy DA1/2**

Wartości współczynników cząstkowych:

$$\gamma_Q = 1.30$$

$$\gamma_{tg\phi} = 1.25$$

$$\gamma_\gamma = 1.00$$

$$\gamma_G = 1.00$$

$$\gamma_c = 1.25$$

$$\gamma_{RV} = 1.00$$

$$\gamma_{cu} = 1.40$$

$$\phi_{\gamma 1} = \text{atan}(\gamma_{tg\phi} - 1 \cdot \tan(\phi))$$

$$\phi_{\gamma 1} = 29.26 \text{ deg}$$

$$\phi_{\gamma 2} = \text{atan}(\gamma_{tg\phi} \cdot \tan(\phi))$$

$$\phi_{\gamma 2} = 41.19 \text{ deg}$$

$$P_\gamma = P \cdot \gamma_G$$

$$Q_\gamma = Q \cdot \gamma_Q$$

$$P_\gamma = 800.00 \text{ kN}$$

$$Q_\gamma = 195.00 \text{ kN}$$

Składowe styczne i normalne do podstawy (odpowiednio od oddziaływań Q i P):

$$H_{L\_P} = P_\gamma \cdot \cos(\beta_P) \cdot \sin(\lambda_P)$$

$$H_{L\_P} = 41.77 \text{ kN}$$

$$H_{L\_Q} = Q_\gamma \cdot \cos(\beta_Q) \cdot \sin(\lambda_Q)$$

$$H_{L\_Q} = 23.63 \text{ kN}$$

$$H_{B\_P} = P_\gamma \cdot \sin(\beta_P)$$

$$H_{B\_P} = 55.81 \text{ kN}$$

$$H_{B\_Q} = Q_\gamma \cdot \sin(\beta_Q)$$

$$H_{B\_Q} = 20.38 \text{ kN}$$

$$V_P = P_\gamma \cdot \cos(\beta_P) \cdot \cos(\lambda_P)$$

$$V_P = 796.96 \text{ kN}$$

$$V_Q = Q_\gamma \cdot \cos(\beta_Q) \cdot \cos(\lambda_Q)$$

$$V_Q = 192.49 \text{ kN}$$

$$H_L = H_{L\_P} + H_{L\_Q}$$

$$H_L = 65.40 \text{ kN}$$

$$H_B = H_{B\_P} + H_{B\_Q}$$

$$H_B = 76.19 \text{ kN}$$

obciążenie w poziomie posadowienia:

$$q_{\text{pos}} = \gamma_{\text{pod}} \cdot h_{\text{pos}}$$

$$G_f = h_f \cdot B \cdot L \cdot \gamma_{\text{bet}} + (h_{\text{pos}} - h_f) \cdot (B \cdot L \cdot \gamma_{\text{pod}}) \quad *$$

$$G_f = 73.22 \text{ kN}$$

$$G_{f\gamma} = G_f \cdot \gamma_G$$

$$G_{f\gamma} = 73.22 \text{ kN}$$

$$V = V_P + V_Q + G_{f\gamma}$$

$$V = 1062.66 \text{ kN}$$

wartość sił poziomych sprowadzona do podstawy fundamentu wywoła momenty:

$$M_B = -H_L \cdot h_f$$

$$M_B = -26.16 \text{ kN}\cdot\text{m}$$

$$M_L = H_B \cdot h_f$$

$$M_L = 30.48 \text{ kN}\cdot\text{m}$$

wypadkowa sił poziomych:

$$H = \sqrt{H_L^2 + H_B^2}$$

$$H = 100.41 \text{ kN}$$

Wymiary zredukowane podstawy fundamentu:

$$B' = B - 2 \cdot e_B$$

$$L' = L - 2 \cdot e_L$$

$$A' = (L' - 2 \cdot e_L) \cdot (B' - 2 \cdot e_B)$$

$$B' = 1.54 \text{ m}$$

$$L' = 2.15 \text{ m}$$

$$A' = 3.13 \text{ m}^2$$

Obliczenia na kierunku L zestawienie sił na powierzchni bocznej fundamentu Bxh.f.

$$A_{Bh} = B \cdot h_f \quad A_{Bh} = 0.64 \text{ m}^2$$

Współczynnik parcia czynnego:

$$K_a(\phi_{\gamma 2}) = \tan\left(\frac{\pi}{4} - \frac{\phi_{\gamma 2}}{2}\right)^2$$

Naprężenia pionowe na poziomie wierzchu fundamentu:

$$q_{v1} = (h_{\text{pos}} - h_f) \cdot \gamma_{\text{pod}} \cdot \gamma_G \quad *$$

Naprężenia pionowe na poziomie posadowienia:

$$q_{v2} = h_{\text{pos}} \cdot \gamma_{\text{pod}} \cdot \gamma_G$$

Naprężenia poziome na poziomie wierzchu fundamentu:

$$q_{h1} = K_a(\phi_{\gamma 2}) \cdot q_{v1}$$

Naprężenia poziome na poziomie posadowienia:

$$q_{h2} = K_a(\phi_{\gamma 2}) \cdot q_{v2}$$

$$K_a(\phi_{\gamma 2}) = 0.21$$

$$q_{h1} = 2.22 \text{ kPa}$$

$$q_{v1} = 10.80 \text{ kPa}$$

$$q_{h2} = 3.70 \text{ kPa}$$

$$q_{v2} = 18.00 \text{ kPa}$$

Siła działająca na ścianę pionową fundamentu:

$$H_{Lh} = A_{Bh} \cdot 0.5 \cdot (q_{h2} + q_{h1})$$

$$H_{Lh} = 1.90 \text{ kN}$$

Obliczenia na kierunku L zestawienie sił na powierzchni bocznej fundamentu Lxh.f.

$$A_{Lh} = L \cdot h_f \quad A_{Lh} = 0.88 \text{ m}^2$$

Siła działająca na ścianę pionową fundamentu:

$$H_{Bh} = A_{Lh} \cdot 0.5 \cdot (q_{h2} + q_{h1})$$

$$H_{Bh} = 2.61 \text{ kN}$$

Całkowita wartość sił w podstawie fundamentu:

$$H_L = H_{L\_P} + H_{L\_Q} + H_{Lh}$$

$$H_L = 67.30 \text{ kN}$$

$$H_B = H_{B\_P} + H_{B\_Q} + H_{Bh}$$

$$H_B = 78.80 \text{ kN}$$

Wartości sił utrzymujących:

$$c_{\gamma} = 0 \cdot \text{kPa} \quad *$$

Współczynnik odporu

$$K_p(\phi, \gamma_1) = \tan\left(\frac{\pi}{4} + \frac{\phi, \gamma_2}{2}\right)^2$$

Naprężenia pionowe na poziomie wierzchu fundamentu:

$$q_{v1} = (h_{\text{pos}} - h_f) \cdot \gamma_{\text{pod}} \cdot \gamma_G^{-1} \quad *$$

Naprężenia pionowe na poziomie posadowienia:

$$q_{v2} = h_{\text{pos}} \cdot \gamma_{\text{pod}} \cdot \gamma_G^{-1} \quad *$$

Naprężenia poziome na poziomie wierzchu fundamentu:

$$q_{h1} = K_p(\phi, \gamma_1) \cdot q_{v1}$$

Naprężenia poziome na poziomie posadowienia:

$$q_{h2} = K_p(\phi, \gamma_1) \cdot q_{v2}$$

Siła działająca na ścianę pionową fundamentu:

$$H_{Lh} = A_{Bh} \cdot 0.5 \cdot (q_{h2} + q_{h1})$$

Opór w podstawie fundamentu:

$$H_{Bh} = A_{Lh} \cdot 0.5 \cdot (q_{h2} + q_{h1})$$

$$K_p(\phi, \gamma_1) = 4.86$$

$$q_{h2} = 87.45 \text{ kPa}$$

$$q_{v1} = 10.80 \text{ kPa}$$

$$H_{Lh} = 44.78 \text{ kN}$$

$$q_{v2} = 18.00 \text{ kPa}$$

$$H_{Bh} = 61.57 \text{ kN}$$

$$q_{h1} = 52.47 \text{ kPa}$$

$$\delta = (\text{att} = 0) \cdot \frac{2 \cdot \phi}{3} + (\text{att} = 1) \cdot \phi \quad *$$

$$\delta = 35.00 \text{ deg}$$

Współczynniki bezpieczeństwa stosując do odporów.

$$R_{Ld} = (V \cdot \tan(\delta) + H_{Lh}) \cdot \gamma_{Rh}^{-1}$$

$$R_{Ld} = 788.86 \text{ kN}$$

$$R_{Bd} = (V \cdot \tan(\delta) + H_{Bh}) \cdot \gamma_{Rh}^{-1}$$

$$R_{Bd} = 805.65 \text{ kN}$$

$$\frac{H_{Lh}}{R_{Ld}} = 5.68 \%$$

$$\frac{H_{Bh}}{R_{Bd}} = 7.64 \%$$

Spełnione z dużym zapasem.

## Nośność na przesunięcie

### Przypadek obliczeniowy DA2

Wartości współczynników cząstkowych:

$$\gamma_Q = 1.50$$

$$\gamma_{tg\phi} = 1.00$$

$$\gamma_\gamma = 1.00$$

$$\gamma_G = 1.35$$

$$\gamma_c = 1.00$$

$$\gamma_{Rv} = 1.40$$

$$\gamma_{cu} = 1.00$$

$$\phi_{\gamma 1} = \text{atan}(\gamma_{tg\phi}^{-1} \cdot \tan(\phi)) \quad *$$

$$\phi_{\gamma 1} = 35.00 \text{ deg}$$

$$\phi_{\gamma 2} = \text{atan}(\gamma_{tg\phi} \cdot \tan(\phi))$$

$$\phi_{\gamma 2} = 35.00 \text{ deg}$$

$$P_\gamma = P \cdot \gamma_G$$

$$Q_\gamma = Q \cdot \gamma_Q$$

$$P_\gamma = 1080.00 \text{ kN}$$

$$Q_\gamma = 225.00 \text{ kN}$$

Składowe styczne i normalne do podstawy (odpowiednio od oddziaływań Q i P):

$$H_{L\_P} = P_\gamma \cdot \cos(\beta_P) \cdot \sin(\lambda_P)$$

$$H_{L\_P} = 56.39 \text{ kN}$$

$$H_{L\_Q} = Q_\gamma \cdot \cos(\beta_Q) \cdot \sin(\lambda_Q)$$

$$H_{L\_Q} = 27.27 \text{ kN}$$

$$H_{B\_P} = P_\gamma \cdot \sin(\beta_P)$$

$$H_{B\_P} = 75.34 \text{ kN}$$

$$H_{B\_Q} = Q_\gamma \cdot \sin(\beta_Q)$$

$$H_{B\_Q} = 23.52 \text{ kN}$$

$$V_P = P_\gamma \cdot \cos(\beta_P) \cdot \cos(\lambda_P)$$

$$V_P = 1075.89 \text{ kN}$$

$$V_Q = Q_\gamma \cdot \cos(\beta_Q) \cdot \cos(\lambda_Q)$$

$$V_Q = 222.10 \text{ kN}$$

$$H_L = H_{L\_P} + H_{L\_Q}$$

$$H_L = 83.66 \text{ kN}$$

$$H_B = H_{B\_P} + H_{B\_Q}$$

$$H_B = 98.86 \text{ kN}$$

obciążenie w poziomie posadowienia:

$$q_{\text{pos}} = \gamma_{\text{pod}} \cdot h_{\text{pos}}$$

$$G_f = h_f \cdot B \cdot L \cdot \gamma_{\text{bet}} + (h_{\text{pos}} - h_f) \cdot (B \cdot L \cdot \gamma_{\text{pod}}) \quad *$$

$$G_f = 73.22 \text{ kN}$$

$$G_{f\gamma} = G_f \cdot \gamma_G$$

$$G_{f\gamma} = 98.84 \text{ kN}$$

$$V = V_P + V_Q + G_{f\gamma}$$

$$V = 1396.83 \text{ kN}$$

wartość sił poziomych sprowadzona do podstawy fundamentu wywoła momenty:

$$M_B = -H_L \cdot h_f$$

$$M_B = -33.46 \text{ kN}\cdot\text{m}$$

$$M_L = H_B \cdot h_f$$

$$M_L = 39.54 \text{ kN}\cdot\text{m}$$

wypadkowa sił poziomych:

$$H = \sqrt{H_L^2 + H_B^2}$$

$$H = 129.50 \text{ kN}$$



Wymiary zredukowane podstawy fundamentu:

$$B' = B - 2 \cdot e_B$$

$$L' = L - 2 \cdot e_L$$

$$A' = (L' - 2 \cdot e_L) \cdot (B' - 2 \cdot e_B)$$

$$B' = 1.54 \text{ m}$$

$$L' = 2.15 \text{ m}$$

$$A' = 3.13 \text{ m}^2$$

Obliczenia na kierunku L zestawienie sił na powierzchnię boczną fundamentu

Bxh.f.

$$A_{Bh} = B \cdot h_f$$

$$A_{Bh} = 0.64 \text{ m}^2$$

Współczynnik parcia czynnego:

$$K_a(\phi_{\gamma 2}) = \tan\left(\frac{\pi}{4} - \frac{\phi_{\gamma 2}}{2}\right)^2$$

Naprężenia pionowe na poziomie wierzchu fundamentu:

$$q_{v1} = (h_{\text{pos}} - h_f) \cdot \gamma_{\text{pod}} \cdot \gamma_G \cdot *$$

Naprężenia pionowe na poziomie posadowienia:

$$q_{v2} = h_{\text{pos}} \cdot \gamma_{\text{pod}} \cdot \gamma_G$$

Naprężenia poziome na poziomie wierzchu fundamentu:

$$q_{h1} = K_a(\phi_{\gamma 2}) \cdot q_{v1}$$

Naprężenia poziome na poziomie posadowienia:

$$q_{h2} = K_a(\phi_{\gamma 2}) \cdot q_{v2}$$

Siła działająca na ścianę pionową fundamentu:

$$H_{Lh} = A_{Bh} \cdot 0.5 \cdot (q_{h2} + q_{h1})$$

$$K_a(\phi_{\gamma 2}) = 0.27$$

$$q_{h1} = 3.95 \text{ kPa}$$

$$q_{v1} = 14.58 \text{ kPa}$$

$$q_{h2} = 6.59 \text{ kPa}$$

$$q_{v2} = 24.30 \text{ kPa}$$

$$H_{Lh} = 3.37 \text{ kN}$$

Obliczenia na kierunku L zestawienie sił na powierzchnię boczną fundamentu Lxh.f.

$$A_{Lh} = L \cdot h_f$$

$$A_{Lh} = 0.88 \text{ m}^2$$

Siła działająca na ścianę pionową fundamentu:

$$H_{Bh} = A_{Lh} \cdot 0.5 \cdot (q_{h2} + q_{h1})$$

$$H_{Bh} = 4.64 \text{ kN}$$

Całkowita wartość sił w podstawie fundamentu:

$$H_L = H_{L\_P} + H_{L\_Q} + H_{Lh}$$

$$H_L = 87.03 \text{ kN}$$

$$H_B = H_{B\_P} + H_{B\_Q} + H_{Bh}$$

$$H_B = 103.49 \text{ kN}$$

Wartości sił utrzymujących:

$$c_{\gamma} = 0 \cdot \text{kPa} \cdot *$$

Współczynnik odporu

$$K_p(\phi_{\gamma 1}) = \tan\left(\frac{\pi}{4} + \frac{\phi_{\gamma 2}}{2}\right)^2$$

Napężenia pionowe na poziomie wierzchu fundamentu:

$$q_{v1} = (h_{\text{pos}} - h_f) \cdot \gamma_{\text{pod}} \cdot \gamma_G^{-1} *$$

Napężenia pionowe na poziomie posadowienia:

$$q_{v2} = h_{\text{pos}} \cdot \gamma_{\text{pod}} \cdot \gamma_G^{-1} *$$

Napężenia poziome na poziomie wierzchu fundamentu:

$$q_{h1} = K_p(\phi_{\gamma 1}) \cdot q_{v1}$$

Napężenia poziome na poziomie posadowienia:

$$q_{h2} = K_p(\phi_{\gamma 1}) \cdot q_{v2}$$

Siła działająca na ścianę pionową fundamentu:

$$H_{Lh} = A_{Bh} \cdot 0.5 \cdot (q_{h2} + q_{h1})$$

Opór w podstawie fundamentu:

$$H_{Bh} = A_{Lh} \cdot 0.5 \cdot (q_{h2} + q_{h1})$$

$$q_{v1} = 8.00 \text{ kPa}$$

$$q_{h2} = 49.20 \text{ kPa}$$

$$q_{v2} = 13.33 \text{ kPa}$$

$$H_{Lh} = 25.19 \text{ kN}$$

$$q_{h1} = 29.52 \text{ kPa}$$

$$H_{Bh} = 34.64 \text{ kN}$$

$$\delta = (\text{att} = 0) \cdot \frac{2 \cdot \phi}{3} + (\text{att} = 1) \cdot \phi *$$

$$\delta = 35.00 \text{ deg}$$

Współczynniki bezpieczeństwa stosuję do odporów.

$$R_{Ld} = (V \cdot \tan(\delta) + H_{Lh}) \cdot \gamma_{Rh}^{-1}$$

$$R_{Ld} = 912.06 \text{ kN}$$

$$R_{Bd} = (V \cdot \tan(\delta) + H_{Bh}) \cdot \gamma_{Rh}^{-1}$$

$$R_{Bd} = 920.65 \text{ kN}$$

$$\frac{H_{Lh}}{R_{Ld}} = 2.76 \%$$

$$\frac{H_{Bh}}{R_{Bd}} = 3.76 \%$$

## Nośność na przesunięcie

### Przypadek obliczeniowy DA3

Wartości współczynników cząstkowych:

$$\gamma_Q = 1.50$$

$$\gamma_{tg\phi} = 1.25$$

$$\gamma_\gamma = 1.00$$

$$\gamma_G = 1.35$$

$$\gamma_c = 1.25$$

$$\gamma_{Rv} = 1.00$$

$$\gamma_{cu} = 1.40$$

$$\phi_{\gamma 1} = \operatorname{atan}\left(\gamma_{tg\phi}^{-1} \cdot \tan(\phi)\right)$$

$$\phi_{\gamma 1} = 29.26 \text{ deg}$$

$$\phi_{\gamma 2} = \operatorname{atan}\left(\gamma_{tg\phi} \cdot \tan(\phi)\right)$$

$$\phi_{\gamma 2} = 41.19 \text{ deg}$$

$$P_\gamma = P \cdot \gamma_G$$

$$Q_\gamma = Q \cdot \gamma_Q$$

$$P_\gamma = 1080.00 \text{ kN}$$

$$Q_\gamma = 225.00 \text{ kN}$$

Składowe styczne i normalne do podstawy (odpowiednio od oddziaływań Q i P):

$$H_{L\_P} = P_\gamma \cdot \cos(\beta_P) \cdot \sin(\lambda_P)$$

$$H_{L\_P} = 56.39 \text{ kN}$$

$$H_{L\_Q} = Q_\gamma \cdot \cos(\beta_Q) \cdot \sin(\lambda_Q)$$

$$H_{L\_Q} = 27.27 \text{ kN}$$

$$H_{B\_P} = P_\gamma \cdot \sin(\beta_P)$$

$$H_{B\_P} = 75.34 \text{ kN}$$

$$H_{B\_Q} = Q_\gamma \cdot \sin(\beta_Q)$$

$$H_{B\_Q} = 23.52 \text{ kN}$$

$$V_P = P_\gamma \cdot \cos(\beta_P) \cdot \cos(\lambda_P)$$

$$V_P = 1075.89 \text{ kN}$$

$$V_Q = Q_\gamma \cdot \cos(\beta_Q) \cdot \cos(\lambda_Q)$$

$$V_Q = 222.10 \text{ kN}$$

$$H_L = H_{L\_P} + H_{L\_Q}$$

$$H_L = 83.66 \text{ kN}$$

$$H_B = H_{B\_P} + H_{B\_Q}$$

$$H_B = 98.86 \text{ kN}$$

obciążenie w poziomie posadowienia:

$$q_{pos} = \gamma_{pod} \cdot h_{pos}$$

$$G_f = h_f \cdot B \cdot L \cdot \gamma_{bet} + (h_{pos} - h_f) \cdot (B \cdot L \cdot \gamma_{pod}) *$$

$$G_f = 73.22 \text{ kN}$$

$$G_{f\gamma} = G_f \cdot \gamma_G$$

$$G_{f\gamma} = 98.84 \text{ kN}$$

$$V = V_P + V_Q + G_{f\gamma}$$

$$V = 1396.83 \text{ kN}$$

wartość sił poziomych sprowadzona do podstawy fundamentu wywoła momenty:

$$M_B = -H_L \cdot h_f$$

$$M_B = -33.46 \text{ kN}\cdot\text{m}$$

$$M_L = H_B \cdot h_f$$

$$M_L = 39.54 \text{ kN}\cdot\text{m}$$

wypadkowa sił poziomych:

$$H = \sqrt{H_L^2 + H_B^2}$$

$$H = 129.50 \text{ kN}$$

Wymiary zredukowane podstawy fundamentu:

$$B' = B - 2 \cdot e_B$$

$$L' = L - 2 \cdot e_L$$

$$A' = (L' - 2 \cdot e_L) \cdot (B' - 2 \cdot e_B)$$

$$B' = 1.54 \text{ m}$$

$$L' = 2.15 \text{ m}$$

$$A' = 3.13 \text{ m}^2$$

Obliczenia na kierunku L zestawienie sił na powierzchni bocznej fundamentu Bxh.f.

$$A_{Bh} = B \cdot h_f$$

$$A_{Bh} = 0.64 \text{ m}^2$$

Współczynnik parcia czynnego:

$$K_a(\phi_{\gamma 2}) = \tan\left(\frac{\pi}{4} - \frac{\phi_{\gamma 2}}{2}\right)^2$$

Naprężenia pionowe na poziomie wierzchu fundamentu:

$$q_{v1} = (h_{\text{pos}} - h_f) \cdot \gamma_{\text{pod}} \cdot \gamma_G \cdot *$$

Naprężenia pionowe na poziomie posadowienia:

$$q_{v2} = h_{\text{pos}} \cdot \gamma_{\text{pod}} \cdot \gamma_G$$

Naprężenia poziome na poziomie wierzchu fundamentu:

$$q_{h1} = K_a(\phi_{\gamma 2}) \cdot q_{v1}$$

Naprężenia poziome na poziomie posadowienia:

$$q_{h2} = K_a(\phi_{\gamma 2}) \cdot q_{v2}$$

Siła działająca na ścianę pionową fundamentu:

$$H_{Lh} = A_{Bh} \cdot 0.5 \cdot (q_{h2} + q_{h1})$$

$$K_a(\phi_{\gamma 2}) = 0.21$$

$$q_{h1} = 3.00 \text{ kPa}$$

$$q_{v1} = 14.58 \text{ kPa}$$

$$q_{h2} = 5.00 \text{ kPa}$$

$$q_{v2} = 24.30 \text{ kPa}$$

$$H_{Lh} = 2.56 \text{ kN}$$

Obliczenia na kierunku L zestawienie sił na powierzchni bocznej fundamentu Lxh.f.

$$A_{Lh} = L \cdot h_f$$

$$A_{Lh} = 0.88 \text{ m}^2$$

Siła działająca na ścianę pionową fundamentu:

$$H_{Bh} = A_{Lh} \cdot 0.5 \cdot (q_{h2} + q_{h1})$$

$$H_{Bh} = 3.52 \text{ kN}$$

Całkowita wartość sił w podstawie fundamentu:

$$H_L = H_{L\_P} + H_{L\_Q} + H_{Lh}$$

$$H_L = 86.22 \text{ kN}$$

$$H_B = H_{B\_P} + H_{B\_Q} + H_{Bh}$$

$$H_B = 102.38 \text{ kN}$$

Wartości sił utrzymujących:

$$c_{\gamma} = 0 \cdot \text{kPa} \quad *$$

Współczynnik odporu

$$K_p(\phi_{\gamma 1}) = \tan\left(\frac{\pi}{4} + \frac{\phi_{\gamma 2}}{2}\right)^2$$

Naprężenia pionowe na poziomie wierzchu fundamentu:

$$q_{v1} = (h_{\text{pos}} - h_f) \cdot \gamma_{\text{pod}} \cdot \gamma_G^{-1} \quad *$$

Naprężenia pionowe na poziomie posadowienia:

$$q_{v2} = h_{\text{pos}} \cdot \gamma_{\text{pod}} \cdot \gamma_G^{-1} \quad *$$

Naprężenia poziome na poziomie wierzchu fundamentu:

$$q_{h1} = K_p(\phi_{\gamma 1}) \cdot q_{v1}$$

Naprężenia poziome na poziomie posadowienia:

$$q_{h2} = K_p(\phi_{\gamma 1}) \cdot q_{v2}$$

Siła działająca na ścianę pionową fundamentu:

$$H_{Lh} = A_{Bh} \cdot 0.5 \cdot (q_{h2} + q_{h1})$$

Opór w podstawie fundamentu:

$$H_{Bh} = A_{Lh} \cdot 0.5 \cdot (q_{h2} + q_{h1})$$

$$K_p(\phi_{\gamma 1}) = 4.86$$

$$q_{h1} = 38.87 \text{ kPa}$$

$$q_{v1} = 8.00 \text{ kPa}$$

$$q_{h2} = 64.78 \text{ kPa}$$

$$q_{v2} = 13.33 \text{ kPa}$$

$$H_{Lh} = 33.17 \text{ kN}$$

$$H_{Bh} = 45.61 \text{ kN}$$

$$\delta = (\text{att} = 0) \cdot \frac{2 \cdot \phi}{3} + (\text{att} = 1) \cdot \phi \quad *$$

$$\delta = 35.00 \text{ deg}$$

Współczynniki bezpieczeństwa stosują do odporów.

$$R_{Ld} = (V \cdot \tan(\delta) + H_{Lh}) \cdot \gamma_{Rh}^{-1} \quad R_{Ld} = 1011.24 \text{ kN}$$

$$R_{Bd} = (V \cdot \tan(\delta) + H_{Bh}) \cdot \gamma_{Rh}^{-1} \quad R_{Bd} = 920.65 \text{ kN}$$

$$\frac{H_{Bh}}{R_{Bd}} = 4.46 \%$$

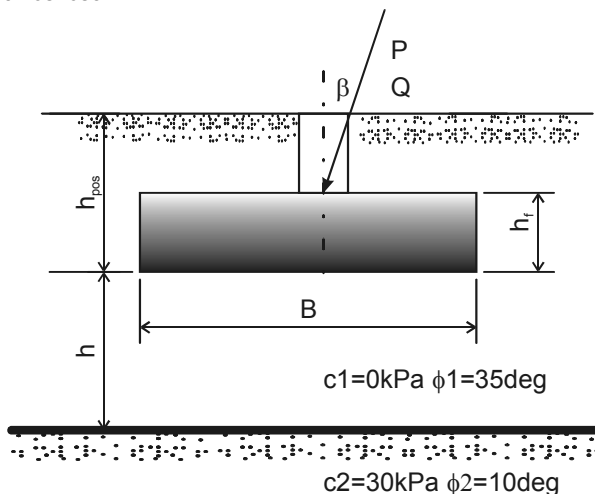
$$\frac{H_{Lh}}{R_{Ld}} = 3.28 \%$$

Rozdział 5

Przykład obliczeniowy 2

## Przykład obliczeniowy 2

Ława fundamentowa obciążona jak na rysunku poniżej - sprawdzenie nośności:



Rys. Przedstawiono schemat obciążenia ławy fundamentowej.

Warstwa piasku została przewierconana  $h=1.2\text{m}$  poniżej podstawy fundamentu. Pod Sa zalegają Ci o parametrach jak na rysunku. Wody gruntowej nie stwierdzono. Parametry gruntu wraz z opisem zestawiono także poniżej:

$$c_1 = 0 \cdot \text{kPa} \quad * \quad c_2 = 30 \cdot \text{kPa} \quad \phi_1 = 35 \cdot \text{deg} \quad \phi_2 = 10 \cdot \text{deg}$$

$$\gamma_1 = 17 \cdot \frac{\text{kN}}{\text{m}^3} \quad \gamma_2 = 22 \cdot \frac{\text{kN}}{\text{m}^3}$$

$$h = 1.2 \cdot \text{m}$$

### Wymiary fundamentu sprawdzanego:

szerokość:  $B = 1.6 \cdot \text{m}$

długość:  $L = 16.8 \cdot \text{m}$

wysokość:  $h_f = 0.4 \cdot \text{m}$

### Dane materiałowe geometryczne i obciążenia fundamentu.

#### Parametry podłoża:

$$H_{Cr} = 0.5 \cdot B \cdot \tan(45\text{deg} + 0.5 \cdot \phi_1) \quad *$$

$$H_{Cr} = 1.54 \text{ m}$$

$$c = \frac{c_1 \cdot h + c_2 \cdot (H_{Cr} - h)}{H_{Cr}} \quad \phi = \frac{\phi_1 \cdot h + \phi_2 \cdot (H_{Cr} - h)}{H_{Cr}}$$

$$c = 6.57 \text{ kPa}$$

$$\phi = 29.52 \text{ deg}$$

$$\gamma_{\text{pod}} = \frac{\gamma_1 \cdot h + \gamma_2 \cdot (H_{\text{cr}} - h)}{H_{\text{cr}}}$$

$$\gamma_{\text{pod}} = 18.10 \frac{\text{kN}}{\text{m}^3}$$

spójność:

$$c = 6.57 \text{ kPa}$$

ciężar objętościowy:

$$\gamma_{\text{pod}} = 18.10 \frac{\text{kN}}{\text{m}^3}$$

kął tarcia wewnętrzznego:

$$\phi = 29.52 \text{ deg}$$

### **Obciążenia przyłożone do wierzchu fundamentu (jak na schemacie):**

stałe:

$$P = 6800 \cdot \text{kN}$$

zmiennie

$$Q = 850 \cdot \text{kN}$$

:

### **Nachylenie sił względem normalnej do podstawy fundamentu:**

$$\lambda_P = 0 \cdot \text{deg} \quad *$$

$$\lambda_Q = 0 \cdot \text{deg} \quad *$$

$$\beta_P = 4 \cdot \text{deg}$$

$$\beta_Q = 6 \cdot \text{deg}$$

### **Ciężar elementów konstrukcji fundamentu dla głębokości posadowienia:**

głębokość posadowienia:

$$h_{\text{pos}} = 1.0 \cdot \text{m}$$

ciężar objętościowy  
betonu:

$$\gamma_{\text{bet}} = 25 \cdot \frac{\text{kN}}{\text{m}^3}$$

szorstkość podstawy (0 gładki np. prefabrykowany, 1 szorstki np. monolityczny)

## **Nośność podłoża**

### **Przypadek obliczeniowy DA1/1**

Wartości współczynników cząstkowych:

$$\gamma_Q = 1.50$$

$$\gamma_{\text{tg}\phi} = 1.00$$

$$\gamma_\gamma = 1.00$$

$$\gamma_G = 1.35$$

$$\gamma_c = 1.00$$

$$\gamma_{Rv} = 1.00$$

$$\gamma_{cu} = 1.00$$

$$\phi_{\gamma.} = \text{atan}\left(\gamma_{\text{tg}\phi}^{-1} \cdot \tan(\phi)\right)$$

$$\phi_\gamma = 29.52 \text{ deg}$$



$$c_{\gamma} = \frac{c}{\gamma_c}$$

$$c_{\gamma} = 6.57 \text{ kPa}$$

$$N_{q\_EC7}(\phi') = e^{\pi \cdot \tan(\phi')} \cdot \tan\left(\frac{\pi}{4} + \frac{\phi'}{2}\right)^2$$

$$N_{q\_EC7}(\phi_{\gamma}) = 17.43$$

$$N_{\gamma\_EC7}(\phi') = 2 \cdot (N_{q\_EC7}(\phi') - 1) \cdot \tan(\phi')$$

$$N_{\gamma\_EC7}(\phi_{\gamma}) = 18.61$$

$$N_{c\_EC7}(\phi') = (N_{q\_EC7}(\phi') - 1) \cdot \frac{1}{\tan(\phi')}$$

$$N_{c\_EC7}(\phi_{\gamma}) = 29.02$$

$$P_{\gamma} = P \cdot \gamma_G$$

$$Q_{\gamma} = Q \cdot \gamma_Q$$

$$P_{\gamma} = 9180.00 \text{ kN}$$

$$Q_{\gamma} = 1275.00 \text{ kN}$$

Składowe styczne i normalne do podstawy (odpowiednio od oddziaływań Q i P):

$$H_{B\_P} = P_{\gamma} \cdot \sin(\beta_P)$$

$$H_{B\_P} = 640.36 \text{ kN}$$

$$H_{B\_Q} = Q_{\gamma} \cdot \sin(\beta_Q)$$

$$H_{B\_Q} = 133.27 \text{ kN}$$

$$V_P = P_{\gamma} \cdot \cos(\beta_P) \cos(\lambda_P)$$

$$V_P = 9157.64 \text{ kN}$$

$$V_Q = Q_{\gamma} \cdot \cos(\beta_Q) \cos(\lambda_Q)$$

$$V_Q = 1268.02 \text{ kN}$$

$$H_B = H_{B\_P} + H_{B\_Q}$$

$$H_B = 773.64 \text{ kN}$$

obciążenie w poziomie posadowienia:

$$G_f = h_f \cdot B \cdot L \cdot \gamma_{bet} + (h_{pos} - h_f) \cdot (B \cdot L \cdot \gamma_{pod})$$

$$q_{pos} = \gamma_{pod} \cdot h_{pos}$$

$$G_f = 560.65 \text{ kN}$$

$$G_{f\gamma} = G_f \cdot \gamma_G$$

$$G_{f\gamma} = 756.88 \text{ kN}$$

$$V = V_P + V_Q + G_{f\gamma}$$

$$V = 11182.53 \text{ kN}$$

wartość sił poziomych sprowadzona do podstawy fundamentu wywoła momenty:

$$M_B = 0$$

$$M_B = 0.00 \text{ kN}\cdot\text{m}$$

$$M_L = H_B \cdot h_f$$

$$M_L = 309.46 \text{ kN}\cdot\text{m}$$

wypadkowa sił poziomych:

$$H = \sqrt{0 + H_B^2}$$

$$H = 773.64 \text{ kN}$$

mimośrodry przyłożenia siły wypadkowej:

$$e_L = \frac{|M_B|}{V} \cdot$$

$$e_L = 0.00 \text{ cm}$$

$$e_B = \frac{|M_L|}{V}$$

$$e_B = 2.77 \text{ cm}$$

Sprawdzam położenie wypadkowej względem rdzenia podstawy:

$$\frac{6 \cdot e_B}{B} + \frac{6 \cdot e_L}{L} = 0.10$$

wartość mniejsza od 1.00 oznacza że wypadkowa jest w rdzeniu.

Wymiary zredukowane podstawy fundamentu:

$$B' = B - 2 \cdot e_B \qquad L' = L - 2 \cdot e_L \quad * \qquad A' = (L' - 2 \cdot e_L) \cdot (B' - 2 \cdot e_B)$$

$$B' = 1.54 \text{ m} \qquad L' = 16.80 \text{ m} \qquad A' = 25.02 \text{ m}^2$$

wartość współczynników związanych z nachyleniem podstawy fundamentu:

$$b_{\gamma\_EC7}(\phi, \alpha) = (1 - \alpha \cdot \tan(\phi))^2 \qquad b_{q\_EC7}(\phi, \alpha) = b_{\gamma\_EC7}(\phi, \alpha)$$

$$b_{c\_EC7}(\phi, \alpha) = b_{q\_EC7}(\phi, \alpha) - \frac{1 - b_{q\_EC7}(\phi, \alpha)}{N_{q\_EC7}(\phi) - 1}$$

$$\alpha = 0 \cdot \text{deg} \quad *$$

$$b_{\gamma\_EC7}(\phi_{\gamma}, \alpha) = 1.00 \qquad b_{q\_EC7}(\phi_{\gamma}, \alpha) = 1.00 \qquad b_{c\_EC7}(\phi_{\gamma}, \alpha) = 1.00$$

wyznaczam współczynniki związane z nachyleniem wypadkowej:

$$m_B(B', L') = \frac{2 + \frac{B'}{L'}}{1 + \frac{B'}{L'}} \qquad m_B(B', L') = 1.92$$

$$m_L(B', L') = \frac{2 + \frac{L'}{B'}}{1 + \frac{L'}{B'}} \qquad m_L(B', L') = 1.08$$

$$\Theta = \text{asin}\left(\frac{H_B}{H}\right) \qquad \Theta = 90.00 \text{ deg}$$

$$m_{\Theta}(B', L', \Theta) = m_L(B', L') \cdot \cos(\Theta)^2 + m_B(B', L') \cdot \sin(\Theta)^2$$

$$m_{\Theta}(B', L', \Theta) = 1.92$$

$$i_{q\_EC7}(\phi', c', H, V, B', L', \Theta) = \left(1 - \frac{H}{V + B' \cdot L' \cdot c' \cdot \tan(\phi')^{-1}}\right) m_{\Theta}(B', L', \Theta)$$

$$i_{q\_EC7}(\phi_{\gamma}, c_{\gamma}, H, V, B', L', \Theta) = 0.87$$

$$i_{\gamma\_EC7}(\phi', c', H, V, B, L, \Theta) = i_{q\_EC7}(\phi', c', H, V, B, L, \Theta)^2$$

$$i_{\gamma\_EC7}(\phi_{\gamma}, c_{\gamma}, H, V, B', L', \Theta) = 0.77$$

$$i_{c\_EC7}(\phi', c', H, V, B, L, \Theta) = i_{q\_EC7}(\phi', c', H, V, B, L, \Theta) - \frac{1 - i_{q\_EC7}(\phi', c', H, V, B, L, \Theta)}{N_{q\_EC7}(\phi') - 1}$$

$$i_{C\_EC7}(\phi_\gamma, c_\gamma, H, V, B', L', \Theta) = 0.87$$

współczynniki kształtu:

$$s_{q\_EC7}(\phi', B', L') = 1 + \frac{B'}{L'} \cdot \sin(\phi')$$

$$s_{q\_EC7}(\phi_\gamma, B', L') = 1.05$$

$$s_{\gamma\_EC7}(B', L') = 1 - 0.3 \cdot \frac{B'}{L'}$$

$$s_{\gamma\_EC7}(B', L') = 0.97$$

$$s_{c\_EC7}(\phi', B', L') = \frac{s_{q\_EC7}(\phi', B', L') \cdot N_{q\_EC7}(\phi') - 1}{N_{q\_EC7}(\phi') - 1}$$

$$s_{c\_EC7}(\phi_\gamma, B', L') = 1.05$$

Teraz wyznaczam składniki nośności podłoża:

$$SKL_C = c_\gamma \cdot N_{c\_EC7}(\phi_\gamma) \cdot b_{c\_EC7}(\phi_\gamma, \alpha) \cdot s_{c\_EC7}(\phi_\gamma, B', L') \cdot i_{C\_EC7}(\phi_\gamma, c_\gamma, H, V, B', L', \Theta)$$

$$SKL_q = q_{pos} \cdot \gamma_{Gf}^{-1} \cdot N_{q\_EC7}(\phi_\gamma) \cdot b_{q\_EC7}(\phi_\gamma, \alpha) \cdot s_{q\_EC7}(\phi_\gamma, B', L') \cdot i_{q\_EC7}(\phi_\gamma, c_\gamma, H, V, B', L', \Theta)$$

$$SKL_\gamma = 0.5 \cdot \gamma_{pod} \cdot \gamma_\gamma^{-1} \cdot B' \cdot N_{\gamma\_EC7}(\phi_\gamma) \cdot b_{\gamma\_EC7}(\phi_\gamma, \alpha) \cdot s_{\gamma\_EC7}(B', L') \cdot i_{\gamma\_EC7}(\phi_\gamma, c_\gamma, H, V, B', L', \Theta)$$

$$SKL_C = 173.42 \text{ kPa}$$

$$SKL_q = 288.50 \text{ kPa}$$

$$SKL_\gamma = 193.61 \text{ kPa}$$

$$R = A' \cdot (SKL_C + SKL_q + SKL_\gamma) \cdot \gamma_{Rv}^{-1} \quad R = 16401.65 \text{ kN} \quad V = 11182.53 \text{ kN}$$

$$\frac{V}{R} = 68\%$$

Jeżeli wartość jest większa od 100%, oznacza, że podłoże ma zbyt małą nośność.

## Przypadek obliczeniowy DA1/2

Wartości współczynników cząstkowych:

$$\gamma_Q = 1.50$$

$$\gamma_{tg\phi} = 1.00$$

$$\gamma_\gamma = 1.00$$

$$\gamma_G = 1.00$$

$$\gamma_c = 1.25$$

$$\gamma_{Rv} = 1.00$$

$$\gamma_{cu} = 1.40$$

$$\phi_\gamma = \text{atan}\left(\gamma_{tg\phi}^{-1} \cdot \tan(\phi)\right)$$

$$\phi_\gamma = 24.37 \text{ deg}$$

$$c_\gamma = \frac{c}{\gamma_c}$$

$$c_\gamma = 5.26 \text{ kPa}$$

$$N_{q\_EC7}(\phi_\gamma) = 9.98$$

$$N_{\gamma\_EC7}(\phi_\gamma) = 8.14$$

$$N_{c\_EC7}(\phi_\gamma) = 19.83$$

$$P_\gamma = P \cdot \gamma_G$$

$$Q_\gamma = Q \cdot \gamma_Q$$

$$P_\gamma = 6800.00 \text{ kN}$$

$$Q_\gamma = 1105.00 \text{ kN}$$

Składowe styczne i normalne do podstawy (odpowiednio od oddziaływań Q i P):

$$H_{B\_P} = P_\gamma \cdot \sin(\beta_P)$$

$$H_{B\_P} = 474.34 \text{ kN}$$

$$H_{B\_Q} = Q_\gamma \cdot \sin(\beta_Q)$$

$$H_{B\_Q} = 115.50 \text{ kN}$$

$$V_P = P_\gamma \cdot \cos(\beta_P) \cos(\lambda_P)$$

$$V_P = 6783.44 \text{ kN}$$

$$V_Q = Q_\gamma \cdot \cos(\beta_Q) \cos(\lambda_Q)$$

$$V_Q = 1098.95 \text{ kN}$$

$$H_B = H_{B\_P} + H_{B\_Q}$$

$$H_B = 589.85 \text{ kN}$$

obciążenie w poziomie posadowienia:

$$q_{\text{pos}} = \gamma_{\text{pod}} \cdot h_{\text{pos}}$$

$$G_f = h_f \cdot B \cdot L \cdot \gamma_{\text{bet}} + (h_{\text{pos}} - h_f) \cdot (B \cdot L \cdot \gamma_{\text{pod}})$$

$$G_f = 560.65 \text{ kN}$$

$$G_{f\gamma} = G_f \cdot \gamma_G$$

$$G_{f\gamma} = 560.65 \text{ kN}$$

$$V = V_P + V_Q + G_{f\gamma}$$

$$V = 8443.03 \text{ kN}$$

wartość sił poziomych sprowadzona do podstawy fundamentu wywoła momenty:

$$M_L = H_B \cdot h_f$$

$$M_L = 235.94 \text{ kN}\cdot\text{m}$$

wypadkowa sił poziomych:

$$H = \sqrt{0 + H_B^2}$$

$$H = 589.85 \text{ kN}$$

mimośrodowość przyłożenia siły wypadkowej:

$$e_L = \frac{|M_B|}{V} \quad * \quad e_L = 0.00 \text{ cm}$$

$$e_B = \frac{|M_L|}{V} \quad e_B = 2.79 \text{ cm}$$

Sprawdzam położenie wypadkowej względem rdzenia podstawy:

$$\frac{6 \cdot e_B}{B} + \frac{6 \cdot e_L}{L} = 0.10$$

wartość mniejsza od 1.00 oznacza że wypadkowa jest w rdzeniu.

Wymiary zredukowane podstawy fundamentu

$$B' = B - 2 \cdot e_B \qquad L' = L - 2 \cdot e_L \quad * \qquad A' = (L' - 2 \cdot e_L) \cdot (B' - 2 \cdot e_B)$$

$$B' = 1.54 \text{ m} \qquad L' = 16.80 \text{ m} \qquad A' = 25.00 \text{ m}^2$$

wartość współczynników związanych z nachyleniem podstawy fundamentu:

$$b_{\gamma\_EC7}(\phi_{\gamma}, \alpha) = 1.00 \qquad b_{q\_EC7}(\phi_{\gamma}, \alpha) = 1.00 \qquad b_{c\_EC7}(\phi_{\gamma}, \alpha) = 1.00$$

wyznaczam współczynniki związane z nachyleniem wypadkowej:

$$m_B(B', L') = 1.92 \qquad m_L(B', L') = 1.08$$

$$\Theta = \arcsin\left(\frac{H_B}{H}\right) \qquad \Theta = 90.00 \text{ deg}$$

$$m_{\Theta}(B', L', \Theta) = 1.92$$

$$i_{q\_EC7}(\phi_{\gamma}, c_{\gamma}, H, V, B', L', \Theta) = 0.87$$

$$i_{\gamma\_EC7}(\phi_{\gamma}, c_{\gamma}, H, V, B', L', \Theta) = 0.77$$

$$i_{c\_EC7}(\phi_{\gamma}, c_{\gamma}, H, V, B', L', \Theta) = 0.86$$

współczynniki kształtu:

$$s_{q\_EC7}(\phi_{\gamma}, B', L') = 1.04$$

$$s_{\gamma\_EC7}(B', L') = 0.97$$

$$s_{c\_EC7}(\phi_{\gamma}, B', L') = 1.04$$

Teraz wyznaczam składniki nośności podłoża:

$$SKL_C = c_{\gamma} \cdot N_{c\_EC7}(\phi_{\gamma}) \cdot b_{c\_EC7}(\phi_{\gamma}, \alpha) \cdot s_{c\_EC7}(\phi_{\gamma}, B', L') \cdot i_{c\_EC7}(\phi_{\gamma}, c_{\gamma}, H, V, B', L', \Theta)$$

$$SKL_q = q_{pos} \cdot \gamma_{Gf}^{-1} \cdot N_{q\_EC7}(\phi_{\gamma}) \cdot b_{q\_EC7}(\phi_{\gamma}, \alpha) \cdot s_{q\_EC7}(\phi_{\gamma}, B', L') \cdot i_{q\_EC7}(\phi_{\gamma}, c_{\gamma}, H, V, B', L', \Theta)$$

$$SKL_{\gamma} = 0.5 \cdot \gamma_{pod} \cdot \gamma_{\gamma}^{-1} \cdot B' \cdot N_{\gamma\_EC7}(\phi_{\gamma}) \cdot b_{\gamma\_EC7}(\phi_{\gamma}, \alpha) \cdot s_{\gamma\_EC7}(B', L') \cdot i_{\gamma\_EC7}(\phi_{\gamma}, c_{\gamma}, H, V, B', L', \Theta)$$

$$SKL_C = 93.55 \text{ kPa}$$

$$SKL_q = 164.00 \text{ kPa}$$

$$SKL_\gamma = 84.60 \text{ kPa}$$

$$R = A' \cdot (SKL_C + SKL_q + SKL_\gamma) \cdot \gamma_{Rv}^{-1}$$

$$R = 8554.47 \text{ kN}$$

$$V = 8443.03 \text{ kN}$$

$$\frac{V}{R} = 99\%$$

Minimalny zapas nośności.

## Przypadek obliczeniowy DA2

Wartości współczynników cząstkowych:

$$\gamma_Q = 1.50$$

$$\gamma_{tg\phi} = 1.00$$

$$\gamma_\gamma = 1.00$$

$$\gamma_G = 1.35$$

$$\gamma_c = 1.00$$

$$\gamma_{Rv} = 1.40$$

$$\gamma_{cu} = 1.00$$

$$\phi_{\gamma_s} = \text{atan}(\gamma_{tg\phi}^{-1} \cdot \tan(\phi))$$

$$\phi_\gamma = 29.52 \text{ deg}$$

$$c_\gamma = \frac{c}{\gamma_c}$$

$$c_\gamma = 6.57 \text{ kPa}$$

$$N_{q\_EC7}(\phi_\gamma) = 17.43$$

$$N_{\gamma\_EC7}(\phi_\gamma) = 18.61$$

$$N_{c\_EC7}(\phi_\gamma) = 29.02$$

$$P_\gamma = P \cdot \gamma_G$$

$$Q_\gamma = Q \cdot \gamma_Q$$

$$P_\gamma = 9180.00 \text{ kN}$$

$$Q_\gamma = 1275.00 \text{ kN}$$

Składowe styczne i normalne do podstawy (odpowiednio od oddziaływań Q i P):

$$H_{B\_P} = P_\gamma \cdot \sin(\beta_P)$$

$$H_{B\_P} = 640.36 \text{ kN}$$

$$H_{B\_Q} = Q_\gamma \cdot \sin(\beta_Q)$$

$$H_{B\_Q} = 133.27 \text{ kN}$$

$$V_P = P_\gamma \cdot \cos(\beta_P) \cos(\lambda_P)$$

$$V_P = 9157.64 \text{ kN}$$

$$V_Q = Q_\gamma \cdot \cos(\beta_Q) \cos(\lambda_Q)$$

$$V_Q = 1268.02 \text{ kN}$$

$$H_B = H_{B\_P} + H_{B\_Q}$$

$$H_B = 773.64 \text{ kN}$$

obciążenie w poziomie posadowienia:

$$q_{\text{pos}} = \gamma_{\text{pod}} \cdot h_{\text{pos}}$$

$$G_f = h_f \cdot B \cdot L \cdot \gamma_{\text{bet}} + (h_{\text{pos}} - h_f) \cdot (B \cdot L \cdot \gamma_{\text{pod}})$$

$$G_f = 560.65 \text{ kN}$$

$$G_{f\gamma} = G_f \cdot \gamma_G$$

$$G_{f\gamma} = 756.88 \text{ kN}$$

$$V = V_P + V_Q + G_{f\gamma}$$

$$V = 11182.53 \text{ kN}$$

wartość sił poziomych sprowadzona do podstawy fundamentu wywoła momenty:

$$M_L = H_B \cdot h_f$$

$$M_L = 309.46 \text{ kN}\cdot\text{m}$$

wypadkowa sił poziomych:

$$H = \sqrt{0 + H_B^2}$$

$$H = 773.64 \text{ kN}$$

mimośrodowość przyłożenia siły wypadkowej:

$$e_L = \frac{|M_B|}{V} \quad * \quad e_L = 0.00 \text{ cm}$$

$$e_B = \frac{|M_L|}{V} \quad e_B = 2.77 \text{ cm}$$

Sprawdzam położenie wypadkowej względem rdzenia podstawy:

$$\frac{6 \cdot e_B}{B} + \frac{6 \cdot e_L}{L} = 0.10$$

wartość mniejsza od 1.00 oznacza że wypadkowa jest w rdzeniu.

Wymiary zredukowane podstawy fundamentu:

$$B' = B - 2 \cdot e_B$$

$$L' = L - 2 \cdot e_L \quad *$$

$$A' = (L' - 2 \cdot e_L) \cdot (B' - 2 \cdot e_B)$$

$$B' = 1.54 \text{ m}$$

$$L' = 16.80 \text{ m}$$

$$A' = 25.02 \text{ m}^2$$

wartość współczynników związanych z nachyleniem podstawy fundamentu:

$$\alpha = 0 \cdot \text{deg} \quad *$$

$$b_{\gamma\_EC7}(\phi_\gamma, \alpha) = 1.00$$

$$b_{q\_EC7}(\phi_\gamma, \alpha) = 1.00$$

$$b_{c\_EC7}(\phi_\gamma, \alpha) = 1.00$$

wyznaczam współczynniki związane z nachyleniem wypadkowej:

$$m_L(B', L') = 1.08 \quad \Theta = \arcsin\left(\frac{H_B}{H}\right) \quad \Theta = 90.00 \text{ deg}$$

$$m_\Theta(B', L', \Theta) = 1.92$$

$$i_{q\_EC7}(\phi_\gamma, c_\gamma, H, V, B', L', \Theta) = 0.87$$

$$i_{\gamma\_EC7}(\phi_\gamma, c_\gamma, H, V, B', L', \Theta) = 0.77$$

$$i_{c\_EC7}(\phi_\gamma, c_\gamma, H, V, B', L', \Theta) = 0.87$$

współczynniki kształtu:

$$s_{q\_EC7}(\phi_\gamma, B', L') = 1.05$$

$$s_{\gamma\_EC7}(B', L') = 0.97$$

$$s_{c\_EC7}(\phi_\gamma, B', L') = 1.05$$

Teraz wyznaczam składniki nośności podłoża:

$$SKL_C = c_\gamma \cdot N_{c\_EC7}(\phi_\gamma) \cdot b_{c\_EC7}(\phi_\gamma, \alpha) \cdot s_{c\_EC7}(\phi_\gamma, B', L') \cdot i_{c\_EC7}(\phi_\gamma, c_\gamma, H, V, B', L', \Theta)$$

$$SKL_q = q_{pos} \cdot \gamma_{Gf}^{-1} \cdot N_{q\_EC7}(\phi_\gamma) \cdot b_{q\_EC7}(\phi_\gamma, \alpha) \cdot s_{q\_EC7}(\phi_\gamma, B', L') \cdot i_{q\_EC7}(\phi_\gamma, c_\gamma, H, V, B', L', \Theta)$$

$$SKL_\gamma = 0.5 \cdot \gamma_{pod} \cdot \gamma_\gamma^{-1} \cdot B' \cdot N_{\gamma\_EC7}(\phi_\gamma) \cdot b_{\gamma\_EC7}(\phi_\gamma, \alpha) \cdot s_{\gamma\_EC7}(B', L') \cdot i_{\gamma\_EC7}(\phi_\gamma, c_\gamma, H, V, B', L', \Theta)$$

$$SKL_C = 173.42 \text{ kPa}$$

$$SKL_q = 288.50 \text{ kPa}$$

$$SKL_\gamma = 193.61 \text{ kPa}$$

$$R = A' \cdot (SKL_C + SKL_q + SKL_\gamma) \cdot \gamma_{Rv}^{-1} \quad R = 11715.47 \text{ kN} \quad V = 11182.53 \text{ kN}$$

$$\frac{V}{R} = 95\%$$



**Przypadek obliczeniowy DA3**

Wartości współczynników cząstkowych:

$$\gamma_Q = 1.50$$

$$\gamma_{tg\phi} = 1.25$$

$$\gamma_\gamma = 1.00$$

$$\gamma_G = 1.35$$

$$\gamma_c = 1.25$$

$$\gamma_{Rv} = 1.00$$

$$\gamma_{cu} = 1.40$$

$$\phi_{\gamma} = \text{atan}\left(\gamma_{tg\phi}^{-1} \cdot \tan(\phi)\right)$$

$$\phi_{\gamma} = 24.37 \text{ deg}$$

$$c_{\gamma} = \frac{c}{\gamma_c}$$

$$c_{\gamma} = 5.26 \text{ kPa}$$

$$N_{q\_EC7}(\phi_{\gamma}) = 9.98$$

$$N_{\gamma\_EC7}(\phi_{\gamma}) = 8.14$$

$$N_{c\_EC7}(\phi_{\gamma}) = 19.83$$

$$P_{\gamma} = P \cdot \gamma_G$$

$$Q_{\gamma} = Q \cdot \gamma_Q$$

$$P_{\gamma} = 9180.00 \text{ kN}$$

$$Q_{\gamma} = 1275.00 \text{ kN}$$

Składowe styczne i normalne do podstawy (odpowiednio od oddziaływań Q i P):

$$H_{B\_P} = P_{\gamma} \cdot \sin(\beta_P)$$

$$H_{B\_P} = 640.36 \text{ kN}$$

$$H_{B\_Q} = Q_{\gamma} \cdot \sin(\beta_Q)$$

$$H_{B\_Q} = 133.27 \text{ kN}$$

$$V_P = P_{\gamma} \cdot \cos(\beta_P) \cos(\lambda_P)$$

$$V_P = 9157.64 \text{ kN}$$

$$V_Q = Q_{\gamma} \cdot \cos(\beta_Q) \cos(\lambda_Q)$$

$$V_Q = 1268.02 \text{ kN}$$

$$H_B = H_{B\_P} + H_{B\_Q}$$

$$H_B = 773.64 \text{ kN}$$

obciążenie w poziomie posadowienia:

$$q_{pos} = \gamma_{pod} \cdot h_{pos}$$

$$G_f = h_f \cdot B \cdot L \cdot \gamma_{bet} + (h_{pos} - h_f) \cdot (B \cdot L \cdot \gamma_{pod})$$

$$G_f = 560.65 \text{ kN}$$

$$G_{f\gamma} = G_f \cdot \gamma_G$$

$$G_{f\gamma} = 756.88 \text{ kN}$$

$$V = V_P + V_Q + G_{f\gamma}$$

$$V = 11182.53 \text{ kN}$$

wartość sił poziomych sprowadzona do podstawy fundamentu wywoła momenty:

$$M_L = H_B \cdot h_f$$

$$M_L = 309.46 \text{ kN}\cdot\text{m}$$

wypadkowa sił poziomych:

$$H = \sqrt{0 + H_B^2}$$

$$H = 773.64 \text{ kN}$$

Mimośrodzy przyłożenia siły wypadkowej:

$$e_L = \frac{|M_B|}{V} \quad * \quad e_L = 0.00 \text{ cm} \quad e_B = \frac{|M_L|}{V} \quad e_B = 2.77 \text{ cm}$$

Sprawdzam położenie wypadkowej względem rdzenia podstawy:

$$\frac{6 \cdot e_B}{B} + \frac{6 \cdot e_L}{L} = 0.10 \quad \text{wartość mniejsza od 1.00 oznacza że wypadkowa jest w rdzeniu.}$$

Wymiary zredukowane podstawy fundamentu:

$$\begin{aligned} B' &= B - 2 \cdot e_B & L' &= L - 2 \cdot e_L \quad * & A' &= (L' - 2 \cdot e_L) \cdot (B' - 2 \cdot e_B) \\ B' &= 1.54 \text{ m} & L' &= 16.80 \text{ m} & A' &= 25.02 \text{ m}^2 \end{aligned}$$

Wartość współczynników związanych z nachyleniem podstawy fundamentu:

$$\alpha = 0 \text{ deg} \quad *$$

$$b_{\gamma\_EC7}(\phi_{\gamma}, \alpha) = 1.00 \quad b_{q\_EC7}(\phi_{\gamma}, \alpha) = 1.00 \quad b_{c\_EC7}(\phi_{\gamma}, \alpha) = 1.00$$

Współczynniki związane z nachyleniem wypadkowej:

$$\Theta = \arcsin\left(\frac{H_B}{H}\right) \quad \Theta = 90.00 \text{ deg} \quad m_L(B', L') = 1.08$$

$$m_{\Theta}(B', L', \Theta) = 1.92 \quad i_{q\_EC7}(\phi_{\gamma}, c_{\gamma}, H, V, B', L', \Theta) = 0.87$$

$$i_{\gamma\_EC7}(\phi_{\gamma}, c_{\gamma}, H, V, B', L', \Theta) = 0.77$$

$$i_{c\_EC7}(\phi_{\gamma}, c_{\gamma}, H, V, B', L', \Theta) = 0.86$$

**Współczynniki kształtu:**

$$s_{q\_EC7}(\phi_{\gamma}, B', L') = 1.04 \quad s_{\gamma\_EC7}(B', L') = 0.97 \quad s_{c\_EC7}(\phi_{\gamma}, B', L') = 1.04$$

**Teraz wyznaczam składniki nośności podłoża:**

$$SKL_C = c_\gamma \cdot N_{c\_EC7}(\phi_\gamma) \cdot b_{c\_EC7}(\phi_\gamma, \alpha) \cdot s_{c\_EC7}(\phi_\gamma, B', L') \cdot i_{c\_EC7}(\phi_\gamma, c_\gamma, H, V, B', L', \Theta)$$

$$SKL_q = q_{pos} \cdot \gamma_{Gf}^{-1} \cdot N_{q\_EC7}(\phi_\gamma) \cdot b_{q\_EC7}(\phi_\gamma, \alpha) \cdot s_{q\_EC7}(\phi_\gamma, B', L') \cdot i_{q\_EC7}(\phi_\gamma, c_\gamma, H, V, B', L', \Theta)$$

$$SKL_\gamma = 0.5 \cdot \gamma_{pod} \cdot \gamma_\gamma^{-1} \cdot B' \cdot N_{\gamma\_EC7}(\phi_\gamma) \cdot b_{\gamma\_EC7}(\phi_\gamma, \alpha) \cdot s_{\gamma\_EC7}(B', L') \cdot i_{\gamma\_EC7}(\phi_\gamma, c_\gamma, H, V, B', L', \Theta)$$

$$SKL_C = 93.57 \text{ kPa}$$

$$SKL_q = 164.03 \text{ kPa}$$

$$SKL_\gamma = 84.66 \text{ kPa}$$

$$R = A' \cdot (SKL_C + SKL_q + SKL_\gamma) \cdot \gamma_{Rv}^{-1} \quad R = 8563.53 \text{ kN} \quad V = 11182.53 \text{ kN}$$

$$\frac{V}{R} = 131\%$$

Warunek nośności nie jest spełniony.

**Wnioski**

Nośności podłoża pod fundamentem jest niewystarczająca .

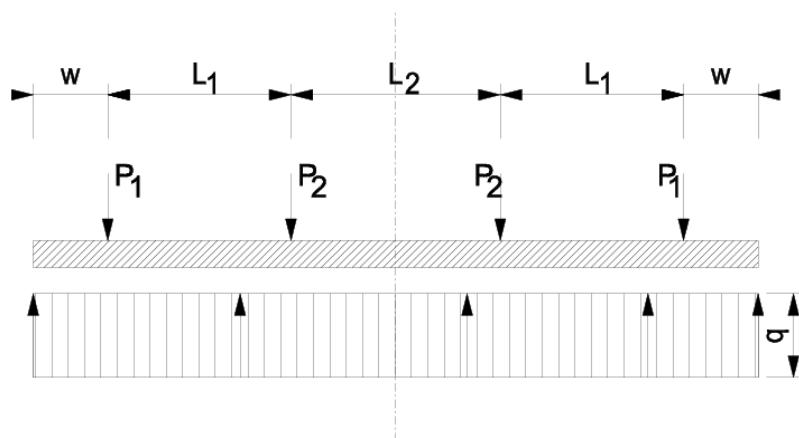
Rozdział 6

Przykład obliczeniowy 3

## Przykład 3

### Wyznaczanie długości wspornika

Dla schematu ławy szeregowej obciążonej siłami z słupów - jak na szkicu poniżej należy wyznaczyć siły przekrojowe dla podłoża Winklera. Miąższość warstwy poniżej ławy szeregowej wynosi 1.5m,  $E_0=45\text{MPa}$ , natomiast parametry wytrzymałościowe  $c=50\text{kPa}$   $\phi=10\text{deg}$ . Poniżej warstwy znajduje się skała nieodkształcalna.



Rys. Schemat wyznaczania optymalnej długości wspornika

Wprowadzenie podstawowych danych (odległości L, oraz sił P):

$$L1 = 6.7\text{m} \quad L2 = 7\text{m} \quad P1 = 1130\text{kN} \quad P2 = 1230\text{kN}$$

Odległości pomiędzy siłami skupionymi wynoszą:

$$L = \begin{pmatrix} 0\text{m} \\ L1 \\ L2 \\ L1 \end{pmatrix}$$

$$H = 1.5\text{m}$$

$$E = 45\text{MPa}$$

Siły skupione wynoszą:

$$Pr = \begin{pmatrix} P1 \\ P2 \\ P2 \\ P1 \end{pmatrix}$$

Zadanie polega na zoptymalizowaniu długości odsadzek, osiąga się to poprzez zminimalizowanie rozkładu momentów zginających względem osi obojętnej przekroju. Zgodnie z zaleceniami przyjęto jednak rozwiązanie dające większe rozciąganie części półki dolnej (w przypadku domniemanym kształtu teowego ławy).

$$\text{Reakcja podłoża: } Q = \sum_j Pr_j \quad Q = 4720 \text{ kN}$$

a teraz sprawdzamy jaka będzie hipotetyczna reakcja podłoża

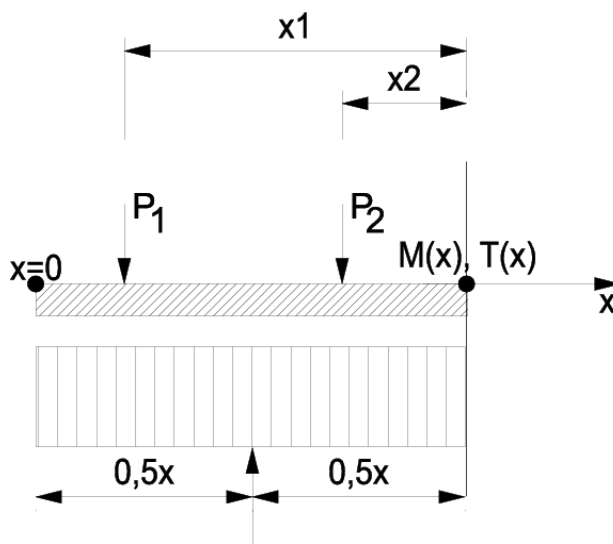
$$q(w) = \frac{Q}{2 \cdot w + \sum_{j=0}^{\text{rows}(L)-1} L_j}$$

Definiuję funkcję momentu jako rekurencyjną tzn potrzebuję do jej policzenia momentu węzłowego, siły podporowej i obciążenia równomiernie rozłożonego :) Zwracam uwagę, że siła skupiona P jest już sumą wszystkich przyłożonych wcześniej (od q i P)

$$Lp_j = \sum_{k=0}^j L_k$$

$$T(x, w) = -q(w) x + \left[ \sum_j \left[ (Lp_j + w \leq x) \cdot Pr_j \right] \right] \quad \begin{array}{l} \text{siła tnąca dla dowolnej} \\ \text{wartości x przy wsporniku w} \end{array}$$

$$M(x, w) = \sum_j \left[ (Lp_j + w < x) \cdot Pr_j \cdot (x - Lp_j - w) \right] - q(w) \cdot x \cdot \frac{x}{2}$$



Rys. Siły wewnętrzne w belce - zasada wyznaczania.

$$M_{\max}(w) = \begin{cases} M_{\max} \leftarrow 0 \\ \text{for } x \in 0, 0.01 \cdot m \dots (L_{p_{\text{rows}}(L_p)} - 1 + 2w) \\ M_{\max} \leftarrow M(x, w) \text{ if } M(x, w) > M_{\max} \\ M_{\max} \end{cases}$$

$$M_{\min}(w) = \begin{cases} M_{\min} \leftarrow 0 \\ \text{for } x \in 0, 0.01 \cdot m \dots (L_{p_{\text{rows}}(L_p)} - 1 + 2w) \\ M_{\min} \leftarrow M(x, w) \text{ if } M(x, w) < M_{\min} \\ M_{\min} \end{cases}$$

$$\text{WYNIK}_{i,0} = \frac{w_i}{m}$$

$$\text{WYNIK}_{i,1} = \frac{M_{\max}(w_i)}{\text{kN} \cdot \text{m}}$$

$$\text{WYNIK}_{i,2} = \frac{-M_{\min}(w_i)}{\text{kN} \cdot \text{m}}$$

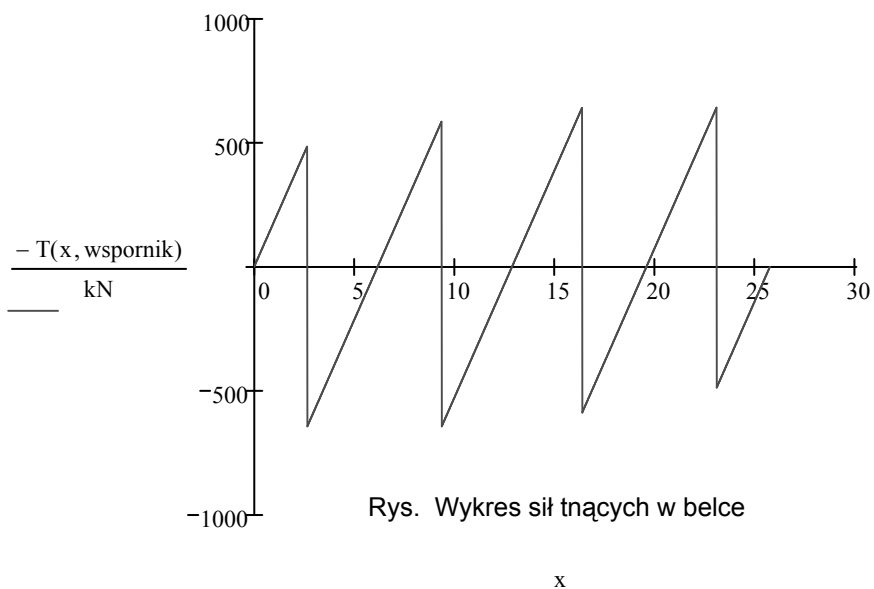
W poniższej tabeli zestawiono szereg wyników dla różnych długości wspornika, po analizie wybieramy optymalną długość:

WYNIK =

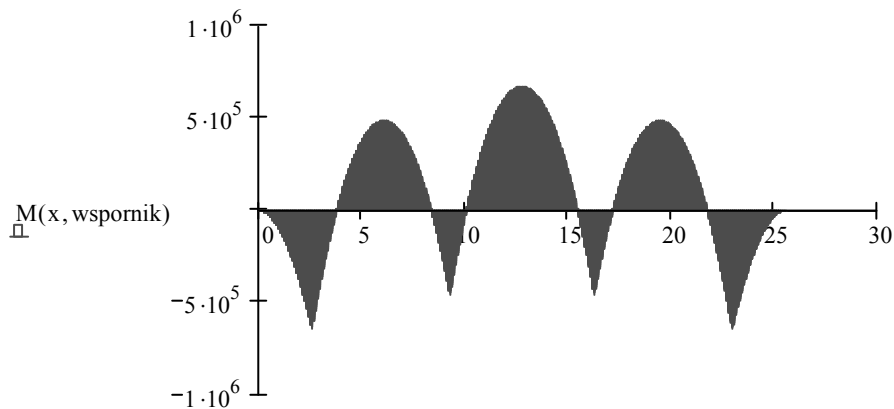
0.0	3795.0	0.0
0.1	3677.0	1.1
0.2	3559.0	4.5
0.3	3441.0	10.1
0.4	3323.0	17.8
0.5	3205.0	27.6
0.6	3087.0	39.3
0.7	2969.0	53.0
0.8	2851.0	68.7
0.9	2733.0	86.1
1.0	2615.0	105.4
1.1	2497.0	126.4
1.2	2379.0	149.1
1.3	2261.0	173.4

Przyjęto do dalszych obliczeń:

wspornik = 2.65·m







Rys. Wykres momentów w belce

Wartoci charakterystyczne momentów w belce:

Momenty dołem:

$$M(\text{wspornik}, \text{wspornik}) = -644.868 \text{ m kN}$$

$$M(\text{wspornik} + L1, \text{wspornik}) = -456.903 \text{ m kN}$$

Momenty przęsłowe (górá):

$$M\left(\text{wspornik} + \frac{L1}{2}, \text{wspornik}\right) = 479.663 \text{ m kN}$$

$$M\left(\text{wspornik} + L1 + \frac{L2}{2}, \text{wspornik}\right) = 668 \text{ m kN}$$

Długość belki i jej założona szerokość:  $L_b = 2 \cdot (\text{wspornik} + L1) + L2$

Średnie obciążenie podłoża:  $q(\text{wspornik}) = 183.658 \frac{\text{kN}}{\text{m}}$

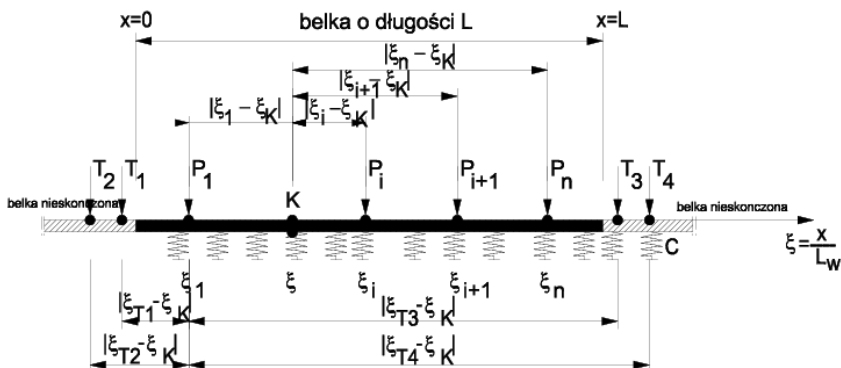
Jak w przykładzie 2, wyznaczono szerokość minimalną ławy:

$$B = 2.1 \text{ m}$$

$$E = 45 \cdot \text{MPa}$$

# Belka nieskończona, model Winklera

## Metoda Bleicha



Równanie momentów dla punktu  $x=0$  ( $n$  - ilość sił rzeczywistych):

$$\sum_{i=1}^n \left( \frac{P_i \cdot L_W}{4} \cdot \eta_1(\xi_{0,P_i}) \right) + \sum_{j=1}^4 \left( \frac{T_j \cdot L_W}{4} \cdot \eta_1(\xi_{0,T_j}) \right) = 0$$

Równanie sił tnących dla punktu  $x=0$  ( $n$  - ilość sił rzeczywistych):

$$\sum_{i=1}^n \left( \frac{-P_i}{2} \cdot \eta_2(\xi_{0,P_i}) \right) + \sum_{j=1}^4 \left( \frac{-T_j}{2} \cdot \eta_2(\xi_{0,T_j}) \right) = 0$$

Równanie momentów dla punktu  $x=L$  ( $n$  - ilość sił rzeczywistych):

$$\sum_{i=1}^n \left( \frac{P_i \cdot L_W}{4} \cdot \eta_1(\xi_{B_L,P_i}) \right) + \sum_{j=1}^4 \left( \frac{T_j \cdot L_W}{4} \cdot \eta_1(\xi_{B_L,T_j}) \right) = 0$$

Równanie sił tnących dla punktu  $x=L$  ( $n$  - ilość sił rzeczywistych):

$$\sum_{i=1}^n \left( \frac{-P_i}{2} \cdot \eta^2(\xi_{B_{L.P_i}}) \right) + \sum_{j=1}^4 \left( \frac{-T_j}{2} \cdot \eta^2(\xi_{B_{L.T_j}}) \right) = 0$$

Wykonano przykład obliczeniowy dla następujących danych:

$$C = 30 \frac{1}{m} \text{ MPa} \quad \text{współczynnik podłoża}$$

$$E_b = 30.5 \cdot 10^3 \text{ MPa} \quad \text{moduł sprężystości betonu}$$

$$h_f = \frac{\max(L)}{7} \quad h_f = 1 \text{ m} \quad \text{wysokość belki (powinna być równa 1/7 długości najdłuższego przęsła)}$$

$$I = B \cdot h_f^3 \cdot \frac{1}{12} \quad \text{moment bezwładności belki}$$

$$L_w = \sqrt[4]{\frac{4 \cdot E_b \cdot I}{B \cdot C}} \quad \text{cecha sztywności belki} \quad L_w = 4.291 \text{ m}$$

$$\xi_A = 0 \quad \text{początek belki w wsp. bezwymiarowych}$$

$$\text{wspornik} = 2.65 \text{ m} \quad \text{długość wspornika [m]}$$

Poniżej definiuję siły rzeczywiste na belce, oraz odpowiadające im wektor wsi bezwymiarowych.

$$P = \begin{pmatrix} P1 \\ P2 \\ P2 \\ P1 \\ 0 \cdot \text{kN} \\ 0 \cdot \text{kN} \end{pmatrix} \quad dl = \begin{pmatrix} \text{wspornik} \\ L1 \\ L2 \\ L1 \\ \text{wspornik} \\ 0 \end{pmatrix}$$

$$x_{p_i} = \sum_{j=0}^i dl_j$$

$$x_p =$$

	0
0	2.65
1	9.35
2	16.35
3	23.05
4	25.7
5	25.7

m

$$\xi_{p_i} = \frac{x_{p_i}}{L_w}$$

$$\xi_p =$$

	0
0	0.618
1	2.179
2	3.811
3	5.372
4	5.99
5	5.99

$$L = x_{p_{\text{rows}(P)-1}}$$

długość belki (odległość pomiędzy punktami AB)

$$L = 25.7 \text{ m}$$

$$\xi_B = \frac{L}{L_w}$$

koniec belki w wsp. bezwymiarowych

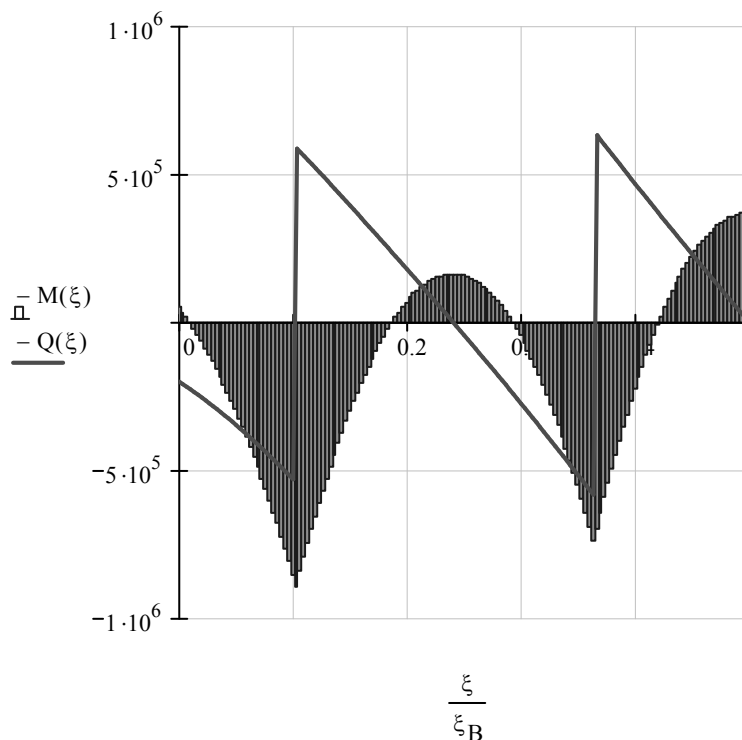
$$\xi_B = 5.99$$

Wprowadzam formuły wyznaczające z rozwiązania dla belki o nieskończonej długości za pomocą superpozycji wartość sił wewnętrznych w dowolnym przekroju, od wszystkich sił rzeczywistych.

$$M(\xi) = \sum_{i=0}^{\text{rows}(P)-1} \left[ \frac{P_i \cdot L_w}{-4} e^{-|\xi - \xi_{p_i}|} \cdot \left( -\cos(|\xi - \xi_{p_i}|) + \sin(|\xi - \xi_{p_i}|) \right) \right]$$

$$Q(\xi) = \sum_{i=0}^{\text{rows}(P)-1} \left[ \begin{array}{l} e^{\xi - \xi_{p_i}} \cdot \cos[-(\xi - \xi_{p_i})] \cdot (-1) \text{ if } (\xi - \xi_{p_i}) < 0 \\ e^{-(\xi - \xi_{p_i})} \cdot \cos(\xi - \xi_{p_i}) \text{ otherwise} \end{array} \right] \cdot \frac{P_i}{-2}$$

Jak widać na rysunku, wartości sił i momentów w przekroju skrajnym A=0, B=1 znacznie różnią się od spodziewanych z warunków brzegowych dla belki jak w schemacie zadania.



Rys. Wykres sił tnących i momentów w belce nieskończonej.

$$M(\xi_A) = -50.346 \text{ kN}\cdot\text{m}$$

$$M(\xi_B) = -50.346 \text{ kN}\cdot\text{m}$$

$$Q(\xi_A) = 199.538 \text{ kN}$$

$$Q(\xi_B) = -199.538 \text{ kN}$$

Zakładam rozmieszczenie sił wirtualnych T, wyznaczenie ich pozwoli myślowo ograniczyć belkę do zakresu A-B poprzez spełnienie przyjętych warunków brzegowych. Oczywiście na tym etapie wartości sił T, nie są jeszcze znane. Proszę pamiętać o rozmieszczeniu sił T poza obszarem belki (AB) oraz w miarę blisko niej. Wektor (14) pokazuje miejsca przyłożenia sił T.

$$\xi_t = \begin{pmatrix} \frac{L}{L_w} \cdot 1.05 \\ \frac{L}{L_w} \cdot 1.1 \\ -\frac{L}{L_w} \cdot 0.05 \\ -\frac{L}{L_w} \cdot 0.1 \end{pmatrix}$$

$$\xi_t = \begin{array}{|c|c|} \hline & 0 \\ \hline 0 & 6.289 \\ \hline 1 & 6.589 \\ \hline 2 & -0.299 \\ \hline 3 & -0.599 \\ \hline \end{array}$$

Poniżej wprowadzam funkcję, do wyznaczenia wartości  $M_p$ ,  $Q_p$  od sił fikcyjnych w dowolnym przekroju.

$$M_p(\xi_p, \xi) = \left[ \frac{L_w}{-4} e^{-|\xi - \xi_p|} \cdot (-\cos(|\xi - \xi_p|) + \sin(|\xi - \xi_p|)) \right]$$

$$Q_p(\xi_p, \xi) = \left[ \begin{array}{l} e^{\xi - \xi_p} \cdot \cos[-(\xi - \xi_p)] \cdot (-1) \text{ if } (\xi - \xi_p) < 0 \\ e^{-(\xi - \xi_p)} \cdot \cos(\xi - \xi_p) \text{ otherwise} \end{array} \right] \cdot \frac{1}{-2}$$

Macierz współczynników  $G$  definiuję w (17):

$$G_{0,i} = M_p(\xi_{t_i}, \xi_A) \cdot \frac{1}{m} \quad G_{2,i} = M_p(\xi_{t_i}, \xi_B) \cdot \frac{1}{m}$$

$$G_{1,i} = Q_p(\xi_{t_i}, \xi_A) \quad G_{3,i} = Q_p(\xi_{t_i}, \xi_B)$$

Po podstawieniu przyjmuje ona postać:

$$G = \begin{pmatrix} 0.0020 & 0.0010 & 0.5251 & 0.1544 \\ 0.0009 & 0.0007 & -0.3541 & -0.2269 \\ 0.5251 & 0.1544 & 0.0020 & 0.0010 \\ 0.3541 & 0.2269 & -0.0009 & -0.0007 \end{pmatrix}$$

Warunki brzegowe znamy, momenty i siły tnące na krawędziach belki o schemacie jak w rozważanym zadaniu powinny być zerowe:

$$r = \begin{pmatrix} 0 \\ 0 \\ 0 \\ 0 \end{pmatrix}$$

Wpływ sił rzeczywistych ma postać wektora (20) są to wyrazy wolne.

$$w = \begin{pmatrix} M(\xi_A) \cdot \frac{1}{m} \\ Q(\xi_A) \\ M(\xi_B) \cdot \frac{1}{m} \\ Q(\xi_B) \end{pmatrix}$$

Układ równań ma postać (21):

$$G \cdot t + w = r$$

a jego rozwiązaniem jest wektor wartości sił fikcyjnych T (22).

	0
0	-304.982
1	1358.265
2	-304.982
3	1358.265

t =

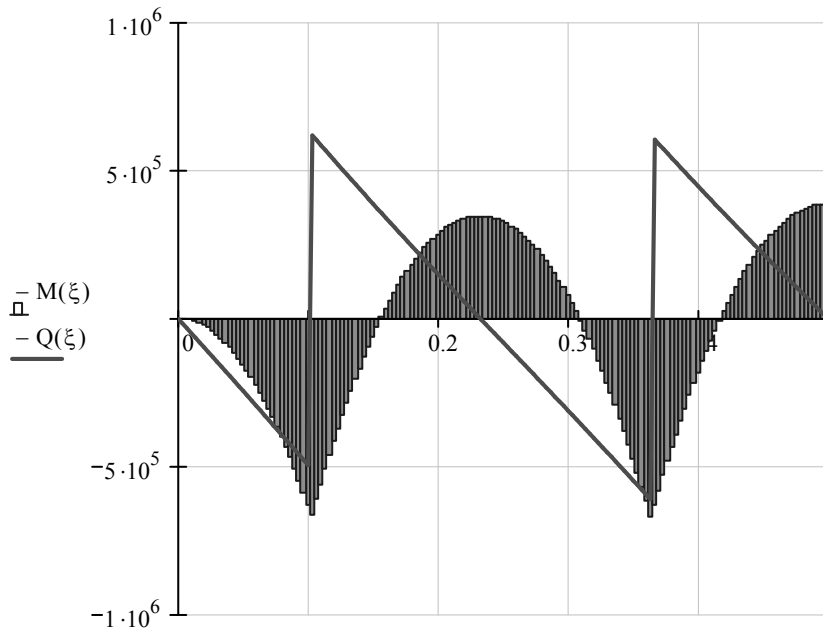
kN

- w wyrazy wolne (wpływ sił rzeczywistych)
- r wektor opisujący warunki brzegowe
- G macierz współczynników
- t wektor poszukiwanych sił fikcyjnych

Za pomocą znanych już formuł wyznaczam od wszystkich sił wartości M i Q od wszystkich wpływów, również od sił T.

Jako sprawdzenie posłużę się wartościami na końcach belki (AB).

Jak widać warunki brzegowe są już spełnione. Trudne zadanie mamy za sobą.



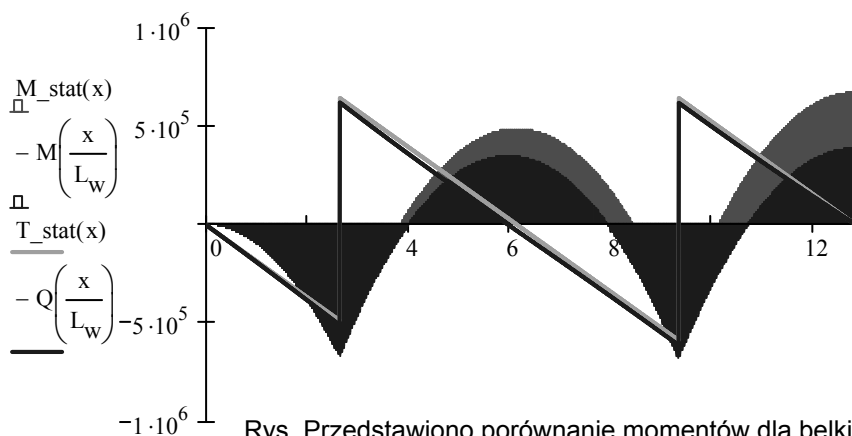
Rys. Wykres momentów i sił tnących dla belki o skończonej długości (połowa rozwiązania).

$$M(\xi_A) = 0 \text{ kN}\cdot\text{m}$$

$$M(\xi_B) = 0 \text{ kN}\cdot\text{m}$$

$$Q(\xi_A) = 0 \text{ kN}$$

$$Q(\xi_B) = 0 \text{ kN}$$



Rys. Przedstawiono porównanie momentów dla belki o nieskończonej sztywności i na podłożu Winklera



# Spis rysunków

2.1	Głębokość posadowienia z uwzględnieniem przemarzania lub warstwy izolacji poziomej. . . . .	7
2.2	Wybrane zagadnienia projektowe: a) wpływ klimatu na wrażliwe grunty w podłożu (namakanie, przemarzanie, wysuszenie) b) bliskie sąsiedztwo budynków c) zmienność podłoża oraz głębokość strefy aktywnej biologicznie, d) możliwe roboty instalacyjne oraz wpływ fundamentu na globalną stateczność. . . . .	7
2.3	Głębokości przemarzania $H_z$ na terenie RP za [1] . . . . .	8
2.4	Możliwe według EC7 rodzaje stanu granicznego. Opis w tekście. . . . .	9
2.5	Fundament płytki w podłożu jednorodnym, opis w tekście. . . . .	11
2.6	Fundament bezpośredni, nomogram z wartościami $N_c, N_q, N_\gamma$ bezwymiarowych współczynników nośności. . . . .	12
2.7	Siły przyłożone do fundamentu. Z lewej siła pozioma zdefiniowana jest za pomocą składowych równoległych do boków fundamentu, z prawej za pomocą wypadkowej i kąta $\Theta$ . . . . .	14
2.8	Współczynniki $m_B, m_L$ w funkcji proporcji $\frac{B'}{L'}$ . . . . .	15
2.9	Zwierciadło wody gruntowej znajduje się a) powyżej spodu fundamentu, b) nie głębiej niż $B$ poniżej spodu fundamentu. . . . .	18
2.10	Płaszczyzna CM, A) koło graniczne dla mniejszych B) koło graniczne dla większych naprężeń średnich w warstwie. Opis w tekście. . . . .	19
2.11	Podłoże uwarstwione, słabsza warstwa występuje głęboko. . . . .	20
2.12	Podłoże uwarstwione, słabsza warstwa występuje płytko. . . . .	20
2.13	Tabela wartości współczynnika nośności $N_m$ dla podłoża uwarstwionego. . . . .	22
2.14	Powierzchnia efektywna: a) $e_L = 0, e_B > 0$ , b) $e_B = 0, e_L > 0$ . . . . .	27
2.15	Fundament o podstawie nachylonej. . . . .	28
2.16	Fundament o podstawie nachylonej, wartość współczynnika $b_c$ . . . . .	28
2.17	Fundament o podstawie nachylonej, wartość współczynnika $b_\gamma$ . . . . .	29
2.18	Mechanizm zniszczenia dla fundamentu głębokiego. . . . .	30

3.1	Schemat obciążenia ławy słupami. . . . .	34
3.2	Przekrój przez ławę wraz z warstwami podłoża typu A. . . . .	34
3.3	Przekrój przez ławę wraz z warstwami podłoża typu B. . . . .	35
3.4	Schemat symetrycznego obciążenia ławy siłami. . . . .	36
3.5	Wyznaczanie wartości sił wewnętrznych w ławie. . . . .	36
3.6	Wykres momentów dla wspornika o optymalnej długości. . . . .	37
3.7	Wykres sił tnących dla wspornika o optymalnej długości. . . . .	37
3.8	Wykres momentów dla wspornika o zbyt małej długości. . . . .	38
3.9	Wykres momentów dla wspornika o zbyt dużej długości. . . . .	38
3.10	Nomogram do wyznaczania wartości $\omega_{sr}$ . . . . .	40
3.11	Schemat współpracy podłoża z fundamentem w modelu Winklera. . . . .	40
3.12	Ugięcia w belce nieskończonej od siły skupionej. . . . .	42
3.13	Momenty w belce nieskończonej od siły skupionej. . . . .	42
3.14	Siły tnące w belce nieskończonej od siły skupionej. . . . .	43
3.15	Zasada superpozycji wpływów w belce nieskończonej dla sił tnących. . . . .	43
3.16	Oznaczenia w trakcie sumowania wpływu od sił. . . . .	44
3.17	Zasada superpozycji wpływów w belce nieskończonej dla momentów. . . . .	45
3.18	Warunki brzegowe i siły fikcyjne T. . . . .	46
3.19	Oznaczenie odległości od sił fikcyjnych. . . . .	47
3.20	Niespełnienie warunków brzegowych na końcach belki. . . . .	49
3.21	Sumaryczny wpływ sił rzeczywistych i fikcyjnych. . . . .	49
3.22	Porównanie rozwiązań dla belki o nieskończonej sztywności (wymiarowanie wstępne) i dla modelu Winkler'a podłoża oraz belki o skończonej sztywności. . . . .	50
3.23	Procedura iteracyjnej zamiany podpór sprężystych na siły skupione przedstawiona jest na wykresie odporów podłoża. . . . .	51
3.24	Wykres momentów zginających w belce podczas omawianej procedury iteracyjnej. . . . .	51
3.25	Wykres ugięć osi belki podczas omawianej procedury iteracyjnej. . . . .	52
3.26	Wykres zmian krzywizny osi belki podczas omawianej procedury iteracyjnej. . . . .	52
3.27	Wykres zmian krzywizny belki dla podłoża idealnie sprężystego. . . . .	53
3.28	Wykres momentów wewnętrznych belki dla podłoża idealnie sprężystego. . . . .	54
3.29	Tabela zawiera wartości funkcji $Q'(\xi, \beta)$ , $M'(\xi, \beta)$ oraz $r'(\xi, \beta)$ gdzie odpowiednio $\beta = \frac{B}{2L_{GP}}$ oraz $\xi = x/L_{GP}$ . . . . .	55
3.30	Tabela zawiera wartości funkcji $Q'(\xi, \beta)$ , $M'(\xi, \beta)$ oraz $r'(\xi, \beta)$ gdzie odpowiednio $\beta = \frac{B}{2L_{GP}}$ oraz $\xi = x/L_{GP}$ . . . . .	56
3.31	Tabela zawiera wartości funkcji $Q'(\xi, \beta)$ , $M'(\xi, \beta)$ oraz $r'(\xi, \beta)$ gdzie odpowiednio $\beta = \frac{B}{2L_{GP}}$ oraz $\xi = x/L_{GP}$ . . . . .	57

3.32	Wykres bazowych funkcji do wyznaczania sił wewnętrznych wykonany na podstawie rezultatów MES. Na osi pionowej zaznaczono wykresy: $TABELA^{<1>} \sim Q'$ , $TABELA^{<2>} \sim M'$ oraz $TABELA^{<3>} \sim r'$ na osi poziomej mamy bezwymiarową współrzędną $\xi$ . . . . .	58
3.33	Definicja zadania w programie SOLDIS. . . . .	60
3.34	Okno definicji podpór. . . . .	60
3.35	Szeroka gama materiałów i profili. . . . .	61
3.36	Wyniki prezentowane są w sposób czytelny. . . . .	61
3.37	Program umożliwia optymalizację konstrukcji względem wybranych elementów. . . . .	62
3.38	Nomogram wartości sztywności podpór sprężystych w programie SOLDIS. . . . .	63
3.39	Ekran główny programu, początek definicji zadania. . . . .	64
3.40	Definicja pierwszego elementu - podłoże. . . . .	64
3.41	Przekrój przez warstwę gruntu, zaraz go rozciągniemy. . . . .	65
3.42	Rozciąganie przekroju - w kierunku trzeciej osi. . . . .	65
3.43	Wynikiem powyższych czynności jest pierwsza bryła - podłoże. . . . .	66
3.44	Okno definicji cech sprężystych materiału podłoża. . . . .	67
3.45	Okno definicji cech sprężystych materiału fundamentu. . . . .	67
3.46	Okno definicji geometrii fundamentu. . . . .	68
3.47	Umieszczamy belkę i podłoże w modelu, ustalając ich wzajemne relacje w przestrzeni. . . . .	68
3.48	Definiujemy kontakt pomiędzy fundamentem a gruntem. . . . .	69
3.49	Obciążamy w punkcie symetrii belkę siłą pionową. . . . .	69
3.50	Wprowadzamy warunki brzegowe na przemieszczeniach i obrotach (dno). . . . .	70
3.51	Wprowadzamy warunki brzegowe na przemieszczeniach i obrotach (boki). . . . .	71
3.52	Wprowadzamy warunki brzegowe na przemieszczeniach i obrotach (symetria). . . . .	72
3.53	Dzielimy zarówno podłoże jak i belkę na elementy skończone. . . . .	72
3.54	Rezultaty - przemieszczenia fundamentu. . . . .	73

# Bibliografia

- [1] PN-81/B-03020. *Grunty budowlane. Posadowienie bezpośrednie budowli. Obliczenia statyczne i projektowanie.*
- [2] PN-EN 1997-1 Eurokod 7. *Projektowanie geotechniczne. Część 1. Zasady ogólne.*
- [3] PN-EN 1997-1 Eurokod 7. *Projektowanie geotechniczne. Część 2. Rozpoznanie i badania podłoża gruntowego.*
- [4] PN-EN ISO 13370:2001.
- [5] Soldis PROJEKTANT v.5.0.
- [6] *FlexPDE 6 User Manual*, 2010. Version 6.13.
- [7] Andrew Harris Andrew Bond. *Decoding Eurocode 7*. Taylor Francis, 2008.
- [8] Frank R. Bauduin C.Kavvas M. Krebs N. Orr T. Schuppener B. *Designers' guide to Eurocode 7: Geotechnical Design*. Thomas Telford, 2006.
- [9] Muni Budhu. *Foundations and earth retaining structures*. John Wiley and sons, 2007.
- [10] Braja M. Das. *Theoretical Foundation Engineering*. Elsevier Science, 1987.
- [11] Braja M. Das. *Shallow foundations: bearing capacity and settlement*. CRC PRESS, 1999.
- [12] A. Der Kiureghian D.P. Zekkos, J.D. Bray. Reliability of shallow foundation design using the standard penetration test. In *Proceedings ISC-2 on Geotechnical and Geophysical Site Characterization*.
- [13] Paweł Galas. Analiza nośności podłoża z gruntów spoistych obciążonego mimosrodowo fundamentem bezpośrednim według eurokodu 7 – rozwiązanie przykładu 2.1 etc 10. Technical report, Katedra Geoinżynierii SGGW w Warszawie, 2009.
- [14] Agnieszka Gontaszewska. *Własności termofizyczne gruntów w aspekcie przemiarzenia*. Uniwersytet Zielonogórski, 2010.

- 
- [15] Mitsu Okamura Jiro Takemura Tsutomu Kimura. Bearing capacity predictions of sand overlying clay from limit equilibrium methods. *Soils and Foundations*, 1998.
- [16] Dariusz Kiziewicz. Analiza nośności podłoża z gruntów spoistych obciążonego mimośrodowo fundamentem bezpośrednim według eurokodu 7 – rozwiązanie przykładu 2.2 etc 10. Technical report, Katedra Geoinżynierii SGGW w Warszawie, 2009.
- [17] Paweł Galas Dariusz Kiziewicz. Analiza nośności podłoża wybranych stóp fundamentowych centrum wody. *Architectura*, 7(2):23–38, 2008.
- [18] C.M. Martin. Exac bearing capacity calculations using the method of characteristics. In *Proc. 11th Int. Conf. IACMAG, Turin*, volume 4, pages 441–450, 2005.
- [19] B. Pinçon. Wprowadzenie do Scilaba.
- [20] Jerzy A. Pogorzelski. *Podręcznik fizyki budowli*. Materiały Budowlane, 2004.
- [21] Janusz Pędziwiatr. *Wstęp do projektowania konstrukcji żelbetowych*. Dolnośląskie Wydawnictwo Edukacyjne, 2010.
- [22] Rodrigo Salgado. *The engineering of foundations*. Mc Graw-Hill International Edition, 2008.
- [23] Włodzimierz Starosolski. *Konstrukcje żelbetowe*. Wydawnictwo Naukowe PWN, 1998.
- [24] Elżbieta Stilger-Szydło. *Posadowienie budowli infrastruktury transportu lądowego*. DWE, 2005.
- [25] Katarzyna Dołżyk Zenon Szczypcio. The bearing capacity of layered subsoil. *Studia Geotechnica et Mechanica*, XXVIII(1), 2006.
- [26] Ming Zhu. Bearing capacity of strip footings on two-layer clay soil by finite element method. In *2004 ABAQUS Users Conference*.
- [27] Ming Zhu. Bearing capacity of strip footings on two layer clay soil by finite element method. In *ABAQUS Users' Conference*.